

UNIVERSITE des SCIENCES et de la TECHNOLOGIE d'ALGER

lex

ECOLE NATIONALE POLYTECHNIQUE

DEPARTEMENT ELECTRICITE

جامعة العلوم والتكنولوجيا

PROJET de FIN d' ETUDES

ECOLE NATIONALE POLYTECHNIQUE

BIBLIOTHEQUE

METHODE de CALCUL d'une LIGNE AERIENNE

TRES HAUTE TENSION de TRANSPORT de l'ELECTRICITE

APPLICATION a l'ETUDE de la LIGNE 220 KV

M'SILA - BOUIRA

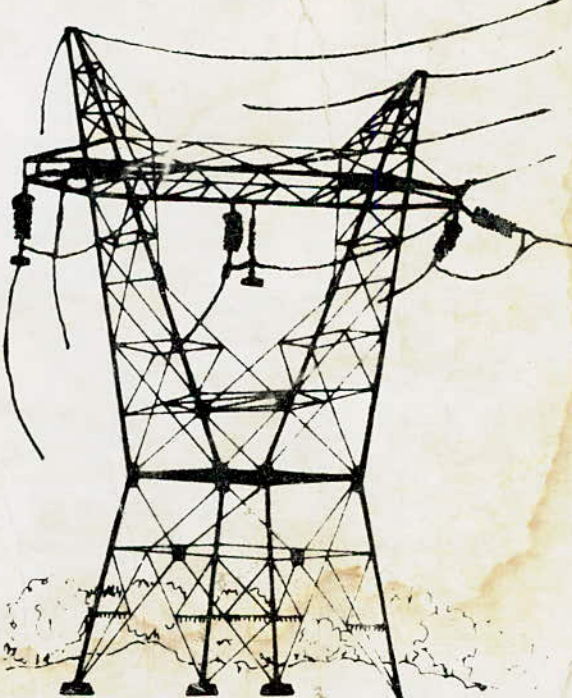
Proposé par :

SONEGАЗ Direction de l'Ingineering
Service "Reseau Haute Tension"

Etudié par :

A. BOUAFIR

M.C. BOUMGHAR



A la mémoire de ma mère,
A mon père, mes frères et soeurs.
A mes amis (es).

A. BOUAFIR.

A mes parents,
A mes frères,
A mes amis (es)

H.C. BOUMGHAR

Nous tenons à remercier notre promoteur M^{me} Derraz
qui, par ses conseils, nous a permis de mener à
bien cet ouvrage, ainsi que tout le personnel du service
"Lignes" de la SONELGAZ.

De même nous n'oublions pas tous les enseignants qui
ont contribué à notre formation.

الجامعة المغربية
المكتبة
ECOLE NATIONALE POLYTECHNIQUE

JAN 80

Sommaire.

1^{re} Partie : Introduction.

2^{me} Partie : Aspects électriques d'une ligne aérienne HT.

Chapitre 1 : Fondements théoriques du calcul électrique.

1. Mise en équation d'une ligne à constantes réparties:	3
2. Schéma équivalents:	6
3. Grandeur caractéristiques de la ligne:	8

Chapitre 2 : Problèmes relatifs aux lignes aériennes.

1. Effet corona et ses perturbations:	13
2. Dispositions relatives des conducteurs entre eux et par rapport aux supports:	15
3. Symétrie électrique de la ligne:	18
4. Influence du parallélisme entre deux lignes:	19
5. Pollution:	19

Chapitre 3 : Isolateurs.

1. Différents types d'isolateurs utilisés:	21
2. Caractéristiques des isolateurs utilisés:	22
3. Choix du type et du nombre d'isolateurs:	24
4. Distribution du potentiel le long d'une chaîne d'isolateurs:	24

Chapitre 4 : Choix du conducteur.

1. Caractéristiques des câble à étudier:	28
2. Calcul des grandeurs caractéristiques de la ligne:	29
3. Méthode de calcul:	33

3^e Partie: Aspects mécaniques d'une ligne aérienne HT.

Chapitre 5: Fondements théoriques du calcul mécanique.

1. Équation d'équilibre de la chaînette:	38
2. Établissement des formules fondamentales:	40
3. Équation de changement d'état d'un conducteur:	44
4. Généralisation de l'équation de changement d'état:	46

Chapitre 6: Répartition.

1. Répartition et ses problèmes:	48
2. Choix du paramètre de répartition:	49
3. Types de pylônes utilisés:	53
4. Conclusion:	56

Chapitre 7: Détermination des tensions aux différentes hypothèses.

1. Portées mécaniques:	57
2. Tensions unitaires dans les conducteurs:	58
3. Tensions de pose:	60
4. Tensions unitaires dans les conducteurs aux points d'appui:	60

Chapitre 8: Vérifications de la tenue des pylônes.

1. Définitions:	62
2. Principe de la vérification:	63
3. Calcul des contre-poids éventuels:	65
4. Vérifications de la tenue mécanique des chaînes d'isolateurs:	67

Chapitre 9: Calcul des traversées.

1. Généralités:	69
2. Méthode de calcul:	69

Chapitre 10: Câble de garde

- .1. Utilité et emplacement du câble de garde 74
- .2. Choix du paramètre de répartition du câble de garde 74
- .3. Caractéristiques du câble de garde utilisé 75
- .4. Vérifications des tensions dans le câble de garde 75

4^e. Partie: Réflexions sur les lignes aériennes HT

Annexes

Bibliographie

1^{ere} PARTIE: Introduction

Introduction

Cette étude, proposée par le service "Réseau Haute Tension" de la SONELGAZ, a pour objet :

Méthode de calcul d'une ligne aérienne très haute tension de transport de l'électricité.

Application à l'étude de la ligne 220 KV M'dia-Bouira.

Une ligne aérienne très haute tension de transport de l'électricité est un élément important du réseau de transport de l'électricité d'un pays.

Elle a pour durée de vie administrative d'une quarantaine d'années et fonctionne souvent jusqu'à sa mort technique.

Ces considérations amènent les techniciens à s'entourer du maximum de précautions dans la limite de l'optimum économique de façon à ce que la ligne rende le service attendu dans les meilleures conditions.

Nous nous proposons tout au long de cette étude de poser en revue :

- Dans une première partie les fondements théoriques qui sont à la base de toute étude de calcul de ligne.

- Il s'agira des aspects touchant le fonctionnement électrique de la ligne.

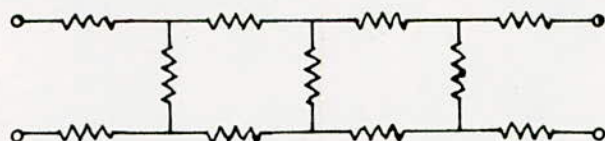
- Dans une deuxième partie, les aspects mécaniques qui déterminent les critères nécessaires à la réalisation d'une ligne fiable et sûre.

Fondements théoriques du calcul électrique

1. Mise en équations d'une ligne à constantes réparties

a) Définition :

Une ligne à constantes réparties (ou paramètres distribués) est un circuit électrique de longueur finie dont tout élément, si petit soit-il, donne lieu à la fois à une variation de la tension dans le sens longitudinal et à une déviation du courant dans le sens transversal (courant de fuite). Une représentation schématique d'un tel circuit serait :



On remarque immédiatement que c'est un quadripôle. Dans le cas réel, tout circuit a des constantes réparties, mais il arrive que l'on soit amené à négliger soit la déviation des courants transversaux par rapport au courant total traversant les éléments longitudinaux, soit les variations de tension longitudinale vis-à-vis de la différence de potentiel entre les conducteurs du circuit. Nous obtenons dans les deux cas des circuits à constantes localisées.

En ce qui concerne une ligne aérienne, de telles approximations ne sont plus justifiées. En effet, la longueur des conducteurs est telle que leurs impédances causent des variations de tensions longitudinales non négligeables (chute de tension). D'autre part, la hauteur des conducteurs par rapport au sol, nous contraint à tenir compte des courants de fuite, vu que l'air constitue un diélectrique.

Nous sommes donc tenus à considérer comme non négligeable la répartition des constantes le long de la ligne. Cependant nous ferons deux approximations :

- Nous considérons que tous les éléments de la ligne ont, par unité de longueur, les mêmes constantes électriques désignées sous le nom de constantes linéaires.

- Pour pouvoir définir une inductance et une capacité linéaire il est nécessaire de considérer que la longueur des conducteurs est très grande vis-à-vis de la dimension de ceux-ci et des distances qui les séparent.

b) Mise en équations et résolution :

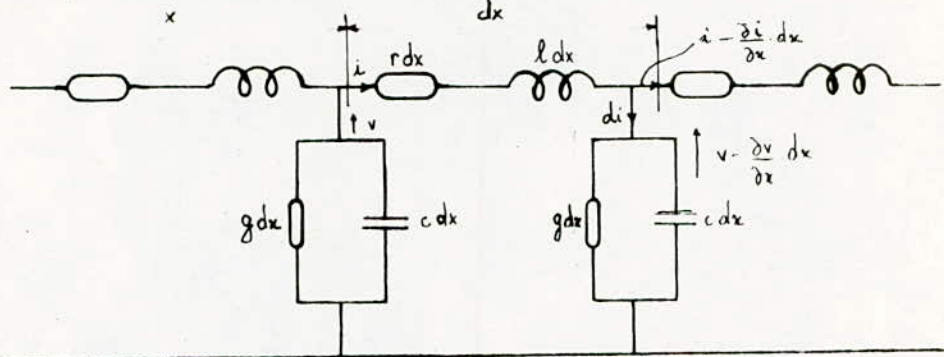
Nous raisonnons toujours sur une seule phase (il sera de même pour les autres).

La ligne étant considérée homogène, on peut la caractériser donc par ces grandeurs linéaires :

2^{eme} PARTIE
Aspects Electriques D'une
Ligne Aerienne HT

r , g , l , c qui sont bien définies. Prendre l et c constantes est justifiable puisque la ligne est assez longue pour pouvoir négliger les effets d'extrémités. Par contre, considérer r et g constantes serait plutôt injustifiable vu que ces paramètres dépendent essentiellement des conditions atmosphériques. Cependant l'erreur commise et négligeable compte tenu du fait que les grandeurs essentielles dépendent de tout r et c .

Isolons une portion de la ligne totale et proposons-nous de l'étudier.



Si nous considérons la maille de longueur dx , d'après la deuxième loi de Kirchhoff on peut écrire :

$$v + r dx i + l \frac{di}{dt} dx - v + \frac{\partial v}{\partial x} dx = 0$$

En simplifiant et après la division par dx on obtient : $-\frac{\partial v}{\partial x} = ri + l \frac{di}{dt}$ (1)

La première loi de Kirchhoff nous permet d'écrire :

$$i = di + i - \frac{di}{dx} dx \quad (2)$$

Le courant di et la somme des courants circulent dans la conductance $g dx$ et la capacité $c dx$.

$$\text{d'où : } -di = \left(v - \frac{\partial v}{\partial x} dx\right) g dx + \frac{\partial}{\partial t} \left(v - \frac{\partial v}{\partial x}\right) c dx$$

En négligeant les termes petits du second ordre il vient que :

$$-di = gv dx + c dx \frac{\partial v}{\partial t} \quad (3)$$

En portant le valeur (3) dans l'expression (2) on obtient : $-\frac{di}{dx} = gv + c \frac{\partial v}{\partial t}$ (4)

Les équations (1) et (4) constituent les équations différentielles fondamentales d'une ligne à constantes réparties. C'est le système d'équations des télégraphistes.

Résolution du système d'équations suivant :

$$-\frac{\partial v}{\partial x} = ri + l \frac{di}{dt} \quad (1)$$

$$-\frac{di}{dx} = gv + c \frac{\partial v}{\partial t} \quad (4)$$

Pour résoudre ce système d'équation nous nous placons dans le cas où le courant et la tension sont des fonctions périodiques du temps. Posons pour cela : $v = V_m \sin(\omega t + \phi_v) = \bar{V} e^{j\omega t}$ avec $\bar{V} = \frac{V_m}{\sqrt{2}} e^{j\phi_v}$.

de la même façon $i = I_m \sin(\omega t + \phi_i) = \bar{I} e^{j\omega t}$ avec $\bar{I} = \frac{I_m}{\sqrt{2}} e^{j\phi_i}$.

Les grandeurs complexes \bar{V} et \bar{I} sont des fonctions de la distance x mais pas du temps et le facteur $e^{j\omega t}$ dépend du temps mais ne dépend pas de x . Cela nous permettra d'écrire :

$$(1) \quad -\frac{\partial V}{\partial x} = r_i + j\frac{\partial I}{\partial t} \quad \text{donc:} \quad -\frac{\partial \bar{V} e^{j\omega t}}{\partial x} = r \bar{I} e^{j\omega t} + j \frac{\partial \bar{I} e^{j\omega t}}{\partial t}$$

$$-e^{j\omega t} \frac{\partial \bar{V}}{\partial x} = r \bar{I} e^{j\omega t} + j \omega e^{j\omega t} \bar{I}$$

$$\text{d'où} \quad -\frac{\partial \bar{V}}{\partial x} = (r + j\omega) \bar{I} = \bar{z} \bar{I}$$

$$\text{De la même façon: (2)} \quad -\frac{\partial I}{\partial x} = g_V + c \frac{\partial V}{\partial t} \quad \text{devient:} \quad -\frac{\partial \bar{I} e^{j\omega t}}{\partial x} = g \bar{V} e^{j\omega t} + c \frac{\partial \bar{V} e^{j\omega t}}{\partial t}$$

$$-e^{j\omega t} \frac{\partial \bar{I}}{\partial x} = g \bar{V} e^{j\omega t} + j \omega V e^{j\omega t}$$

$$\text{d'où} \quad -\frac{\partial \bar{I}}{\partial x} = (g + j\omega) \bar{V} = \bar{y} \bar{V}$$

avec $\bar{z} = r + j\omega$ l'impédance linéaire.

$\bar{y} = g + j\omega$ l'admittance linéaire.

$$\text{Nous obtenons donc le nouveau système:} \quad -\frac{\partial \bar{V}}{\partial x} = (r + j\omega) \bar{I} = \bar{z} \bar{I} \quad (1')$$

$$-\frac{\partial \bar{I}}{\partial x} = (g + j\omega) \bar{V} = \bar{y} \bar{V} \quad (2')$$

$$\text{En dérivant (1') par rapport à } x \text{ il vient:} \quad -\frac{\partial^2 \bar{V}}{\partial x^2} = \bar{z} \frac{\partial \bar{I}}{\partial x}$$

$$\text{or} \quad \frac{\partial \bar{I}}{\partial x} = -\bar{y} \bar{V} \quad \text{d'où} \quad -\frac{\partial^2 \bar{V}}{\partial x^2} = -\bar{z} \bar{y} \bar{V} \quad \text{donc} \quad \frac{\partial^2 \bar{V}}{\partial x^2} = \bar{z} \bar{y} \bar{V} \quad (3)$$

On reconnaît une équation différentielle linéaire du second ordre dont la solution est de la forme:

$$\bar{V} = \bar{A}_1 e^{\bar{z}x} + \bar{A}_2 e^{-\bar{z}x} \quad (4)' \quad \text{avec} \quad \bar{z} = \sqrt{\bar{z} \bar{y}}$$

$$\bar{z} = \alpha + j\beta$$

où α : coefficient d'affaiblissement de l'onde incidente par unité de longueur de la ligne.

β : coefficient de phase; il caractérise la variation de la phase de l'onde incidente par unité de longueur de la ligne.

$$\text{De même:} \quad -\frac{\partial \bar{I}}{\partial x} = \bar{z} \bar{I}$$

$$\text{d'où} \quad \bar{I} = -\frac{1}{\bar{z}} \frac{\partial \bar{V}}{\partial x} \quad \text{or} \quad \frac{\partial \bar{I}}{\partial x} = \bar{y} (\bar{A}_1 e^{\bar{z}x} - \bar{A}_2 e^{-\bar{z}x})$$

$$\text{d'où} \quad \bar{I} = \frac{\bar{y}}{\bar{z}} (\bar{A}_2 e^{-\bar{z}x} - \bar{A}_1 e^{\bar{z}x}). \quad (5)'$$

La grandeur $\bar{z}/\bar{y} = \frac{\bar{z}}{\sqrt{\bar{z}\bar{y}}} = \sqrt{\frac{\bar{z}}{\bar{y}}}$, ayant les dimensions d'une résistance est désignée par z_c .

et s'appelle impédance caractéristique d'onde: $z_c = \sqrt{\frac{\bar{z}}{\bar{y}}} = z_c e^{j\theta_c}$.

Déterminons les expressions A_1 et A_2 .

Désignons par x , comme auparavant la distance entre le commencement de la ligne et le point considéré sur cette ligne. Supposons qu'au commencement de la ligne, c'est à dire pour $x=0$, la tension soit égale à \bar{V}_1 et le courant à \bar{I}_1 . Écrivons les équations pour le calcul de A_1 et A_2 en partant de \bar{V}_1 et \bar{I}_1 . Donc en faisant $x=0$ dans les équations (4)' et (5)' on obtient :

$$\bar{V}_1 = \bar{A}_2 + \bar{A}_1 \quad (6)'$$

$$\bar{Z}_c \bar{I}_1 = \bar{A}_2 - \bar{A}_1 \quad (7)'$$

$$\text{En faisant } (6)' - (7)' \text{ d'où } \bar{V}_1 - \bar{Z}_c \bar{I}_1 = 2\bar{A}_1 \quad \text{d'où} \quad \bar{A}_1 = \frac{\bar{V}_1 - \bar{Z}_c \bar{I}_1}{2} = A_1 e^{j\psi_r}$$

$$\text{De la même façon en faisant } (6)' + (7)' \text{ d'où } \bar{V}_1 + \bar{Z}_c \bar{I}_1 = 2\bar{A}_2 \quad \text{d'où} \quad \bar{A}_2 = \frac{\bar{V}_1 + \bar{Z}_c \bar{I}_1}{2} = A_2 e^{j\psi_i}$$

avec A_1 et A_2 les modules respectifs de \bar{A}_1 et \bar{A}_2 aussi ψ_r et ψ_i les arguments respectifs de \bar{A}_1 et \bar{A}_2

En portant ces valeurs dans l'équation (4)' :

$$\bar{V} = \frac{\bar{V}_1 - \bar{Z}_c \bar{I}_1}{2} e^{j\bar{\delta}x} + \frac{\bar{V}_1 + \bar{Z}_c \bar{I}_1}{2} e^{-j\bar{\delta}x} = \bar{V}_1 \frac{e^{j\bar{\delta}x} + e^{-j\bar{\delta}x}}{2} - \bar{Z}_c \bar{I}_1 \frac{e^{j\bar{\delta}x} - e^{-j\bar{\delta}x}}{2}$$

$$\text{or } \operatorname{ch} j\bar{\delta}x = \frac{e^{j\bar{\delta}x} + e^{-j\bar{\delta}x}}{2} \quad \text{et} \quad \operatorname{sh} j\bar{\delta}x = \frac{e^{j\bar{\delta}x} - e^{-j\bar{\delta}x}}{2}$$

$$\text{Par conséquent il vient que : } \bar{V} = \bar{V}_1 \operatorname{ch} j\bar{\delta}x - \bar{Z}_c \bar{I}_1 \operatorname{sh} j\bar{\delta}x$$

En substituant ces valeurs \bar{A}_1 et \bar{A}_2 dans l'équation (5)' d'une façon analogue on obtient :

$$\bar{I} = \bar{I}_1 \operatorname{ch} j\bar{\delta}x - \frac{\bar{V}_1}{\bar{Z}_c} \operatorname{sh} j\bar{\delta}x$$

Soit l la longueur de la ligne. Supposons qu'à l'extémité de la ligne c'est à dire $x=l$, la tension soit égale à \bar{V}_2 et le courant à \bar{I}_2 . En faisant dans les équations (4)' et (5)' $x=l$ on obtient :

$$\bar{V}_2 = \bar{A}_2 e^{-j\bar{\delta}l} + \bar{A}_1 e^{j\bar{\delta}l} \quad (8)'$$

$$\bar{Z}_c \bar{I}_2 = \bar{A}_2 e^{-j\bar{\delta}l} - \bar{A}_1 e^{j\bar{\delta}l} \quad (9)'$$

$$\text{En combinant les équations (8)' et (9)' on obtient : } \bar{A}_1 = \frac{\bar{V}_2 - \bar{Z}_c \bar{I}_2 e^{+j\bar{\delta}l}}{2} = A_1 e^{j\psi_r}$$

$$\text{et } \bar{A}_2 = \frac{\bar{V}_2 + \bar{Z}_c \bar{I}_2 e^{-j\bar{\delta}l}}{2} = A_2 e^{j\psi_i}$$

En substituant ces valeurs dans les équations (4)' et (5)' on obtient :

$$\bar{V}_1 = \bar{V}_2 \operatorname{ch} j\bar{\delta}l + \bar{Z}_c \bar{I}_2 \operatorname{sh} j\bar{\delta}l$$

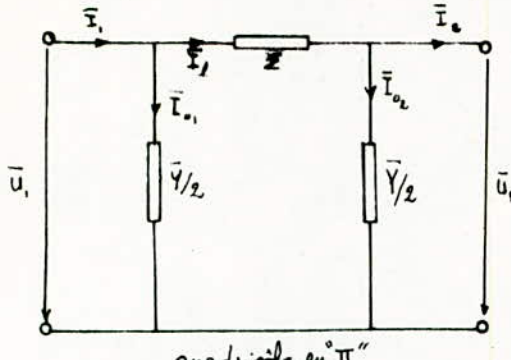
$$\bar{I}_1 = \frac{\bar{V}_2}{\bar{Z}_c} \operatorname{sh} j\bar{\delta}l + \bar{I}_2 \operatorname{ch} j\bar{\delta}l$$

Ces équations relèvent les grandeurs en début de ligne aux grandeurs en fin de ligne.

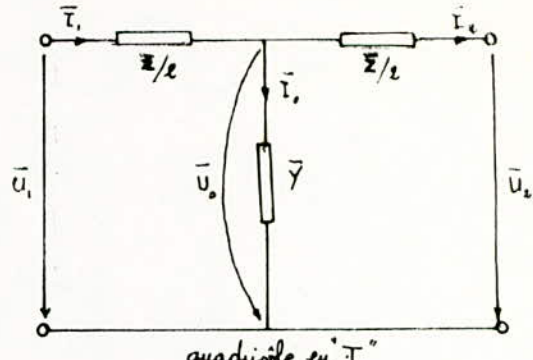
2° - Schémas équivalents :

Comme la plupart des appareils à courants alternatifs, les lignes à constantes réparties

peuvent être remplacées du point de vue de leurs propriétés électriques par un circuit équivalent fictif plus simple à étudier. On a montré qu'une ligne à constantes réparties peut donner lieu à deux types de circuits équivalents qu'on appelle schéma en "T" ou en "π" ceci par analogie avec la disposition des branches correspondantes.



quadripôle en "π"



quadripôle en "T"

On a trouvé précédemment que la tension de départ s'exprime en fonction de la tension d'arrivée (c'est à dire tension en début de ligne et tension en fin de ligne). Soit U_1 et U_2 ces deux tensions d'après ce qui précède on a : $\bar{U}_1 = \bar{U}_2 \operatorname{ch} \bar{j} l + \bar{Z}_c \bar{I}_2 \operatorname{sh} \bar{j} l$ $\bar{I}_1 = \frac{\bar{U}_2}{\bar{Z}_c} \operatorname{sh} \bar{j} l + \bar{I}_2 \operatorname{ch} \bar{j} l$

Les équations d'un quadripôle sont de la forme :

$$\bar{U}_1 = A \bar{U}_2 + B \bar{I}_2$$

$$\bar{I}_1 = C \bar{U}_2 + D \bar{I}_2$$

Donc alors : $A = \operatorname{ch} \bar{j} l$ $C = \frac{1}{\bar{Z}_c} \operatorname{sh} \bar{j} l$
 $B = \bar{Z}_c \operatorname{sh} \bar{j} l$ $D = \frac{1}{\bar{Z}_c} \operatorname{ch} \bar{j} l$.

On a alors :

$$D = A = \operatorname{ch} \bar{j} l = \operatorname{ch} \sqrt{\bar{Z}_c \bar{Y}_c} l = \operatorname{ch} \sqrt{\bar{Z}_c l \cdot \bar{Y}_c l} = \operatorname{ch} \sqrt{\bar{Z}_c \bar{Y}_c}$$

$$B = \bar{Z}_c \operatorname{sh} \bar{j} l = \bar{Z}_c \operatorname{sh} \sqrt{\bar{Z}_c \bar{Y}_c} l = \bar{Z}_c \operatorname{sh} \sqrt{\bar{Z}_c l \cdot \bar{Y}_c l} = \sqrt{\frac{\bar{Z}_c}{\bar{Y}_c}} \operatorname{sh} \sqrt{\bar{Z}_c \bar{Y}_c}$$

$$C = \frac{1}{\bar{Z}_c} \operatorname{sh} \bar{j} l = \frac{1}{\bar{Z}_c} \operatorname{sh} \sqrt{\bar{Z}_c \bar{Y}_c} l = \frac{1}{\bar{Z}_c} \operatorname{sh} \sqrt{\bar{Z}_c l \cdot \bar{Y}_c l} = \sqrt{\frac{\bar{Y}_c}{\bar{Z}_c}} \operatorname{sh} \sqrt{\bar{Z}_c \bar{Y}_c}$$

où Z_c et Y_c sont respectivement l'impédance et l'admittance de la ligne.

En faisant un développement en série de $\operatorname{ch} \sqrt{\bar{Z}_c \bar{Y}_c}$ et $\operatorname{sh} \sqrt{\bar{Z}_c \bar{Y}_c}$:

$$\operatorname{ch} \sqrt{\bar{Z}_c \bar{Y}_c} = 1 + \frac{\bar{Z}_c \bar{Y}_c}{2} + \frac{\bar{Z}_c^2 \bar{Y}_c^2}{24} + \varepsilon \left(\frac{\bar{Z}_c^3 \bar{Y}_c^3}{24} \right)$$

$$\operatorname{sh} \sqrt{\bar{Z}_c \bar{Y}_c} = \sqrt{\bar{Z}_c \bar{Y}_c} + \frac{\bar{Z}_c \bar{Y}_c \sqrt{24}}{6} + \varepsilon \left(\frac{\bar{Z}_c^2 \bar{Y}_c^2}{6} \right)$$

En ne gardant que les termes du premier ordre de ce développement et en remplaçant dans les expressions de A, B et C on obtient :

$$A = D = 1 + \frac{\bar{Z}_c \bar{Y}_c}{2}$$

$\bar{Z} = \bar{Z}_c$ = impédance de la ligne.

$$B = \bar{Z} \left(1 + \frac{\bar{Z}_c \bar{Y}_c}{6} \right)$$

$\bar{Y} = \bar{Y}_c$ = admittance de la ligne.

$$C = \bar{Y} \left(1 + \frac{\bar{Z}_c \bar{Y}_c}{6} \right)$$

Établissons les équations des quadripôles précédents:

- Pour le schéma en "T".

$$\text{On a } \bar{u}_1 = \bar{u}_2 + \bar{z} \bar{I}_1$$

$$\text{or } \bar{I}_1 = \bar{I}_2 - \bar{I}_{01} \Rightarrow \bar{I}_1 = \bar{I}_2 + \bar{I}_{02} = \bar{I}_2 + u_2 \frac{\bar{y}}{2}$$

$$\text{d'où } \bar{u}_1 = \bar{u}_2 + \bar{z} \left(I_2 + \bar{u}_2 \frac{\bar{y}}{2} \right)$$

$$\text{d'où } \bar{u}_1 = \bar{u}_2 \left(1 + \frac{\bar{z}\bar{y}}{2} \right) + \bar{z} \bar{I}_2$$

$$\text{d'autre part on a } \bar{I}_1 = \bar{I}_2 + \bar{I}_{01} + \bar{I}_{02}$$

$$\bar{I}_1 = u_2 \frac{\bar{y}}{2} + \bar{I}_2 + \bar{u}_2 \frac{\bar{y}}{2} = I_2 + \bar{u}_2 \frac{\bar{y}}{2} + \frac{y}{2} [u_2 (1 + \frac{\bar{z}\bar{y}}{2}) + \bar{z} I_2]$$

$$\text{d'où } \bar{I}_1 = \bar{u}_2 \bar{y} \left(1 + \frac{\bar{z}\bar{y}}{4} \right) + \bar{I}_2 \left(1 + \frac{\bar{z}\bar{y}}{2} \right)$$

donc

$$\begin{cases} \bar{u}_1 = \bar{u}_2 \left(1 + \frac{\bar{z}\bar{y}}{2} \right) + \bar{z} \bar{I}_2 \\ \bar{I}_1 = \bar{u}_2 \bar{y} \left(1 + \frac{\bar{z}\bar{y}}{4} \right) + \left(1 + \frac{\bar{z}\bar{y}}{2} \right) \bar{I}_2 \end{cases}$$

on a aussi

$$\begin{cases} \bar{u}_2 = \bar{u}_1 \left(1 + \frac{\bar{z}\bar{y}}{2} \right) - \bar{z} \bar{I}_1 \\ \bar{I}_2 = \bar{I}_1 \left(1 + \frac{\bar{z}\bar{y}}{2} \right) - \bar{u}_1 \bar{y} \left(1 + \frac{\bar{z}\bar{y}}{4} \right) \end{cases}$$

- Pour le schéma en "T".

$$\text{On a } \bar{u}_1 = \bar{u}_2 + \frac{\bar{z}}{2} \bar{I}_1,$$

$$\text{avec } \bar{I}_1 = \bar{I}_2 + \bar{I}_{01}$$

$$\bar{u}_2 = \bar{u}_1 + \frac{\bar{z}}{2} \bar{I}_2$$

$$\text{en substituant ces valeurs on obtient: } \bar{u}_1 = \bar{u}_2 \left(1 + \frac{\bar{z}\bar{y}}{2} \right) + \bar{z} \bar{I}_2 \left(1 + \frac{\bar{z}\bar{y}}{4} \right)$$

$$\text{D'autre part: } \bar{I}_1 = \bar{I}_2 + y \bar{u}_2.$$

$$\bar{I}_1 = \bar{I}_2 + \bar{y} \bar{u}_2 + \frac{\bar{z}\bar{y}}{2} \bar{I}_2$$

$$\text{d'où } \bar{I}_1 = \bar{I}_2 \left(1 + \frac{\bar{z}\bar{y}}{2} \right) + \bar{y} \bar{u}_2$$

d'où

$$\begin{cases} \bar{u}_1 = \bar{u}_2 \left(1 + \frac{\bar{z}\bar{y}}{2} \right) + \bar{z} \bar{I}_2 \left(1 + \frac{\bar{z}\bar{y}}{4} \right) \\ \bar{I}_1 = \bar{y} \bar{u}_2 + \bar{I}_2 \left(1 + \frac{\bar{z}\bar{y}}{2} \right) \end{cases}$$

on a aussi :

$$\begin{cases} \bar{u}_2 = \bar{u}_1 \left(1 + \frac{\bar{z}\bar{y}}{2} \right) - \bar{z} \bar{I}_1 \left(1 + \frac{\bar{z}\bar{y}}{4} \right) \\ \bar{I}_2 = \bar{I}_1 \left(1 + \frac{\bar{z}\bar{y}}{2} \right) - \bar{u}_1 \bar{y} \end{cases}$$

Il en résulte donc de cette comparaison que les équations ont une forme parfaitement analogue, et qu'elles s'expriment en fonction des mêmes paramètres. Par conséquent on dira que toute ligne homogène à constantes uniformément réparties est équivalente à un quadripôle symétrique et inversement tout quadripôle symétrique peut être remplacé par un tronçon de ligne à paramètres uniformément distribués.

Pour l'étude électrique on assimile alors la ligne à un quadripôle symétrique.

3^e. Grandes caractéristiques de la ligne.

a) Résistance de la ligne:

C'est un paramètre du type conducteur, du métal constituant le conducteur, de la section et de la température de l'environnement. Elle est donnée par la formule : $R_L = \kappa \rho \frac{l}{s} \cdot 10^{-3}$ où

R_L la résistance de la ligne

ρ la résistivité du matériau constituant le conducteur à la température de 20°C en $\Omega \text{ mm}^2/\text{m}$

l la longueur de la ligne

s la section du conducteur

κ un coefficient de correction dont la valeur moyenne est de 1,03.

En général le constructeur donne la résistance du conducteur en Ω / km soit r à 20°C.
J'ai la résistance de la ligne devant : $R_L = r \cdot l$

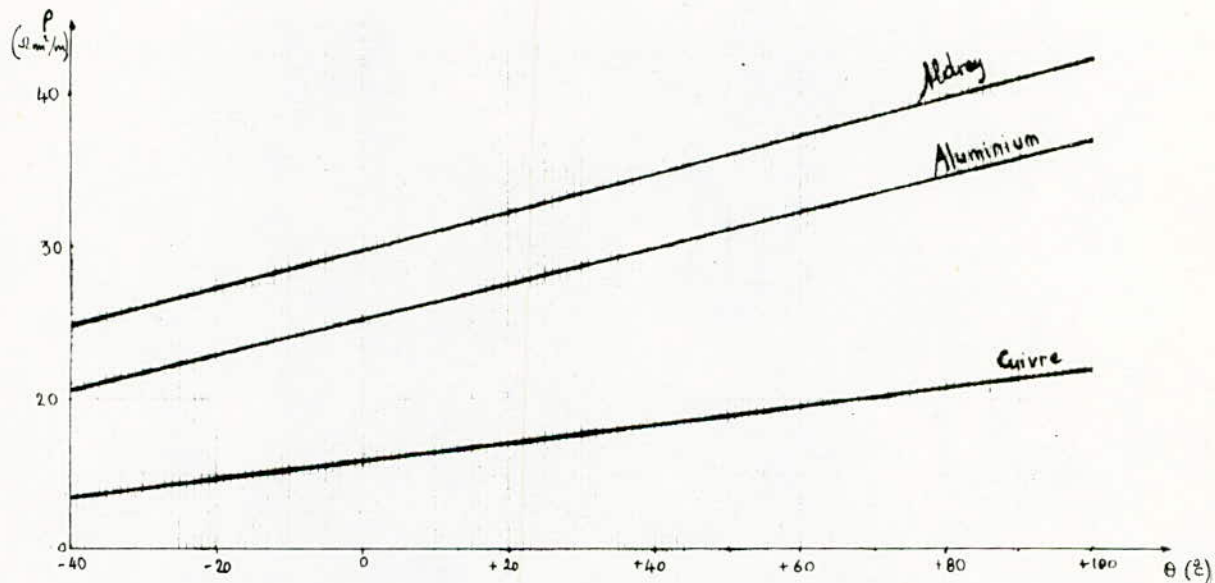
Lorsqu'on étudie le fonctionnement d'une ligne à une température différente de 20°C on aura :

$$R_L = \kappa \rho_0 \frac{l}{s} \cdot 10^{-3} = \kappa \rho_{20} [1 + \alpha (\theta - 20)] \frac{l}{s} \cdot 10^{-3} (\Omega)$$

avec θ la température de calcul

α le coefficient de température en $1/^\circ\text{C}$.

ρ_0 se calcule ou bien s'obtient à l'aide des courbes suivantes :



b). Inductance de la ligne:

C'est un paramètre qui dépend du rayon du conducteur, du métal constituant le conducteur (magnétique ou non-magnétique), distance entre phases, le nombre de turns sur le pylône et du type de transposition de phase.

Comme on étudie une ligne, avec un conducteur par phase et non magnétique, simple tourne dont la transposition de phase est du type 1 (voir chapitre suivant) l'inductance sera :

$$L_L = [4,6 \log \frac{d}{r} + \frac{\mu}{2}] \cdot 10^{-4} (\text{H/Km})$$

L_L l'inductance de ligne et par phase.

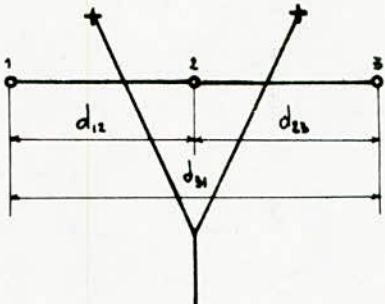
d : la distance moyenne géométrique entre phase (en m)

r : le rayon du conducteur (en m)

μ : la perméabilité magnétique relative du conducteur : $\mu = 1$ pour les non magnétiques.

avec $d = \sqrt{d_{12} \cdot d_{23} \cdot d_{31}}$

les d_{ij} représentent les distances entre phases comme le montre le schéma suivant dans le cas de la ligne à étudier :



- x câbles de garde
- o conducteurs de phase

c) Résistance inductive de la ligne:

Elle dépend de l'inductance de la longueur de la ligne et de la fréquence du courant.

Elle est donnée par la formule : $X_L = 2\pi f L \cdot l$. (Ω/phase)

avec f : la fréquence. (Hz)

l : la longueur de la ligne. (km).

d) Capacité de la ligne:

Elle dépend du rayon, de la hauteur moyenne des conducteurs par rapport au sol et la distance moyenne entre phase :

En ce qui nous concerne c'est à dire pour une ligne simple tension on aura :

$$C_L = \frac{10^5}{A_{11} - A_{12}} \quad F/km$$

avec $A_{11} = 4,6 \log \frac{2h}{r} \cdot 9 \cdot 10^{-9}$

$$A_{12} = 2,3 \log \left[\left(\frac{2h}{r} \right)^2 + 1 \right] \cdot 9 \cdot 10^{-9}$$

et avec :

$$h = H - \frac{f_c}{3} l$$

H la hauteur des points d'appui

f_c la flèche du conducteur à 30°

l la hauteur des conducteurs par rapport au sol.

Nous donnons une telle hauteur h , car nous envisageons l'armement en nappe horizontale.

e) Susceptance capacitive de la ligne :

Elle dépend de la capacité de la ligne, de la longueur et enfin de la fréquence du courant

Elle est donnée par l'expression : $B_L = 2\pi f C_L l$. (s).

f : la fréquence (Hz)

C_L : la capacité de la ligne (en F/km)

l : la longueur de celle-ci (en km).

f). Conductance de la ligne :

C'est un paramètre qui dépend du degré de perfection de l'isolation et de l'effet couronne. La conductance conditionnée de l'imperfection de l'isolation peut varier entre 0,0002 $\mu\text{s}/\text{km}$ dans des conditions normales et 0,001 $\mu\text{s}/\text{km}$ par temps de pluie. On constate qu'elle est très petite et on peut la négliger. D'après la formule on aura : $G_L = (G_{iz} + G_c) \cdot l$ (μs)

G_L : la conductance de la ligne ($\mu\text{s}/\text{phase}$)

G_{iz} : la conductance due à l'imperfection de l'isolation (en $\mu\text{s}/\text{km}$ et phase).

G_c : la conductance due à l'effet couronne.

En général : $G_{iz} = 0,0002 \div 0,002 \mu\text{s}/\text{km}$ conditions normales.

$G_{iz} = 0,001 \div 0,01 \mu\text{s}/\text{km}$ temps de pluie.

Comme on a aussi :

$$G_c = \frac{P_c}{U_0} \mu\text{s}/\text{km}.$$

$$\text{avec } P_c = \frac{241}{\delta} (f+25) \sqrt{\frac{r}{d}} (U_f - U_{cr})^2 \cdot 10^{-5} (\text{kW/km})$$

$$\text{et } \delta = \frac{3,926}{273+t}$$

δ : la densité relative de l'air (à la température de 25°C et une pression de 76 cm de Hg on a $\delta=1$).

b: la pression barométrique en cm. de Hg.

t: la température de l'air environnant.

f: la fréquence

r: le rayon du conducteur

d: la distance moyenne entre phases.

U_{cr} : la tension critique d'apparition de l'effet couronne en KV entre phases.

$$U_{cr} = 84 m_1 m_2 \delta r \log \frac{d}{r} \quad (\text{voir chapitre suivant})$$

$m_1 = 0,93 \div 0,95$ pour conducteurs supraconducteurs.

$m_1 = 0,80 \div 0,87$ pour les câbles.

$m_2 = 1$ pour beau temps

$m_2 = 0,8$ pour mauvais temps.

des pertes par phase seront : $P_{cij} = \frac{241}{\delta} (f+25) \sqrt{\frac{r}{d}} (U_f - U_{fcr,ij})^2 \cdot 10^{-5} \text{ kW/km}$.

$$U_{fcr,ij} = \frac{U_{1,3cr}}{\sqrt{3}} = \frac{1,06 U_{cr}}{\sqrt{3}}$$

$$U_{fcr,2} = \frac{U_{2cr}}{\sqrt{3}} = \frac{0,96 U_{cr}}{\sqrt{3}}$$

les pertes totales seront pour les lignes jusqu'à 220 KV avec des conducteurs dont le diamètre ne dépasse pas 25 mm : $P_c = 2P_{c,13} + P_{c,2}$ (kW/km) .

On arrive ainsi à la conductance de la ligne : $G_c = \frac{P_c}{U_0}$.

g). Impédance de la ligne.

C'est une grandeur complexe dans laquelle intérieurement la résistance et la réactance inductive de la ligne:

$$\bar{Z}_L = R_L + jX_L \quad \Omega$$

h). Admittance de la ligne:

De la même façon c'est une grandeur complexe définie par:

$$\bar{Y}_L = G_L + jB_L \quad s$$

Ainsi nous avons toutes les grandeurs caractérisant une ligne électrique dont dépendent la construction et un bon fonctionnement.

Problèmes relatifs aux lignes aériennes.

1. Effet couronne et ses perturbations:

a). Effet couronne:

l'effet couronne est l'apparition de légers cristaux avec formation d'effluves blanchâtres et d'zigzags lumineux autour d'un fil auquel on a appliquée une tension sinusoidale. Ce phénomène se peut être examiné que dans l'obscurité et le silence. On a constaté, par ailleurs, que ce phénomène prend de l'amplitude au fur et à mesure que la valeur de la tension devient de plus en plus importante.

Cet effet provient du fait qu'il se produit un champ électrique autour du fil. Lorsqu'une tension qui lui est appliquée devient suffisamment grande, l'air se trouve percé par ce champ dépassant alors la valeur correspondante au champ disruptif de l'air ($H_0 = 30 \text{ KV/cm}$). Pouvant avoir sa rigidité électrique l'air constitue une gaine conductrice autour du fil. Ce phénomène nécessite, en fait, une valeur critique du champ H_c supérieure à celle de H_0 afin de se concrétiser. À ce champ critique correspond une valeur de la tension dite critique.

De nombreuses formules ont été données pour le calcul de H_c . Nous utiliserons celle de Peck.

$$H_c = H_0 \delta \left(1 + \frac{0.3}{\sqrt{\delta r}} \right)$$

avec : H_0 : le champ disruptif de l'air.

$(H_0 = 21,2 \text{ KV eff/cm} \text{ ou } H_0 = 30 \text{ KV max/cm})$

δ : la densité relative de l'air $\delta = \frac{3,92 \rho}{273 + \theta}$

r : le rayon du fil conducteur.

De même la tension critique à partir de laquelle ce phénomène est examinable sera :

$$U_c = 84 m_1 m_2 \delta r \log \frac{d}{r}$$

avec : m_1 un coefficient tenant compte de l'état de surface.

m_2 un " " " " de l'état atmosphérique

δ la densité relative de l'air.

c: le rayon du fil conducteur.

d: la distance moyenne géométrique entre phases.

Par ailleurs, on constate que, sur une ligne en service, l'effet corona se manifeste à des tensions souvent inférieures à la tension critique calculée. Il s'agit en la circonstance d'effluves localisées sur les irrégularités les plus saillantes du câble et des chaînes d'isolateurs (les irrégularités sont dues à la fabrication, aux éraflures, poussières et débris organiques collés au câble et aux chaînes d'isolateurs). Ces effluves n'ont rien de symétriques et correspondent à l'apparition des premières pertes. Ces pertes ont été évaluées à l'aide de nombreuses formules empiriques qui, le plus souvent, ne sont applicables qu'en dessous de la tension critique (car dans le cas contraire les pertes sont négligeables). Parmi ces formules celle de Peck est la plus célèbre.

$$P_c = \frac{241}{8} (f + 25) \sqrt{\frac{r}{d}} (U - U_{cr})^2 \cdot 10^{-5} \quad [\text{en KW/km}]$$

où : f la fréquence (50 Hz).

U la tension simple de la ligne.

U_{cr} la tension critique.

pour le reste, la notation est la même que pour le cas précédent.

Remarques :

1. lorsque la tension s'élève les pertes par effet corona augmentent très rapidement. Finsi, en pratique, on évite toujours de laisser se produire ce phénomène dans les lignes hautes tensions. Pour cela on emploie des diamètres de câbles et des écarts suffisants (assez grands) pour que la tension de fonctionnement soit toujours inférieure d'au moins 10 à 20% de la tension critique de l'apparition de ce phénomène.

2. les pertes par effet corona généralement faibles ou modérées dans les lignes à haute tension par beau temps peuvent de l'emplacement sous l'action des intempéries (neige, verglas, surtout fortes pluies) et augmenter alors très vite avec la tension. Sous de telles conditions elles deviennent sensiblement égales aux pertes joules. (ceci car la tension critique diminue par mauvais temps et est réduite au tiers de la tension calculée par beau temps).

b). Perturbations causées par l'effet corona :

Il s'agit des perturbations qui affectent les réceptions radiophoniques. Ces perturbations, lorsqu'elles se produisent sont limitées à une zone de 20 à 30 m de part et d'autre de la ligne 220 KV. Leur importance passe par un maximum au moment de la première mise en service (cela est dû aux irrégularités du diamètre du conducteur). Ce maximum s'atténue progressivement au bout d'un certain temps. La zone perturbée devient alors plus étroite et se rapproche de l'axe de la ligne. Aucune perturbation

des récepteurs de télévision ne résulte de l'effet coronaire.

Malgré il en soit, si les pertes et perturbations par effet coronaire peuvent faire l'objet de prévisions valables, pour des conditions atmosphériques déterminées, il n'en reste pas moins très délicat de pré déterminer les pertes annuelles, étant donné le rôle prédominant que jouent les divers paramètres dont le caractère aléatoire n'est pas contestable.

2. Dispositions relatives des conducteurs entre eux et par rapport aux supports:

a). Considérations générales:

En vertu de la multitude des dispositions adoptées pour les conducteurs, chaque fois, l'écartement de ces derniers est fixé en tenant compte de certaines considérations électriques et mécaniques.

- Du point de vue électrique:

Les conducteurs doivent être assez écartés pour que les pertes par effluves qui se produisent à haute tension ne soient pas trop élevées, et toutefois, n'occasionnent pas l'émoussage d'arc entre phases ou entre un conducteur et le câble de garde.

- Du point de vue mécanique:

Les conducteurs sont soumis, sous l'influence des surcharges brusques, à des balancements qui pourraient les mettre soit en contact si l'on ne prévoit pas des écartements suffisants, soit au contact de la masse si l'on ne prévoit pas de bonnes distances.

b). Distance entre phases:

L'écartement minimal entre conducteurs a été, jusqu'ici, exprimé à l'aide d'une formule empirique qui a le mérite de procurer une assez large sécurité dans la plupart des régions à climat tempéré et où les formations de givre sont exceptionnelles.

Cette formule est la suivante :

$$e = K \sqrt{f + l} + \frac{U}{150}$$

avec U : la tension entre phase en KV.

f : la flèche maximale (cas le plus défavorable).

l : la longueur de la chaîne d'isolateur de suspension.

K : un coefficient qui dépend de la nature du conducteur.

En effet :

$$K = 0,65 \quad \text{pour conducteur en Alu-acier ou alumel-acier} \\ K = 0,7 \div 0,8 \quad \text{pour " en aluminium allié}$$

$\left. \begin{array}{l} \text{Armement en} \\ \text{tige horizontale} \end{array} \right\}$

Il existe d'autres valeurs de K pour l'armement en triangle. Donc l'écartement va

dépendue essentiellement de la nature du câble utilisé et du type d'armement.

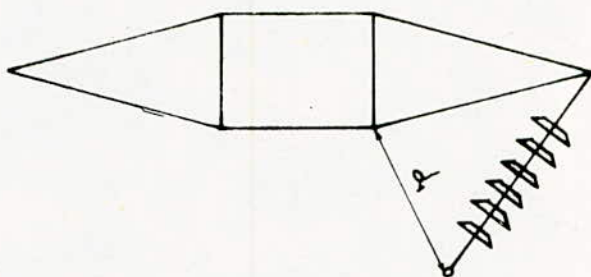
Le cahier des charges SONELGАЗ fixe cette distance à 7,1 m minimum.
Nous prenons donc un écartement entre phases de :

$$e = 7,1 \text{ m}$$

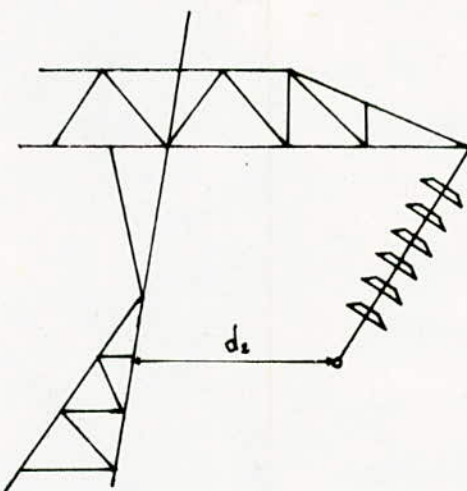
c). Distance à la masse sur les supports.

En général on envisage deux cas qui correspondent aux distances que nous appellerons d_1 et d_2 .

1^{er} cas: La distance d_1 est permanente et n'est pas susceptible de subir des variations appréciables. C'est la distance minimale entre armatures de protection des chaînes (cornes de garde) dont une extrémité est à la terre et l'autre à la tension de la ligne. Schématiquement nous aurons :



2nd cas: La distance d_2 est variable en fonction de la rigueur des hypothèses adoptées. C'est la distance minimale due aux rapprochements à la masse consécutifs aux oscillations sous l'influence du vent. De la même façon, schématiquement nous aurons :



Les distances d_1 et d_2 sont en principe fixées par le cahier des charges. A défaut, celui-ci, donne parfaitement des angles minimum à respecter soit par rapport à l'horizontale (cas de la distance d_1), soit par rapport à la verticale (cas de la distance d_2).

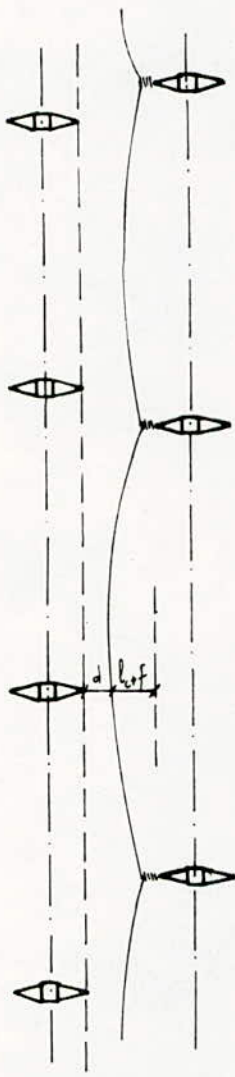
d). Ecartement entre une phase et le câble de garde:

La position des câbles de garde et leur distance aux conducteurs représentent des questions d'une importance particulière qui ne devraient pas faire l'objet de solutions empiriques. L'écartement est basé sur la variation des flèches respectives aux différentes hypothèses et la tension. Le problème sur les variations de flèches sera traité dans la troisième partie.

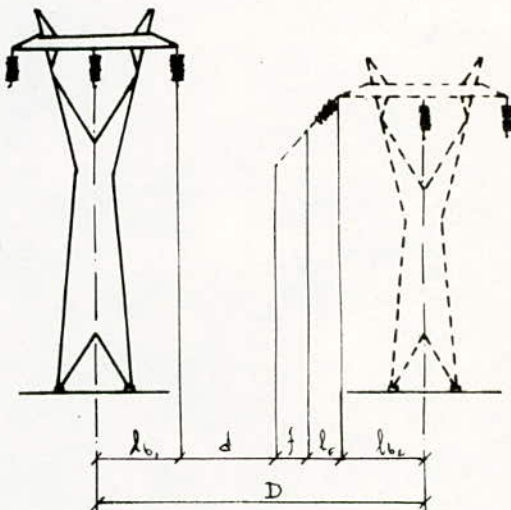
e). Distance entre deux lignes voisines:

C'est la largeur qui conditionne qui dépend en premier lieu de la possibilité d'emplacement des pylônes des deux lignes voisines au même niveau. En d'autres termes une réalisation éventuelle de mêmes portées.

Pour déterminer cette distance nous basons notre raisonnement sur le cas le plus défavorable. En effet nous considérons le cas où nous avons un balancement simultané des conducteurs des deux lignes sous l'action du vent. (Le problème ne se posera pas pour les conducteurs de la même ligne). Le raisonnement sera applicable pour deux lignes ne réalisant pas les mêmes portées. En somme il sera valable pour un cas général: Considérons deux lignes voisines schématisées ci-dessous:



(c'est une vue de haut.)



silhouette des deux pylônes voisins.
(vue de face).

- Soit :
- l_{b_1}, l_{b_2} : les longueurs des bras des deux lignes voisines.
 - d : la distance entre phase imposée par le cahier des charges.
 - f : la flèche du courant en ligne au niveau d'un pylône de la ligne.
 - l_c : la longueur de la chaîne d'isolateurs de suspension.
 - α : l'angle d'inclinaison du conducteur sous l'action du vent. ($\alpha = 40^\circ$)

On désignera par D la distance à assurer entre les deux axes des lignes voisines.
On voit alors d'après le schéma que :

$$D = l_{b_1} + l_{b_2} + d + (l_c + f) \sin \alpha$$

Dans notre cas :

$$\alpha = 40^\circ \quad (\text{fixé par le cahier des charges})$$

$$d = 7,1 \text{ m} \quad (" " " " ")$$

$$l_{b_1} = l_{b_2} = 7,1 \text{ m}.$$

$$\text{alors: } D_{\text{ass}} = 21,3 + (l_c + f) \sin 40^\circ$$

3° Symétrie électrique de la ligne:

Bien qu'il existe une multitude des dispositions dans le cas des lignes aériennes, la symétrie complète est irréalisable. Quelque soit la disposition choisie, elle sera toujours de nature à modifier les constantes de la ligne, en particulier l'inductance et la capacité qui dépendent essentiellement de la géométrie formée par les conducteurs.

On peut envisager l'armement en triangle équilatéral qui réalise une symétrie complète entre conducteurs; par contre, celle-ci par rapport au sol est altérée. D'autre part, on peut également envisager l'armement en usque horizontale qui assure une symétrie relativement complète par rapport au sol mais par la même occasion, une dissymétrie entre conducteurs.

Par conséquent, vu toutes ces difficultés, on a intérêt, après le choix d'une disposition, à faire une correction afin de réaliser artificiellement la symétrie. Cette correction consiste à imprimer aux conducteurs une permutation circulaire le long de la ligne. Ainsi cette dernière amène les conducteurs à occuper chacune des positions possibles sur une même fraction de longueur. Cette opération est appelée transposition de phase. Il est cependant evident qu'il faut faire respecter la distance entre conducteurs et la terre ainsi que la distance entre conducteurs. Il faut également se conformer aux règlements précisant l'établissement de la transposition aux voisinages d'autres lignes aériennes.

D'après K.GIRKMANN et E.KONIGSHOFER, la condition à respecter lors d'une transposition de phase sera :

$$U_n \cdot L > 5000 \text{ KV.Km.}$$

où U_n : la tension entre phase (220 KV).

L: longueur sur laquelle doit s'effectuer la transposition.

X

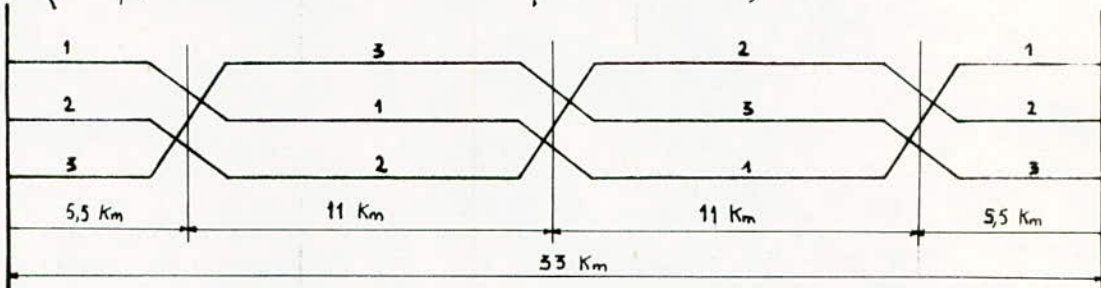
Ceci nous amène alors à:

$$220 \cdot L > 5000$$

d'où $L > \frac{5000}{220} \text{ Km}$

On doit donc avoir: $L > 22,7 \text{ Km}$

Nous nous proposons de faire une transposition sur une longueur: $L = 33 \text{ Km}$.
(de façon à avoir le même ordre de phase à l'arrivée).



Remarque: Le choix de la longueur qui satisfait à la condition $U_n \cdot L > 5000 \text{ KV.Km}$ dépendra essentiellement de la nature du terrain (sans dénivellations, avec faibles ou fortes dénivellations...). Il faut noter également que l'on n'est pas tenu à faire exactement une transposition tous les 33 Km mais bien entendu sur un pylône très voisin de cette distance.

4. Influence du parallélisme entre deux lignes:

Un rapprochement d'une ligne avec une autre ligne, différente ou de même type, est appelé parallélisme de deux lignes. Celui-ci est déconseillé sur une longue distance. En effet un rapprochement prolongé provoque, en cas de court-circuit entre phase et terre, des courants et fém induit. Si quelquefois le sol présente une mauvaise conductivité, ces courants et fém dépassent les limites admissibles et constituent une atteinte immédiate à la sécurité de l'exploitation.

La valeur maximale de la fém induite ne doit pas dépasser 650 V dans les lignes aériennes.

En général, on évite ce parallélisme même à des distances de 2 à 4 Km. Lorsqu'on ne peut pas l'éviter on doit prévoir des protections spéciales.

5. La pollution:

La pollution est un ensemble de poussières, de débris organiques collés aux éraflures des isolles et des chaînes d'isolateurs. La pollution peut, en se déposant sur les chaînes d'isolateurs, en diminuer les qualités électriques au point de ne pouvoir supporter la tension de service. On distingue la pollution marine (air salin), industrielle (chimique) et désertique.

Le problème qui se pose actuellement est la connaissance de la nature de la pollution d'une part, les conditions atmosphériques et climatiques d'autre part. On a, jusqu'ici, essayé de lutter contre la nocivité de la pollution et cela de différentes manières. (On a pu réduire la nocivité de la pollution sur les lignes d'isolatens par exemple en faisant un choix approprié du nombre et du type d'isolateur).

D'une façon générale, ce problème touche de très près la fiabilité d'une ligne et, à cet effet, des recherches sont en cours afin de la résoudre.

Les Isolateurs.

Nous placons dans la deuxième partie de cet ouvrage ce chapitre sur les isolateurs quoique l'étude de ceux-ci doit être faite non seulement du point de vue purement électrique mais aussi du point de vue mécanique que nous envisageons dans la troisième partie. Cependant les propriétés électriques des isolateurs sont prédominantes, et justifient, par conséquent, ce classement.

Le rôle des isolateurs des lignes aériennes est de retenir mécaniquement les conducteurs aux structures qui les supportent et d'assurer l'isolation électrique entre ces deux éléments. Leurs qualités électriques et mécaniques ne devront être détruites par aucunes contraintes de quelque nature qu'elles soient.

1. Différents types d'isolateurs utilisés.

Nous considérons donc deux grands types d'isolateurs qui se différencient par leur nature et leur liaison aux pylônes. En ce qui concerne les matières constitutives les plus utilisées de nos jours sont :

- la porcelaine.
- le verre trempé.

On distingue :

- les isolateurs rigides.
- les isolateurs de suspension.

a). Les isolateurs rigides.

D'une façon générale un isolateur est constitué par un bloc de porcelaine ou de verre supportant le conducteur. L'isolateur est fixé à une ferrure métallique de forme appropriée permettant de le tenir rigidement au pylône. Ce bloc, en une ou plusieurs pièces, comporte à la partie supérieure une cloche ou plateau recourbé portant une racine ou gorge latérale dans laquelle le conducteur est fixé au moyen d'une ligature ou par l'intermédiaire d'une pièce fixée à la ferrure.

Ces isolateurs peuvent être utilisés en position verticale, horizontale ou oblique. Pour cela on doit alors s'assurer que les caractéristiques (électriques et mécaniques) désirées sont respectées dans la position adoptée.

b). Les isolateurs de suspension.

Ils sont composés d'une cloche de porcelaine ou de verre, avec cannelures circulaires intérieures. L'isolateur de suspension porte à sa partie supérieure un capot scellé (en tôle d'acier ou plus

tourent en fonte malleable aussi douce que possible) et à l'intérieur, une tige en acier avec cannelures également scellée dans la matière. Cette tige porte à son extrémité inférieure une tête arrondie qui pénètre dans l'ouverture du capot de l'élément suivant. Une goupille de sécurité enfilée dans l'ouverture empêche la tige de sortir de son logement après embalage.

Cette conception d'isolateur est appelée communément isolateur capot-tige et qui est utilisé par SONELGAZ.

D'une façon générale, les isolateurs ontent pour un pourcentage très modeste dans le prix de la ligne à construire. Cependant ils en sont un élément essentiel dont dépendra la sécurité de l'exploitation. L'importance de leur rôle apparaît surtout par le coût difficilement chiffrable de toute interruption de service dont ils peuvent être la cause. Il est donc nécessaire de les choisir avec discernement ce qui conduit à étudier leurs caractéristiques.

2. Caractéristiques des isolateurs utilisés :

Pour l'étude de l'isolation d'une ligne on doit établir ce que l'on appelle un niveau d'isollement. Celui-ci est un ensemble de caractéristiques électriques d'une chaîne d'isolateurs.

Pour assurer la fiabilité de la ligne cette chaîne d'isolateurs doit tenir à certaines contraintes électriques généralement arrêtées pour chaque tension de service qui sont :

- La tension de fréquence industrielle tenue pendant une minute sous la pluie.
- La tension d'onde de choc tenue pendant une minute.

On doit ajouter à cela une condition qui serait une fuite suffisamment grande pour chaque zone traversée. (La ligne de fuite d'un isolateur est la plus courte distance, suivant le contour des surfaces extérieures des parties isolantes céramique ou verre, reliant les deux parties qui sont normalement soumises à la tension de service).

Toutes ces conditions, car une trop forte couranté électrique peut provoquer.

- Soit un court-circuit.
- Soit une perforation.

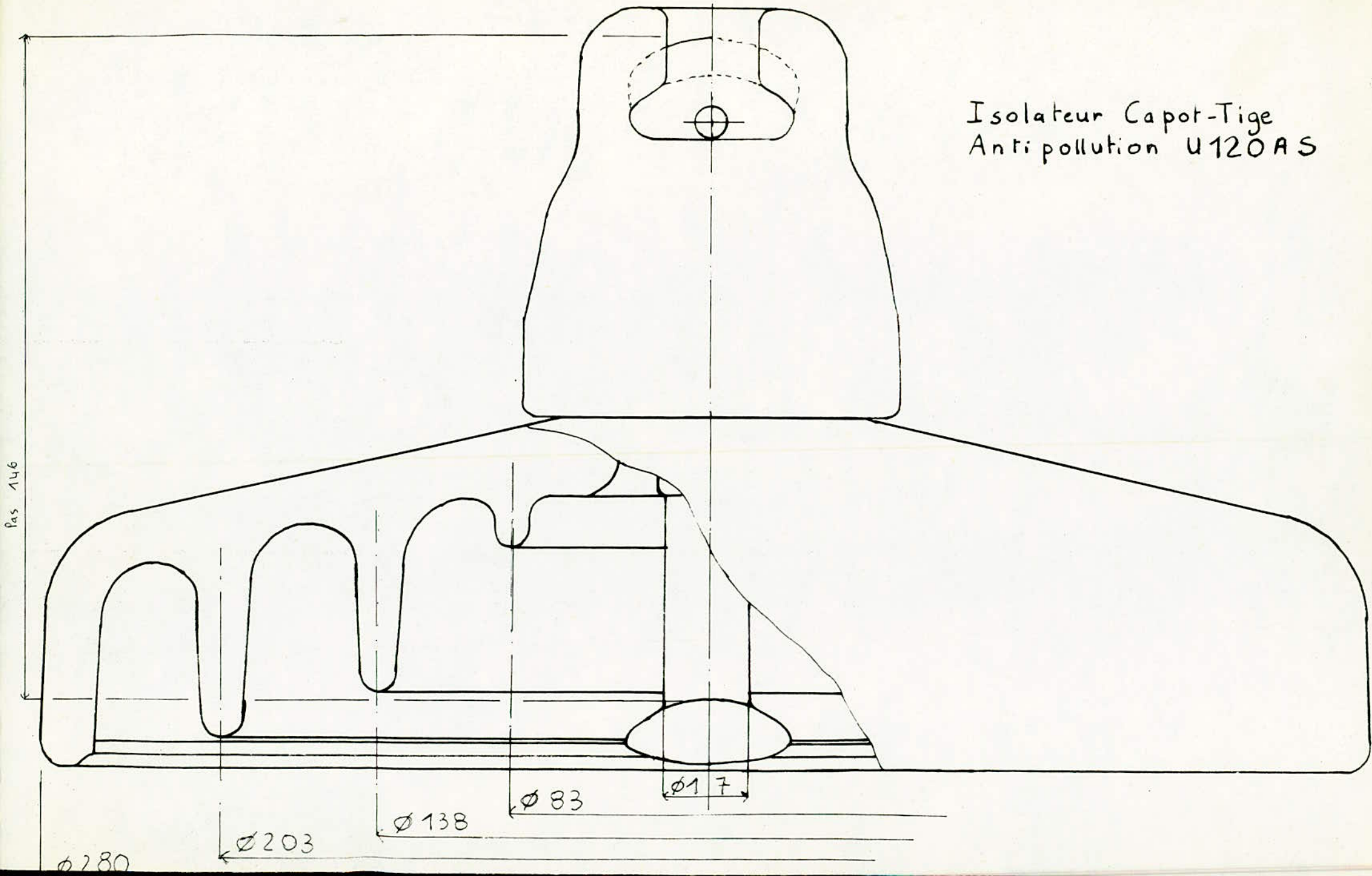
Le court-circuit de l'isolateur, c'est à dire un arcage dans l'air environnant entre les deux pièces conductrices des extrémités. Seule l'énergie thermique dégagée par l'arc pourra endommager l'isolant.

Une perforation de l'isolateur, c'est à dire un arcage à travers le diélectrique entre les deux pièces conductrices des extrémités. La rigidité électrique sera définitivement compromise, l'énergie dégagée à l'intérieur de la matière par l'arc de fuite pourra même causer l'explosion de l'isolation et la chute du conducteur.

Les isolateurs utilisés ont pour caractéristiques :

Diamètre : 280 mm.

Isolateur Capot-Tige
Anti pollution U120AS



Pas: 146 mm
 Tension tenue sous onde de choc 120 KV
 Tension tenue sous fréquence industrielle : à sec: 80 KV
 sous pluie: 45 KV

Longueur de la ligne de fuite: 445 mm.

Effort mécanique garanti: 12 t.

3^e. Choix du type et du nombre d'isolateurs.

Une fois les caractéristiques étudiées, le choix du type d'isolateur revient fonction de la région à traverser. On doit avant tout éviter le passage à proximité des sources de pollution telles que les usines sidérurgiques, de ciment, raffineries de pétrole, industries chimiques En général, une distance de 2 à 4 Km sera suffisante pour prendre de précautions spéciales sur l'isolation.

Pour les régions non-désertiques où se trouve la quasi-totalité des lignes et projets actuels, les isolateurs de type normal suffisent pour les zones à pollution moyenne ou pratiquement nulle ou encore à pluies abondantes. Dès que les zones à traverser sont fortement polluées on doit adopter des isolateurs anti-pollution avec différentes lignes de fuite spécifique suivant l'importance de la dite pollution. (Le minimum sera une ligne de fuite spécifique de 2,5 cm/KV).

Connaissons la ligne de fuite spécifique, on peut calculer le nombre d'isolateurs. Celui-ci est défini comme étant le quotient de la longueur de fuite totale de la chaîne par la longueur de fuite d'un élément de la chaîne.

Pour une ligne de fuite spécifique de 3,2 cm/KV on aura:

la longueur de fuite totale de la chaîne sera:

$$L_{ch} = 3,2 \times 220 = 704 \text{ cm.}$$

la longueur de fuite d'un élément de la chaîne étant: $L_e = 44,5 \text{ cm.}$

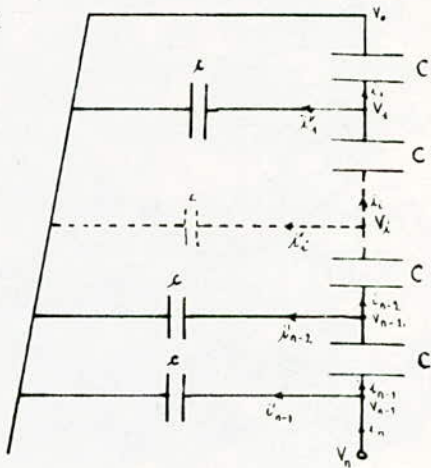
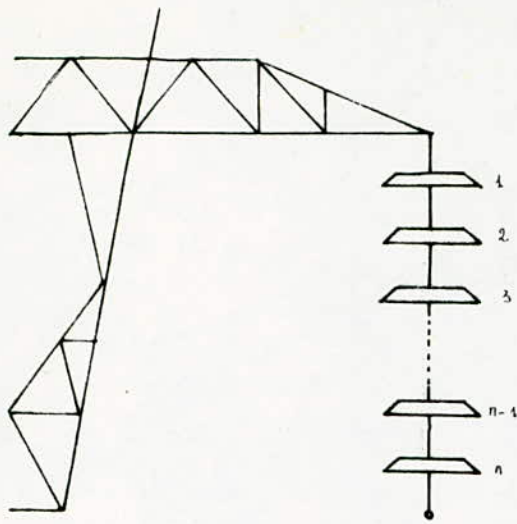
Le nombre d'isolateur sera: $n = \frac{L_{ch}}{L_e}$

$$\text{d'où } n = \frac{704}{44,5} = 15,8 \text{ éléments}$$

Le nombre d'isolateurs que nous choisirons sera alors: $n = 16 \text{ éléments.}$

4^e. Distribution du potentiel le long de la chaîne d'isolateurs.

Cette distribution dépend de diverses capacités en présence. En effet considérons une chaîne d'isolateurs contenant n éléments et appelant C et c respectivement la capacité propre de l'élément ou la capacité entre les deux armatures et la capacité de chaque armature par rapport à la terre, comme l'indique le schéma suivant:



Les capacités que nous avons représenté, suivant cette nomenclature par ordre de grandeur décroissante, ont une valeur relative variable avec le type d'éléments.

En examinant le schéma ci-dessus on constate qu'à différents nœuds: on a

$$i_n = i_{n-1} + i_{n-1}' \quad (1)$$

Pour un potentiel V_n de la ligne et V_{n-1} de l'attache commune aux éléments n et $(n-1)$ la relation (1) devient:

$$\int C \omega (V_n - V_{n-1}) = \int C \omega (V_{n-1} - V_{n-2}) + \int c \omega V_{n-1}$$

d'où $V_n - V_{n-1} = V_{n-1} - V_{n-2} + \frac{c}{C} V_{n-1}$.

il vient donc que:

$$V_n = \left(2 + \frac{c}{C} \right) V_{n-1} - V_{n-2} \quad (2)$$

Nous pouvons constater que la tension entre les armatures de chaque élément va en croissant depuis l'élément n° 1 voisin du bras jusqu'à l'élément n° n voisin de la ligne. En effet, chaque élément est parcouru par un courant de capacité qui s'augmente chaque fois du courant dérivé à la terre par la capacité c de chaque armature.

La relation (2) nous permet de calculer la tension d'un élément quelconque. La véritable valeur de V_n , c'est à dire la tension triple de la ligne permet de calculer V_1 ainsi que tous les autres potentiels.

Proposons nous de calculer la valeur de la tension V_1 sachant que:

$$\begin{aligned} V_n &= 127 \text{ KV} \\ C &= 50 \cdot 10^{-5} \mu\text{F} \\ c &= 7 \cdot 10^{-5} \mu\text{F} \\ n &= 16 \text{ éléments} \end{aligned} \quad \left\{ \frac{c}{C} = 0,14 \right.$$

D'après la relation (2) on aura :

$$V_2 = 2,14 V_1$$

$$V_3 = [(2,14)^2 - 1] V_1 = 3,58 V_1$$

$$V_4 = 2,14 \times 3,58 V_1 - 2,14 V_1 = 5,52 V_1$$

$$V_5 = 2,14 \times 5,52 V_1 - 3,58 V_1 = 8,23 V_1$$

$$V_6 = 2,14 \times 8,23 V_1 - 5,52 V_1 = 12,1 V_1$$

$$V_7 = 2,14 \times 12,1 V_1 - 8,23 V_1 = 17,66 V_1$$

$$V_8 = 2,14 \times 17,66 V_1 - 12,1 V_1 = 25,7 V_1$$

$$V_9 = 2,14 \times 25,7 V_1 - 17,66 V_1 = 37,34 V_1$$

$$V_{10} = 2,14 \times 37,34 V_1 - 25,7 V_1 = 54,2 V_1$$

$$V_{11} = 2,14 \times 54,2 V_1 - 37,34 V_1 = 78,65 V_1$$

$$V_{12} = 2,14 \times 78,65 V_1 - 54,2 V_1 = 114,11 V_1$$

$$V_{13} = 2,14 \times 114,11 V_1 - 78,65 V_1 = 165,54 V_1$$

$$V_{14} = 2,14 \times 165,54 V_1 - 114,11 V_1 = 240,14 V_1$$

$$V_{15} = 2,14 \times 240,14 V_1 - 165,54 V_1 = 348,36 V_1$$

$$V_{16} = 2,14 \times 348,36 V_1 - 240,14 V_1 = 505 V_1$$

Or V_{16} est égale à la tension finale de la ligne : donc $V_{16} = 127 = 505 V$.

il est donc facile de tirer : $V_1 = \frac{127}{505} = 0,25 \text{ KV}$.

En résumé on aura donc :

$$n = 16 \text{ éléments}$$

$$V_{16} = 127 \text{ KV.}$$

$$V_1 = 0,25 \text{ KV.}$$

Connaissant les valeurs des tensions de la ligne et du premier élément on peut déduire toutes les autres valeurs des tensions des éléments intermédiaires. On peut alors dresser un tableau résumant les valeurs des différentes tensions.

On aura la tension entre chaque armature qui se calcule à l'aide de la relation (2) ou bien avec directement les relations ci-dessous.

$$\text{Par exemple : } V_2 = 2,14 \times V_1 = 2,14 \times 0,25 = 0,54 \text{ KV.}$$

$$V_3 = 3,58 V_1 = 3,58 \times 0,25 = 0,90 \text{ KV.}$$

La tension par élément qui se calcule en faisant la différence entre la valeur du potentiel V_{i+1} et la valeur du potentiel V_i .

Par exemple : la tension de l'élément n° 2 sera :

$$V_2 - V_1 = 0,54 - 0,25 = 0,29 \text{ KV.}$$

Don la tension par élément en pourcentage par rapport à V_{16} .

N° de l'él ^e	taux entre chaque armature	tenion par élément	taus./él ^e en % de V ₁₆
1	0,25	0,25	0,197
2	0,54	0,29	0,23
3	0,90	0,36	0,28
4	1,38	0,48	0,38
5	2,06	0,68	0,54
6	3,04	0,98	0,77
7	4,43	1,39	1,09
8	6,45	2,02	1,59
9	9,37	2,92	2,30
10	13,60	4,23	3,33
11	19,74	6,14	4,83
12	28,64	8,9	7,00
13	41,55	12,91	10,16
14	60,27	18,72	14,74
15	87,44	27,17	21,39
16		39,56	31,15

Remarque :

On voit que l'élément voisin de la traverse ou bras prend 0,2% de la tension totale tandis que l'élément voisin de la ligne prend à lui seul à peu près le tiers de la tension totale. Une irrégularité de la répartition du potentiel entraîne comme conséquence principale l'abaissement de la tension d'auverrage d'une chaîne d'isolateurs et la difficulté de réaliser l'isolant pour des tensions très élevées par augmentation du nombre d'isolateurs de la chaîne.

En vertu de tout ce qui a été dit dans ce chapitre, un choix adéquat du type et du nombre d'isolateurs en fonction de leur utilisation, ne fera qu'augmenter la sécurité et la fiabilité de la ligne.

Choix du conducteur.

des métaux conducteurs utilisés dans la construction des lignes de transmission d'énergie doivent posséder trois qualités principales:

- Offrir une résistance électrique aussi faible que possible afin de minimiser les pertes d'énergie lors de la transmission.
- Offrir une résistance mécanique suffisamment grande afin de résister aux efforts mécaniques permanents ou accidentels.
- Présenter un prix de revient raisonnable.

Les métaux satisfaisant à ces conditions sont, hélas, en nombre relativement restreint. Notons que la plupart des lignes aériennes ont été construites soit en un seul métal (Al, Cu ou acier), soit en un alliage de deux métaux (Cu-acier, Al-acier...).

On recherche toujours le ou les métaux les plus avantageux en tenant compte de leurs caractéristiques électriques et mécaniques.

Dans un cadre d'études technico-économiques pour l'ensemble d'un réseau et compte tenu des possibilités de production des normes de câbles de notre pays, la SONELGAS a normalisé l'utilisation des câbles. Pour ses lignes elle utilise différentes sections de câbles, on trouve le 288 mm^2 , le 411 mm^2 exceptionnellement le 617 mm^2 et bien d'autres. Tous ces trois câbles cités sont en Alu-acier.

1. Caractéristiques des câbles à étudier:

Sur vertu de ce qui a été dit précédemment et en fonction de la tension de notre ligne à construire, nous avons retenus deux sections de câbles susceptibles de donner de bons résultats. Ces sections seront la 288 mm^2 et la 411 mm^2 . Les caractéristiques de ces câbles sont alors:

	câble 288 mm^2 Alu-acier	câble 411 mm^2 Alu-acier
Nature du câble :	Aluminium - acier	Aluminium - acier
Section du câble :	288 mm^2	411 mm^2
Composition :	30 brins d'Alu. de $\phi 3,15 \text{ mm}$ 7 brins d'acier de $\phi 3,15 \text{ mm}$	32 brins d'Alu de $\phi 3,6 \text{ mm}$ 19 brins d'acier de $\phi 2,4 \text{ mm}$

Section d'aluminium :	234 mm ²	325 mm ²
Section d'acier :	54,6 mm ²	86 mm ²
Diamètre extérieur :	22,05 mm	26,4 mm
Poids linéaire :	1,083 Kg/m	1,593 Kg/m
Poids spécifique :	$3,76 \cdot 10^{-3}$ Kg/m.mm ²	$3,88 \cdot 10^{-3}$ Kg/m.mm ²
Résistance électrique à 20°C :	0,124 Ω / Km	0,088 Ω / Km
Charge de rupture minimale :	9220 Kg	16500 Kg
Coefficient de dilatation :	$18 \cdot 10^{-6}$	$17,6 \cdot 10^{-6}$
Modèle de Young :	8000 Kg/mm ²	8300 Kg/mm ²

2°. Calcul des grands caractéristiques de la ligne:

Dans ce qui suit, aussi bien pour le câble 288 mm² que pour le câble 411 mm², on prendra des températures moyennes pour le calcul des grands caractéristiques de la ligne BOVIRA - M'SILA longue de 100 Km.

On distingue alors par θ_{env} : la température de l'environnement.

θ_c : la température du conducteur.

On fixera : $\bar{\theta}_{env} = 15^\circ C$.

$\bar{\theta}_c = 20^\circ C$.

a) Grands caractéristiques pour le câble 288 mm²:

- Résistance : la résistance du conducteur étant $r_{20^\circ C} = 0,124 \text{ Km}^{-1} \Omega$

la résistance de la ligne et par phase terra : $R_L = r_{20^\circ C} \cdot l \Omega$

$$R_L = 0,124 \times 100 = 12,4 \Omega$$

$$\text{d'où } R_L = 12,4 \Omega$$

- Inductance : $L_L = [4,6 \log \frac{d}{r} + \frac{\mu}{2}] \cdot 10^{-4} \text{ H/Km}$.

$$\text{ou a. } d = \sqrt[3]{d_{12} \cdot d_{23} \cdot d_{31}}$$

$$d = \sqrt[3]{71 \cdot 71 \cdot 142} = 8,95 \text{ m}$$

d_{ij} les distances entre pôles i et j.

$$\mu = 1$$

$$r = \frac{d_c}{2} = \frac{22,05}{2} = 11,025 \text{ mm} \approx 0,011 \text{ m}$$

$$\text{d'où } L_L = [4,6 \log \frac{8,95}{0,011} + \frac{1}{2}] \cdot 10^{-4} \text{ H/Km}$$

$$\text{d'où } L_L = 1,39 \cdot 10^{-3} \text{ H/Km}$$

- Impédance inductive : $X_L = 2\pi f \cdot L_L \cdot l \Omega$

$$f = 50 \text{ Hz}$$

$$l = 100 \text{ Km}$$

$$X_L = 314 \cdot L_L \cdot 100 \Omega$$

$$\text{d'où } X_L = 43,6 \Omega$$

- Capacité : $C_L = \frac{10^5}{A_{11} - A_{12}} F/Km$

Notre étude étant faite pour une ligne simple terminée d'où $A_{11} = [4,6 \log \frac{2h}{r}] 9.10^n$.
et $A_{12} = 2,3 \log \left[\left(\frac{2h}{d} \right)^2 + 1 \right] . 9.10^n$.

avec $h = \sqrt{h_1 \cdot h_2 \cdot h_3}$

L'équipement de la ligne est en nappe horizontale donc $h_1 = h_2 = h_3 = H - \frac{f_c}{3} f_c$

$$\left. \begin{array}{l} H = 20,2 \text{ m} = (22,8 - 2,6) \\ f_c = (22,8 - 2,6) - 7 = 13,2 \text{ m} \end{array} \right\} \text{ d'où } h = 20,2 - \frac{1}{3} \cdot 13,2 = 11,4 \text{ m}$$

d'où $h = 11,4 \text{ m}$.

Calcul de A_{11} : $A_{11} = \left[4,6 \log \frac{2 \cdot 11,4}{0,011} \right] . 9.10^n = 137,3 \cdot 10^n$.

Calcul de A_{12} : $A_{12} = 2,3 \log \left[\left(\frac{2 \cdot 11,4}{0,95} \right)^2 + 1 \right] . 9.10^n = 18,1 \cdot 10^n$.

donc $C_L = \frac{10^5}{(137,3 - 18,1) \cdot 10^n} = 8,39 \times 10^{-9} F/Km$

d'où $C_L = 8,39 \cdot 10^{-9} F/Km$

- Susceptance : $B_L = 2\pi f_c C_L l$.

$f_c = 50 \text{ Hz}$

$l = 100 \text{ km}$

$B_L = 314 C_L \cdot 100 \text{ s}$

d'où $B_L = 0,26 \cdot 10^{-3} \text{ S}$

- Conductance :

$G_L = (G_{iz} + G_c)l$.

On prend $G_{iz} = 0,005 \mu\text{s}/\text{km}$.

$G_c = \frac{P_c}{U_r^2}$. Calculons P_c pertes de puissance par effet de couronne en kW/Km et par phase
Comme on l'a déjà vu au chapitre 2 : $P_c = \frac{241}{8} (f+25) \sqrt{\frac{r}{d}} (U_f - U_{fcr})^2$.

$U_f = \frac{U_r}{\sqrt{3}}$ la tension simple.

On a également $U_{fcr} = 84 \text{ m}, \text{m}_2, \delta, r \cdot \log \frac{d}{r}$

$$\left. \begin{array}{l} \delta = \frac{3,92 b}{273+t} \\ b = 75 \text{ cm de Hg} \\ t = 15^\circ \end{array} \right\} \text{ d'où } \delta = 1,02$$

$U_{fcr} = 0,8 \cdot 0,84 \cdot 84 \cdot 1,02 \cdot 1,1 \cdot \log \frac{8,95}{0,01} = 184 \text{ KV}$

$U_{f,3cr} = 1,06 U_{fcr} = 195 \text{ KV}.$ d'où $U_{f,3cr} = \frac{U_{f,3cr}}{\sqrt{3}} = 113 \text{ KV}$

$U_{f,2cr} = 0,96 U_{fcr} = 176 \text{ KV}.$ d'où $U_{f,2cr} = \frac{U_{f,2cr}}{\sqrt{3}} = 102 \text{ KV}$

$P_{c,ij} = \frac{241}{8} (f+25) \sqrt{\frac{r}{d}} (U_f - U_{f,ijcr})^2 \cdot 10^{-5} \text{ kW/Km et phase.}$

donc $P_{c,3} = \frac{241}{8} (50+25) \sqrt{\frac{0,011}{0,95}} (127 - 113)^2 \cdot 10^{-5} = 1,22 \text{ kW/Km}$

$$\text{et } P_{c_2} = \frac{241}{1,02} (50+25) \sqrt{\frac{0,011}{0,95}} (127 - 102) \cdot 10^{-5} = 3,88 \text{ kW/km}$$

Bon alors donc $P_c = 2P_{c_1} + P_{c_2} = 2(1,28) + 3,88 = 6,32 \text{ kW/km}$.
 et comme $G_c = \frac{P_c}{U_n^2}$ donc $G_c = \frac{6,32}{(220)^2} = 1,3 \cdot 10^{-4} \mu\text{s/km}$

d'où $G_L = (G_{c_1} + G_c) \cdot l = (0,005 + 1,3 \cdot 10^{-4}) \cdot 100 \mu\text{s}$.

d'où $G_L = 0,51 \mu\text{s}$

- Impédance de la ligne: $Z_L = R_L + jX_L$

d'où $Z_L = 12,4 + j43,6 \Omega$

$$|Z_L| = \sqrt{R_L^2 + X_L^2} = 45,3 \Omega$$

$$\arg(Z_L) = \arctg \frac{X_L}{R_L} = 74^\circ$$

d'où $Z_L = 45,3 \angle 74^\circ \Omega$.

- Admittance de la ligne: $Y_L = G_L + jB_L$

d'où $Y_L = (0,00051 + j0,26) \cdot 10^{-3} \text{ s}$.

$$|Y_L| = \sqrt{G_L^2 + B_L^2} = 0,26 \cdot 10^{-3} \text{ s}$$

$$\arg(Y_L) = \arctg \frac{B_L}{G_L} = 89,9^\circ$$

d'où $Y_L = 0,26 \cdot 10^{-3} \angle 89,9^\circ \text{ s}$.

(On prendra $Y_L \approx j0,26 \cdot 10^{-3} \text{ s}$).

b) Grandeur caractéristiques pour le câble 411 mm²:

- résistance: la résistance du conducteur étant $r_{20} = 0,088 \Omega/\text{km}$

la résistance de la ligne sera: $R_L = r_{20} \cdot l \Omega$

$$R_L = 0,088 \times 100 = 8,8 \Omega$$

d'où $R_L = 8,8 \Omega$.

- Inductance: $L_L = [4,6 \log \frac{d}{r} + \frac{\mu}{2}] \cdot 10^{-4} \text{ H/km}$

ou or $d = \sqrt[3]{d_{12} \cdot d_{23} \cdot d_{31}}$
 $d = \sqrt[3]{7,1 \cdot 7,1 \cdot 14,9} = 8,95 \text{ m}$

$$\mu = 1$$

$$r = \frac{d_c}{2} = \frac{26,4}{2} = 13,2 \text{ mm} = 0,013 \text{ m}$$

d'où $L_L = [4,6 \log \frac{8,95}{0,013} + \frac{1}{2}] \cdot 10^{-4} \text{ H/km}$

d'où $L_L = 1,35 \cdot 10^{-3} \text{ H/km}$

- Résistance inductive: $X_L = 2\pi f \cdot L_L \cdot l$.

$$f = 50 \text{ Hz.}$$

$$l = 100 \text{ km} \quad \text{donc} \quad X_L = 314 \cdot L \cdot 100 \text{ } \Omega$$

$$\text{d'où} \quad X_L = 42,4 \text{ } \Omega$$

- Capacité: $C_L = \frac{10^5}{A_{11} - A_{12}} \text{ F/km.}$

Pour une ligne simple tension: $A_{11} = \left[4,6 \log \frac{2h}{r} \right] \cdot 9 \cdot 10^9$
et

$$A_{12} = 2,3 \log \left[\left(\frac{2h}{d} \right)^2 + 1 \right] \cdot 9 \cdot 10^9$$

avec $h = \sqrt[3]{h_1 \cdot h_2 \cdot h_3}$ ou ou ou $h_1 = h_2 = h_3 = H - \frac{2}{3} f_c = h = 11,4 \text{ m}$

d'où $A_{11} = \left[4,6 \log \frac{2 \cdot 11,4}{0,013} \right] \cdot 9 \cdot 10^9 = 134,3 \cdot 10^9$.

$$A_{12} = 2,3 \log \left[\left(\frac{2 \cdot 11,4}{0,95} \right)^2 + 1 \right] \cdot 9 \cdot 10^9 = 18,1 \cdot 10^9$$

donc $C_L = \frac{10^5}{(134,3 - 18,1) \cdot 10^9} = 8,6 \cdot 10^{-9} \text{ F/km}$

d'où $C_L = 8,6 \cdot 10^{-9} \text{ F/km}$

- Susceptance: $B_L = 2\pi f C_L \cdot l \quad s.$

$$f = 50 \text{ Hz}$$

$$l = 100 \text{ km}$$

$$B_L = 314 \cdot C_L \cdot 100 \text{ s}$$

d'où $B_L = 0,2 f \cdot 10^{-3} \text{ s}$

- Conductance:

$$G_L = (G_{ic} + G_c) \cdot l$$

On prend $G_{ic} = 0,005 \mu\text{s/km}$

D'une façon analogue au cas précédent on aura: $U_{cr} = 84 \cdot 0,84 \cdot 0,98 \cdot 1,02 \cdot 1,3 \cdot \log \frac{8,95}{0,013}$
 $U_{cr} = 216 \text{ KV.}$

$$U_{cr1} = 1,06 U_{cr} = 229 \text{ KV.}$$

d'où $U_{f1,cr} = \frac{U_{cr1}}{\sqrt{3}} = 132 \text{ KV.}$

$$U_{cr2} = 0,96 U_{cr} = 207 \text{ KV.}$$

$$U_{f2,cr} = \frac{U_{cr2}}{\sqrt{3}} = 120 \text{ KV.}$$

$$P_{cr} = \frac{241}{1,02} (50+25) \sqrt{\frac{0,013}{8,95}} (127 - 120)^2 \cdot 10^8 = 0,33 \text{ kW/km}$$

On a alors $P_c = P_{cr}$ d'où $G_c = \frac{P_c}{(U_{cr})^2}$ donc $G_c = \frac{0,33}{(216)^2} = 0,07 \cdot 10^{-4} \mu\text{s/km}$

d'où $G_L = (G_{ic} + G_c) \cdot l = (0,005 + 0,07 \cdot 10^{-4}) \cdot 100 \mu\text{s}$

d'où $G_L = 0,50 \mu\text{s}$

- Impédance de la ligne: $Z_L = R_L + j X_L$

d'où $Z_L = 8,8 + j 42,4 \text{ } \Omega$

$$|Z_L| = \sqrt{R_L^2 + X_L^2} = 43,3 \text{ } \Omega$$

$$\arg(z_L) = \arg \frac{X_L}{R_L} = 78^\circ$$

$$\text{donc } Z_L = 43,3 \angle 78^\circ \Omega$$

- Admittance de la ligne:

$$Y_L = G_L + jB_L$$

$$\text{d'où } Y_L = (0,0005 + j0,17) \cdot 10^{-3} \text{ S}$$

$$|Y_L| = \sqrt{G^2 + B^2} = 0,27 \cdot 10^{-3} \text{ S}$$

$$\arg(Y_L) = \arg \frac{B_L}{G_L} = 89,9^\circ$$

$$\text{donc } Y_L = 0,27 \cdot 10^{-3} \angle 89,9^\circ \text{ S}$$

(On prendra $y_L = j0,27 \cdot 10^{-3} \text{ S}$.)

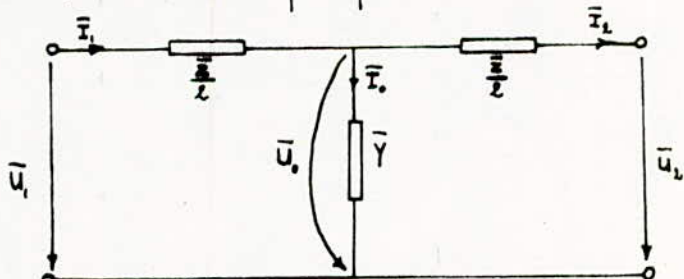
3^e. Méthode de Calcul.

Le calcul électrique d'une ligne détermine les paramètres et les valeurs électriques dont dépendent la construction et le meilleur fonctionnement de celle-ci. Pour pouvoir tirer un profit maximum, on va faire une étude comparative de ces valeurs pour deux sections différentes. Le principe de la comparaison est basé sur le fait suivant:

Connaissant les grandeurs électriques en début de ligne, nous pouvons déterminer les grandeurs en fin de ligne afin de calculer chute de tension, chute de puissance et rendement pour chacune des sections proposées. Nous fixerons notre choix sur la section qui permet de transmettre une certaine puissance avec un minimum de perte et un bon rendement.

La SONELGAZ se propose de faire transmettre une puissance $P_0 = 180 \text{ MW}$ avec un facteur de puissance de $0,9 = \cos \varphi_0$, et une tension nominale $U_0 = 220 \text{ KV}$.

Considérons pour cela le schéma d'un quadrupôle en 'T':



On a:

$$\bar{U}_1 = \bar{U}_2 \left(1 + \frac{\bar{Z}\bar{Y}}{2} \right) + \bar{Z}\bar{I}_2 \left(1 + \frac{\bar{Z}\bar{Y}}{4} \right)$$

$$\bar{I}_1 = \bar{I}_2 \left(1 + \frac{\bar{Z}\bar{Y}}{2} \right) + \bar{U}_2 \bar{Y}$$

ou bien:

$$\bar{U}_2 = \bar{U}_1 \left(1 + \frac{\bar{Z}\bar{Y}}{2} \right) - \bar{Z}\bar{I}_1 \left(1 + \frac{\bar{Z}\bar{Y}}{4} \right)$$

$$\bar{I}_2 = \bar{I}_1 \left(1 + \frac{\bar{Z}\bar{Y}}{2} \right) - \bar{U}_1 \bar{Y}$$

$$\text{On a } P_0 = \bar{U}_1 \bar{I}_1 \cos \varphi_0$$

$$\text{d'où } |\bar{I}_1| = \frac{P_1}{\sqrt{3} U_1 \cos \varphi_1}$$

$$\begin{aligned}\bar{U}_2 &= \bar{U}_1 \left(1 + \frac{\bar{Z}\bar{Y}}{2}\right) - \bar{Z}\bar{I}_1 \left(1 + \frac{\bar{Z}\bar{Y}}{4}\right) \\ \bar{I}_2 &= \bar{I}_1 \left(1 + \frac{\bar{Z}\bar{Y}}{2}\right) - \bar{U}_1 \bar{Y}\end{aligned}$$

$$\text{On a de plus } S_2 = 3\bar{U}_2 \bar{I}_2^* = P_2 + j Q_2.$$

$$\text{d'où } |\Delta \bar{U}| = |\bar{U}_1| - |\bar{U}_2|$$

$$\Delta P = P_1 - P_2$$

$$y = \frac{P_2}{P_1}$$

a). Calculs concernant le câble 288 mm²:

$$\text{Nous avons } Z_L = 12,4 + j 43,6 \Omega \quad \text{avec } |Z_L| = 45,3 \Omega.$$

$$Y_L \approx j 0,26 \cdot 10^{-3} \text{ s} \quad \text{avec } |Y_L| = 0,26 \cdot 10^{-3} \text{ s}.$$

$$\text{d'autre part: } 1 + \frac{\bar{Z}\bar{Y}}{2} = 1 + \frac{(12,4 + j 43,6) \cdot j 0,26 \cdot 10^{-3}}{2} = 0,994 + j 1,6 \cdot 10^{-3} \approx 0,994.$$

$$\text{et: } 1 + \frac{\bar{Z}\bar{Y}}{4} = 1 + \frac{(12,4 + j 43,6) \cdot j 0,26 \cdot 10^{-3}}{4} = 0,997 + j 0,8 \cdot 10^{-3} \approx 0,997.$$

$$-\text{ Calcul de } \bar{I}_1: \quad |\bar{I}_1| = \frac{P_1}{\sqrt{3} U_1 \cos \varphi_1} = \frac{180 \cdot 10^6}{\sqrt{3} \cdot 220 \cdot 10^5 \cdot 0,9} = 525 \text{ A}$$

$$\bar{I}_1 = |\bar{I}_1| \cos \varphi_1 - j |\bar{I}_1| \sin \varphi_1 \quad \text{d'où} \quad \bar{I}_1 = 525 \cdot 0,9 - j 525 \cdot 0,43 \quad (\text{inductif})$$

donc $\bar{I}_1 = 472 - j 226 \text{ A}$.

U_1 étant prise comme origine de phase nous avons:

$$-\text{ Calcul de } \bar{U}_2: \quad \bar{U}_2 = 127 \cdot 10^3 \cdot 0,994 - (12,4 + j 43,6)(472 - j 226) \cdot 0,997$$

$$\text{d'où} \quad \bar{U}_2 = 110,6 - j 17,7 \text{ KV}$$

$$\text{d'où} \quad |\bar{U}_2| = 112 \text{ KV}$$

$$-\text{ Calcul de } \bar{I}_2: \quad \bar{I}_2 = (472 - j 226) \cdot 0,994 - j 0,26 \cdot 10^{-3} \cdot 127 \cdot 10^3$$

$$\bar{I}_2 = 469 - j 258 \text{ A}$$

$$\text{d'où} \quad |\bar{I}_2| = 535 \text{ A}.$$

$$\begin{aligned}-\text{ Calcul des } \bar{S}_2: \quad \bar{S}_2 &= 3\bar{U}_2 \bar{I}_2^* \\ &= 3(110,6 - j 17,7)(469 + j 258) \\ \bar{S}_2 &= 169 + j 61 \text{ MVA}\end{aligned}$$

$$\left. \begin{array}{l} P_2 = 169 \text{ MW} \\ Q_2 = 61 \text{ MVAR} \end{array} \right\} \quad \varphi_2 = \arctg \frac{Q_2}{P_2} = 20^\circ \quad \text{d'où} \quad \cos \varphi_2 = 0,9$$

Calcul de la chute de tension:

$$|\Delta \bar{U}|_{ph} = |\bar{U}_1|_{ph} - |\bar{U}_2|_{ph} = 127 - 112 = 15 \text{ KV}.$$

$$\text{donc } |\bar{U}_1| = 15 \text{ KV}$$

$$\text{d'où } |\Delta \bar{U}| \% = \frac{|\Delta \bar{U}|}{|\bar{U}_1|} = \frac{15}{127} \cdot 100 = 11,8\%$$

$$\text{d'où } |\Delta \bar{U}| \% = 11,8\%$$

Calcul de la chute de puissance :

$$\Delta P = P_1 - P_2 = 180 - 169 = 11 \text{ MW}$$

$$\Delta P \% = \frac{P_1 - P_2}{P_1} \cdot 100 = 6,1\%$$

$$\text{d'où } \Delta P \% = 6,1\%$$

Calcul du rendement :

$$\eta = \frac{P_2}{P_1} = \frac{169}{180} = 0,938$$

$$\text{d'où } \eta \% = 93,8\%$$

b) Calculs concernant le câble 411 mm²:

$$\text{Nous avons } Z_L = 8,8 + j48,4 \Omega \quad \text{avec } |\bar{Z}_L| = 43,3 \Omega$$

$$Y_L = j0,27 \cdot 10^{-3} \text{ s} \quad \text{avec } |\bar{Y}_L| = 0,27 \cdot 10^{-3} \text{ s}$$

$$\text{d'autre part : } 1 + \frac{\bar{Z}\bar{Y}}{2} = 1 + \frac{(8,8 + j48,4) \cdot j0,27 \cdot 10^{-3}}{2} = 0,994.$$

$$\text{et : } 1 + \frac{\bar{Z}\bar{Y}}{4} = 1 + \frac{(8,8 + j48,4) \cdot j0,27 \cdot 10^{-3}}{4} = 0,997.$$

$$-\text{ Calcul de } \bar{I}_1 : \quad |\bar{I}_1| = \frac{P_1}{\sqrt{3} U_1 \cos \varphi_1} = 525 \text{ A}$$

$$\bar{I}_1 = |\bar{I}_1| \cos \varphi_1 - j |\bar{I}_1| \sin \varphi_1 \quad \text{d'où } \bar{I}_1 = 525 \times 0,9 - j 525 \cdot 0,43 \quad (\text{inductif})$$

$$\text{donc } \bar{I}_1 = 472 - j 226 \text{ A}$$

- Calcul de \bar{U}_2 :

$$\bar{U}_2 = 127 \cdot 10^3 \cdot 0,994 - (8,8 + j43,6)(472 - j 226) \cdot 0,997$$

$$\text{d'où } \bar{U}_2 = 112,5 - j 18 \text{ KV}$$

$$\text{d'où } |\bar{U}_2| = 114 \text{ KV}$$

- Calcul de \bar{I}_2 :

$$\bar{I}_2 = (472 - j 226) \cdot 0,994 - j 0,26 \cdot 10^{-3} \cdot 127 \cdot 10^3$$

$$\bar{I}_2 = 469 - j 259 \text{ A}$$

$$\text{d'où } |\bar{I}_2| = 536 \text{ A}$$

- Calculons \bar{S}_2 :

$$\bar{S}_2 = 3 \bar{U}_2 \bar{I}_2^*$$

$$= 3(112,5 - j 18)(469 + j 259)$$

$$\bar{S}_2 = 172 + j 62 \text{ MVA}$$

$$\left. \begin{array}{l} P_2 = 172 \text{ MW} \\ Q_2 = 62 \text{ MVAR} \end{array} \right\} \quad \varphi_2 = \arctg \frac{Q_2}{P_2} = 19,8^\circ \quad \text{d'où } \cos \varphi_2 = 0,9$$

Calcul de la chute de tension :

$$|\Delta U|_{\mu} = |\bar{U}_1|_{\mu} - |\bar{U}_2|_{\mu} = 127 - 114 = 13 \text{ KV}$$

d'où $|\Delta U| = 13 \text{ KV}$

$$\text{d'où } |\Delta U| \% = \frac{|\Delta U|}{|\bar{U}_1|} \cdot 100 = \frac{13}{127} \cdot 100 = 10,2 \%$$

d'où $|\Delta U| \% = 10,2 \%$

Calcul de la chute de puissance :

$$\Delta P = P_1 - P_2 = 180 - 172 = 8 \text{ MW}$$

$$\Delta P \% = \frac{P_1 - P_2}{P_1} \cdot 100 = 4,4\%$$

d'où $\Delta P \% = 4,4\%$

Calcul du rendement :

$$\gamma = \frac{P_2}{P_1} = \frac{172}{180} = 0,956$$

d'où $\gamma \% = 95,6\%$

4. Comparaison des résultats trouvés :

Toutes les valeurs entrant dans la comparaison sont contiguëes dans le tableau ci-dessous :

Câble 288 mm ²	Câble 411 mm ²
$P_i = 180 \text{ MW}$	
$I_{adm} = 525 \text{ A}$	$I_{adm} = 620 \text{ A}$
$\Delta U = 11,8 \%$	$\Delta U = 10,2 \%$
$\Delta P = 6,1 \%$	$\Delta P = 4,4 \%$
$P_{jet} = 10,2 \text{ MW}$	$P_{jet} = 7,2 \text{ MW}$
$P_{ob} = 632 \text{ KW}$	$P_{ob} = 33 \text{ KW}$
$\gamma = 93,8 \%$	$\gamma = 95,6 \%$

D'après les résultats énoncés dans ce tableau, on voit bien que, pour cette puissance que la SONELGAZ se propose de transmettre, le câble 288 mm² est à la limite d'utilisation. De plus les pertes d'énergie sont plus élevées dans le cas du câble 288 mm² que dans celui du câble 411 mm².

Par conséquent, et en vertu de tout ce qui a été dit dans les chapitres précédents, il est plus intéressant d'adopter le câble 411 mm² pour la construction de la ligne 220 KV. M'sla - Bouira.

3^{eme} PARTIE

Aspects Mecaniques D'une
Ligne Aerienne HT

Generalités

Les divers éléments d'une ligne doivent être calculés pour pouvoir résister, avec les coefficients de sécurité imposés par le cahier des charges, aux efforts mécaniques qui leur sont appliqués sous l'influence des agents extérieurs. Parmi ces derniers nous retiendrons principalement l'effet du vent, du givre et des variations de la température. Chacun de ces trois agents atmosphériques peut devenir dangereux pour une exploitation normale de la ligne.

Il est donc nécessaire de réunir toutes les données pratiques servant de base à cette étude mécanique. Nous entendons par données pratiques : un ensemble de conditions d'environnement pouvant agir, en même temps ou séparément, sur les conducteurs. On les appellera hypothèses d'état imposées par le cahier des charges et énoncées comme suit :

- L'hypothèse EDS 20% :

température $\theta = 30^\circ\text{C}$ sans vent

traction maximale 20% de la charge à la capture.

- L'hypothèse normale d'été :

température $\theta = 30^\circ\text{C}$

pression du vent 48 cpz (48 daN/m^2), coefficient de sécurité 3.

- L'hypothèse normale d'hiver :

température $\theta = -5^\circ\text{C}$

pression du vent 18 cpz ; coefficient de sécurité 3.

- L'hypothèse exceptionnelle d'hiver :

température $\theta = -5^\circ\text{C}$

pression du vent 72 cpz sur conducteur nu.

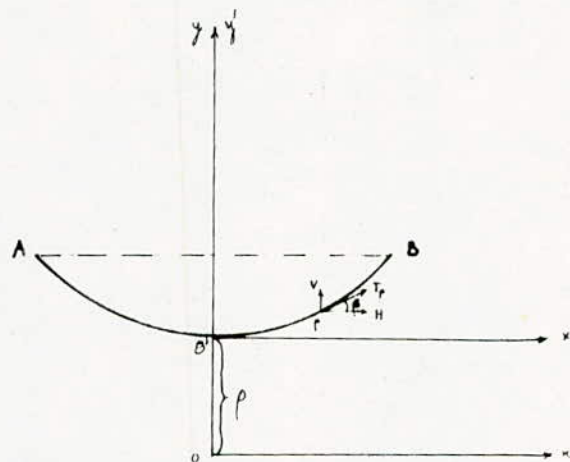
Surcharge de givre : 2, 4 ou 6 Kg/m pour câble de phase et 1,2 Kg/m pour câble de garde.

Coefficient de sécurité 1,75.

Fondements théoriques du Calcul mécanique.

Dans le calcul relatif aux conducteurs, on doit résoudre deux différents problèmes. Dans un premier temps on doit s'occuper du calcul des formules fondamentales et dans un second temps, s'occuper du calcul de la tension dans une hypothèse déterminée en partant de la tension comme du même conducteur dans une autre hypothèse.

1^{er}. Équation d'équilibre de la chaînette :



Considérons un conducteur suspendu entre deux points d'appui A et B situés à un même niveau, (terrain sans dénivellation). En outre pour des raisons de commodité de calcul on suppose que le conducteur de section constante est homogène (c'est à dire que le poids propre est uniformément répartie sur toute la longueur), inextensible et flexible.

Soit T_p : la tension dans le conducteur au point p quelconque de la corde. Cette tension comme l'indique le schéma ci-dessus aura deux composantes dont l'une horizontale H et l'autre verticale V . La longueur de l'arc $O'P$ sera représentée par l .

Soit enfin μ la charge linéaire du conducteur.

On peut d'après la figure ci-dessus écrire que :

$$\operatorname{tg} \rho = \frac{V}{H} \quad (1)$$

$$\text{d'autre part } V = \mu \cdot l \quad (2) \quad \text{donc } \operatorname{tg} \rho = \frac{\mu \cdot l}{H}.$$

On voit que, d'après la relation (1), la forme de la corde reste inchangée en faisant varier proportionnellement V et H en même temps. Par conséquent pour une même longueur d'arc l , on

peut toujours obtenir le même résultat en changeant proportionnellement μ et H . On peut alors écrire que:

$$H = \rho \mu \quad (3) \quad \text{avec } \rho \text{ un facteur de proportionnalité que l'on appellera paramètre de la courbe.}$$

$$\text{L'expression (1) devient alors } \operatorname{tg} \beta = \frac{\mu l}{\rho \cdot \mu} \quad \text{d'où il vient:} \quad \operatorname{tg} \beta = \frac{l}{\rho} \quad (4)$$

La tangente de l'angle β de la courbe par rapport à l'axe On est proportionnelle à l'arc considéré. En dérivant l'expression (4) on aura:

$$\frac{d}{dx}(\operatorname{tg} \beta) = \frac{d}{dx}\left(\frac{l}{\rho}\right)$$

$$\text{par ailleurs, } \operatorname{tg} \beta = \frac{dy}{dx} \quad \text{d'où} \quad \frac{d}{dx}\left(\frac{dy}{dx}\right) = \frac{1}{\rho} \frac{dl}{dx}$$

$$\frac{d^2y}{dx^2} = \frac{1}{\rho} \frac{dl}{dx} \quad (5)$$

$$\text{ou } dl^2 = dx^2 + dy^2 \quad \text{ce qui donne} \quad dl = \sqrt{dx^2 + dy^2}$$

$$dl = \sqrt{dx^2 \left(1 + \frac{dy^2}{dx^2}\right)}$$

$$\text{d'où } dl = dx \sqrt{1 + \left(\frac{dy}{dx}\right)^2}$$

$$\text{il vient: } \frac{dl}{dx} = \sqrt{1 + \left(\frac{dy}{dx}\right)^2}$$

En substituant cette valeur dans l'expression (5) on obtient une équation différentielle:

$$\frac{d^2y}{dx^2} = \frac{1}{\rho} \cdot \sqrt{1 + \left(\frac{dy}{dx}\right)^2} \quad (6)$$

Et la solution de cette équation sera: $y = \frac{\rho}{2} \left(e^{\frac{x}{\rho}} + e^{-\frac{x}{\rho}}\right) = \rho \operatorname{ch} \frac{x}{\rho}$

Faisons un développement en séries de $\operatorname{ch} \frac{x}{\rho}$:

$$\operatorname{ch} \frac{x}{\rho} = 1 + \frac{x^2}{2\rho^2} + \frac{x^4}{24\rho^4} + \varepsilon \left(\frac{x^4}{24\rho^4}\right).$$

$$\text{d'où } y = \rho \operatorname{ch} \frac{x}{\rho} = \rho + \frac{x^2}{2\rho} + \frac{x^4}{24\rho^3} + \varepsilon \left(\frac{x^4}{24\rho^3}\right).$$

$$\text{En s'arrêtant au deuxième ordre du développement en série: } y = \rho + \frac{x^2}{2\rho}.$$

Faisons un changement d'origine. Les coordonnées de ρ par rapport à la nouvelle origine O' sont:

$$x' = x$$

$$y' = y - \rho$$

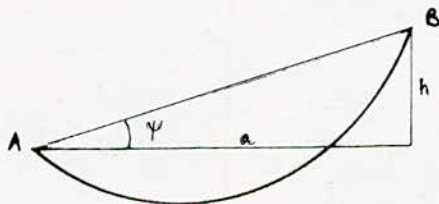
$$\text{d'où } y' = \rho + \frac{x'^2}{2\rho} - \rho$$

$$\text{donc } y' = \frac{x'^2}{2\rho}$$

On reconnaît là l'équation d'une parabole.

De cette façon, pour la pratique d'utilisation des formules de calcul on substituera dans tout ce qui suit, la parabole à la chaînette. Cette approximation est parfaitement justifiée même pour les grandes portées.

b). Équation d'équilibre de la corde prise par un fil tendu entre deux points de niveaux différents:



l'équation $y = \frac{x^2}{2p}$ qu'on a vu dans le paragraphe précédent s'applique même aux conducteurs dont les points d'appui sont légèrement dénivélés.

Lorsque la dénivellation devient importante, sans que la portée soit trop grande c'est-à-dire ne dépasse pas 500 m environ, l'équation devient alors:

$$y = \frac{x^2}{2p \cos \Psi} \quad \text{avec} \quad \Psi = \arctg \frac{h}{a}.$$

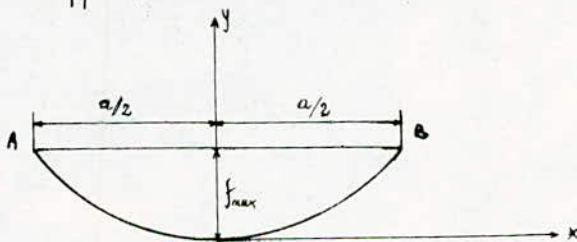
2^e. Établissement des formules fondamentales:

a). Flèche d'un conducteur:

C'est la distance entre la ligne reliant les points d'attache du conducteur et un point quelconque de celui-ci. La flèche aura une valeur maximale au milieu de la distance entre les deux points d'appui.

La flèche s'obtient en fraction de la portée. Nous allons considérer deux cas:

1^e cas: les deux points d'appui sont au même niveau:



On a vu dans ce qui précéde que l'équation de cette parabole était: $y = \frac{x^2}{2p}$ (1)

La valeur maximale de la flèche sur l'ordonnée y_{max} qui s'obtient en faisant $\frac{\partial y}{\partial x} = 0$ dans l'équation

$$(1) \quad x = \frac{a}{2} \quad \text{d'où} \quad y_{max} = \frac{a^2}{8p}.$$

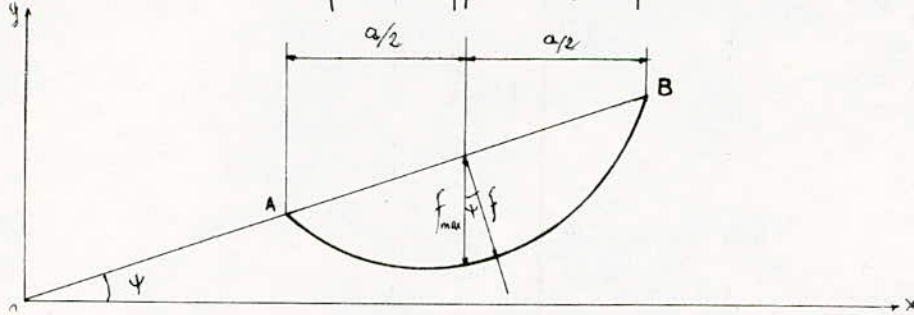
D'où l'expression de la flèche maximale: $f_{max} = \frac{a^2}{8p}$.

Le résultat n'est valable que pour des petites portées car en faisant le develop-

-pement en series de p ch $\frac{x}{l}$, on a uniquement pris le premier terme de celui-ci. L'erreur qu'on commet n'est pas tellement appréciable. En réalité, pour de grandes portées, cette erreur devient importante au sens qu'on ne peut plus négliger le deuxième voire même le troisième terme du développement. D'où l'expression de la flèche devient dans ce cas :

$$f = \frac{a^2}{8\rho} + \frac{a^4}{384\rho^3}$$

2^e cas : les deux points d'appui ne sont pas aux mêmes niveaux :



De la même façon d'après la figure ci-dessus on a : $f = f_{\max} \cos \psi$

$$\text{d'où } f_{\max} = \frac{f}{\cos \psi}$$

là aussi, pour de petites portées et faibles dénivellations, en remplaçant f par sa valeur $\frac{a^2}{8\rho}$ alors la flèche maximale devient : $f = \frac{a^2}{8\rho \cos \psi}$.

Par contre dans le cas des grandes portées et fortes dénivellations on aura de la même façon :

$$f_{\max} = \frac{f}{\cos \psi}$$

$$\text{d'où } f = \left(\frac{a^2}{8\rho} + \frac{a^4}{384\rho^3} \right) \cdot \frac{1}{\cos \psi}$$

On a pris uniquement, dans les deux cas, les deux premiers termes du développement en séries car, en général dans la pratique, on évite les très grandes portées et les très fortes dénivellations ; on recherche toujours les moindres difficultés pour la construction.

b) longueur du conducteur entre les deux points d'appui :

C'est une grandeur importante surtout dans le cas des très grandes portées où le conducteur est spécialement commandé. Les jumelles n'étant pas permises il est donc nécessaire d'avoir une longueur suffisante. Là aussi nous considérons deux cas :

1^e cas : les deux points d'appui sont au même niveau :

Dans ce cas la longueur de la chaînette s'obtient en intégrant un élément différentiel de longueur dl . On a déjà vu dans ce qui précédent que :

$$dl = dx \sqrt{1 + \left(\frac{dy}{dx} \right)^2}$$

comme $y = p \operatorname{ch} \frac{x}{p}$ alors $\frac{dy}{dx} = -\frac{\operatorname{sh} \frac{x}{p}}{p}$

$$\text{donc } dl = dx \sqrt{1 + \operatorname{sh}^2 \frac{x}{p}} = dx \sqrt{\operatorname{ch}^2 \frac{x}{p}} = \left| \operatorname{ch} \frac{x}{p} \right| dx$$

$$\text{donc } l = 2 \int_0^{a/2} \left| \operatorname{ch} \frac{x}{p} \right| dx \Rightarrow l = 2 \int_0^{a/2} \operatorname{ch} \frac{x}{p} dx = 2p \operatorname{sh} \frac{a}{2p}$$

$$\text{donc } l = 2p \operatorname{sh} \frac{a}{2p}$$

En faisant un développement en séries de $\operatorname{sh} \frac{a}{2p}$ on obtient:

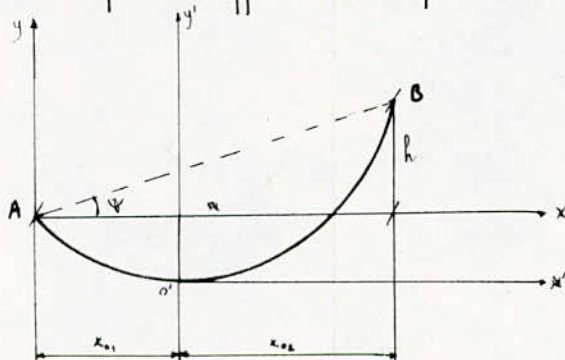
$$\operatorname{sh} \frac{a}{2p} = \frac{a}{2p} + \frac{a^3}{48p^3} + \varepsilon \left(\frac{a^5}{48p^5} \right)$$

$$\text{alors } l = 2p \left[\frac{a}{2p} + \frac{a^3}{48p^3} + \varepsilon \left(\frac{a^5}{48p^5} \right) \right]$$

$$\text{d'où on obtient en gardant les 2 premiers termes: } l = a + \frac{a^3}{64p^2}$$

$$\text{Si on exprime la longueur en fonction de la flèche: } l = a + \frac{8f^2}{3a}$$

2^e cas: les deux points d'appui ne sont pas au même niveau :



En faisant le changement d'axe indiqué sur la figure ci-dessus on arrive à:

$$x = x' + x_0$$

$$y = y' + y_0$$

$$\text{avec } y = \frac{x^2}{2p} \text{ et } y_0 = \frac{x_0^2}{2p}$$

Pour $y = h$ et $x = a$, l'équation obtenue $y = \frac{x^2}{2p} - \frac{x_0 x}{p}$ doit être vérifiée.

Donc pour ces deux coordonnées on aura:

$$h = \frac{a^2}{2p} - \frac{x_0 a}{p} \quad \text{d'où} \quad x_{01} = \frac{a}{2} - p \frac{h}{a}$$

Cette relation nous donne la distance entre le point le plus bas de la courbe et l'appui le plus bas. Par le même raisonnement on aura la distance entre le point le plus bas de la courbe et l'appui le plus haut: $x_{02} = \frac{a}{2} + p \frac{h}{a}$.

La longueur totale de l'arc dans ce cas sera la somme des deux arcs $O'A$ et $O'B$.

$$l_c = l_1 + l_2$$

$$\text{et comme } l = a + \frac{a^3}{24\rho^2}$$

$$\text{par analogie } l_1 = x_{o_1} + \frac{x_{o_1}^3}{24\rho^2} \text{ et } l_2 = x_{o_2} + \frac{x_{o_2}^3}{24\rho^2}$$

En substituant x_{o_1} et x_{o_2} par leurs valeurs on aura :

$$l_1 = \frac{a}{2} - \rho \frac{h}{a} + \frac{1}{24\rho^2} \left(a - \rho \frac{h}{a} \right)^3$$

$$l_2 = \frac{a}{2} + \rho \frac{h}{a} + \frac{1}{24\rho^2} \left(a + \rho \frac{h}{a} \right)^3$$

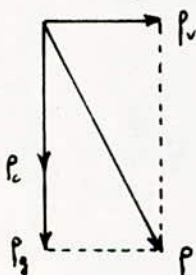
$$\text{d'où } l_c = l_1 + l_2 = a + \frac{h^2}{2a} + \frac{a^3}{24\rho^2}$$

$$\text{Donc la longueur totale de l'arc sera : } l = a + \frac{h^2}{2a} + \frac{a^3}{24\rho^2}$$

c). Coefficient de surcharge :

Mis à part son propre poids, le conducteur est soumis à des charges supplémentaires (dites éventuellement au vent et au dépot de givre) qu'on appelle surcharges. En considérant que celles-ci sont uniformément réparties le long du conducteur, on peut déterminer une charge équivalente rapportée au poids propre de ce dernier. Cette charge rapportée au poids propre, sera donc appelée coefficient de surcharge que l'on désignera par : m

En schématisant les forces qui peuvent s'exercer en un point p quelconque du conducteur on aura :



avec P_v la surcharge unitaire due au vent (Kg/m).
 P_c poids propre unitaire du conducteur (Kg/m).
 P_g poids unitaire du givre (Kg/m).
 P le poids total unitaire. (Kg/m)

$$\text{On a alors } P^2 = P_v^2 + (P_c + P_g)^2$$

$$\text{d'où } P = \sqrt{P_v^2 + (P_c + P_g)^2}$$

Le coefficient de surcharge m sera défini comme le rapport du poids total unitaire sur le poids unitaire du conducteur :

$$m = \frac{P}{P_c}$$

$$\text{d'où } m = \frac{\sqrt{P_v^2 + (P_c + P_g)^2}}{P_c}$$

$$\text{et } P = m P_c$$

3: Équation de changement d'état d'un conducteur :

a). Conducteur entre deux points d'appui au même niveau :

Nous définissons l'état initial par :

θ_0 la température.

T_0 la tension totale.

l_0 la longueur du conducteur entre les deux points d'appui.

p_{c0} le poids propre du conducteur.

m_0 le coefficient de surcharge.

De la même façon l'état final par :

θ la température.

T la tension totale.

l la longueur du conducteur entre les deux points d'appui.

p_c le poids propre du conducteur.

m le coefficient de surcharge.

Désignons par α le coefficient de dilatation du métal constituant le conducteur. Sous l'influence du changement de température ($\theta - \theta_0$), le conducteur ayant la longueur l_0 à la température θ_0 ; prend donc à la température θ , une longueur égale par définition à :

$$l_0 + l_0 \alpha (\theta - \theta_0) = l$$

On dira alors que le conducteur a subi un allongement thermique.

D'autre part, comme le conducteur est fixé à ses deux extrémités, son allongement modifiera simplement la tension T_0 en une tension T .

Désignons par E le module de Young du métal constituant le conducteur. Sous l'influence d'une variation de la tension ($T - T_0$), la longueur subira un allongement élastique, par définition égal à :

$$l_0 \left(\frac{T - T_0}{E} \right)$$

Il en résulte donc un allongement ($l - l_0$) dû à l'influence simultanée de la variation de la température et de la variation de la tension, égal à :

$$l - l_0 = l_0 \alpha (\theta - \theta_0) + l_0 \left(\frac{T - T_0}{E} \right) \quad (1)$$

Pour ailleurs on a exprimé la longueur par : $l = \alpha \left(1 + \frac{\alpha^2}{24 \rho^2} \right)$.

et comme $\rho = \frac{T}{p}$ ($\frac{\text{tension totale}}{\text{poids total}}$)

$$\text{on a ici } \rho = \frac{T}{m p_c} \quad \text{d'où} \quad \frac{1}{\rho} = \frac{m p_c}{T}$$

$$l = \alpha \left(1 + \frac{\alpha^2}{24 \rho^2} \right)$$

$$\text{d'où} \quad \frac{l}{\alpha} = 1 + \frac{\alpha^2 m^2 p_c^2}{24 T^2}$$

$$l_0 = a \left(1 + \frac{a^2}{24 \rho^2} \right) \quad \text{d'où} \quad \frac{l_0}{a} = 1 + \frac{a^2 m_0^2 p_0^2}{24 T_0^2}$$

l'allongement s'exprimera alors suivant l'équation:

$$\frac{l}{a} - \frac{l_0}{a} = \left(1 + \frac{a^2 m_0^2 p_0^2}{24 T^2} \right) - \left(1 + \frac{a^2 m_0^2 p_0^2}{24 T_0^2} \right) = \frac{a^2}{24} \left(\frac{m_0^2 p_0^2}{T^2} - \frac{m_0^2 p_0^2}{T_0^2} \right) \quad (2)$$

En divisant l'équation (1) par a et en l'égalisant avec la (2) on obtient:

$$\frac{l_0}{a} \alpha (\theta - \theta_0) + \frac{l_0}{a} \cdot \frac{(T - T_0)}{E} = \frac{a^2}{24} \left(\frac{m_0^2 p_0^2}{T^2} - \frac{m_0^2 p_0^2}{T_0^2} \right) \quad (3)$$

En considérant que l'allongement relatif est négligeable on aura donc: $\frac{l_0}{a} \approx 1$. Cette approximation faite on obtient:

$$\alpha (\theta - \theta_0) + \frac{(T - T_0)}{E} = \frac{a^2}{24} \left(\frac{m_0^2 p_0^2}{T^2} - \frac{m_0^2 p_0^2}{T_0^2} \right) \quad (3')$$

En développant l'expression (3') on obtient l'équation donnant la tension totale à l'état final connaissant la tension à l'état initial.

$$T^3 + T^2 \left[\alpha E (\theta - \theta_0) + \frac{\alpha^2 m_0^2 p_0^2}{24 T_0^2} E - T_0 \right] = \frac{\alpha^2 m_0^2 p_0^2}{24} E \quad (4)$$

b). Conduite entre deux points d'appui de niveaux différents :

Nous garderons les mêmes notations que dans le cas précédent et proposons-nous d'établir l'équation de changement d'état dans ce cas. Notons par ailleurs que la tension n'est plus ce qu'elle était dans le cas précédent, en réalité cette valeur T est augmentée du produit ρy . (ρ le poids total et y l'ordonnée.). Il est donc plus raisonnable de parler de tension moyenne:

$$T_m \approx \frac{T}{\cos \psi} = T + T \frac{h^2}{2a^2} + \frac{a^2}{24} \rho \quad (1)$$

On a vu également que dans un tel cas: $l = a \left(1 + \frac{h^2}{2a^2} + \frac{a^2}{24 \rho^2} \right)$ et $l_0 = a \left(1 + \frac{h^2}{2a^2} + \frac{a^2}{24 \rho_0^2} \right)$

$$\text{d'où} \quad l - l_0 = a \cdot \frac{a^2}{24} \left(\frac{m_0^2 p_0^2}{T^2} - \frac{m_0^2 p_0^2}{T_0^2} \right) \quad (2)$$

D'autre part comme $a = a_0 \cos \psi$:

$$l - l_0 = a_0 \cos \psi \cdot \frac{a^2}{24} \left(\frac{m_0^2 p_0^2}{T^2} - \frac{m_0^2 p_0^2}{T_0^2} \right)$$

$$\text{d'où} \quad \frac{l}{a_0} - \frac{l_0}{a_0} = \cos \psi \cdot \frac{a^2}{24} \left(\frac{m_0^2 p_0^2}{T^2} - \frac{m_0^2 p_0^2}{T_0^2} \right) = \frac{l_0}{a_0} \alpha (\theta - \theta_0) + \frac{l_0}{a_0} \cdot \frac{(T_m - T_{m_0})}{E}$$

or comme $\frac{l_0}{a_0} \approx 1$ et que $T_m = \left(1 + \frac{h^2}{2a^2} \right) T$

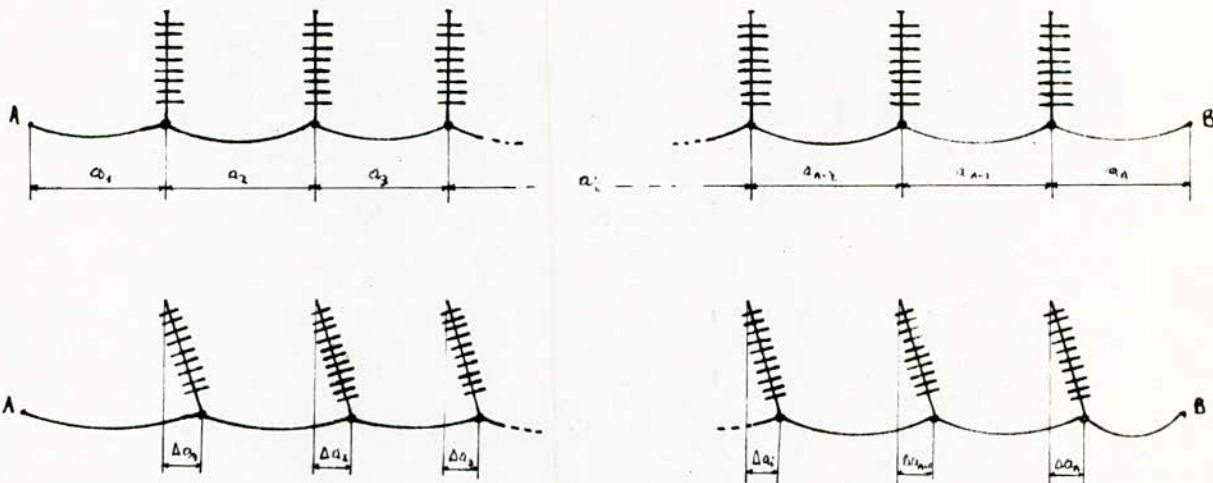
$$\text{on aura:} \quad \cos \psi \cdot \frac{a^2}{24} \left(\frac{m_0^2 p_0^2}{T^2} - \frac{m_0^2 p_0^2}{T_0^2} \right) = \alpha (\theta - \theta_0) + \left(1 + \frac{h^2}{2a^2} \right) \cdot \frac{(T - T_0)}{E} \quad (3)$$

donc en développant cette équation on obtient celle de changement d'état:

$$\left(1 + \frac{h^2}{2a^2}\right) T^3 + T^2 \left[\alpha E(\theta - \theta_0) + \frac{\alpha^2 m^2 p_0^2}{24 T_0^2} \cos \psi - \left(1 + \frac{h^2}{2a^2}\right) T_0 \right] = \frac{\alpha^2 m^2 p_0^2}{24} E \cos \psi.$$

4. Généralisation de l'équation de changement d'état d'un conducteur.

Jusqu'ici nous avons exprimé l'équation de changement d'état pour une seule portée entre deux points d'appui rigoureusement fixes. En réalité nous avons plusieurs portées entre deux ouvrages. Entre ces deux ouvrages la ligne est équipée en alignement avec des pylônes munis de chaînes de suspension. L'extrémité inférieure des chaînes de suspension sera donc libre de se mouvoir à la suite d'une différence de tension des portées adjacentes.



Considérons comme l'indique le schéma ci-dessus une suite de n portées entre deux ouvrages A et B. Nous garderons les mêmes notations que dans les cas particuliers d'une seule portée simple.

a). Cas des portées de niveau:

Désignons par a_1, a_2, \dots, a_n cette suite de portées inégales et par $\sum_{i=1}^n a_i$ la somme des cubes des portées ainsi que $\sum_{i=1}^n a_i$ la somme des portées.

Le principe de calcul reste le même sauf que : au lieu de l'on aura $\sum_{i=1}^n a_i$.

L'allongement élastique s'écrit: $\sum_{i=1}^n a_i \frac{(T - T_0)}{E}$.

L'allongement thermique s'écrit: $\sum_{i=1}^n a_i \alpha (\theta - \theta_0)$.

Nous l'équation d'état:

$$\sum_{i=1}^n a_i \left(\frac{m^2 p_0^2}{24 T^2} - \frac{m_0^2 p_0^2}{24 T_0^2} \right) = \sum_{i=1}^n a_i \alpha (\theta - \theta_0) + \sum_{i=1}^n a_i \frac{(T - T_0)}{E}$$

On obtient alors: $T^3 + T^2 \left[\alpha E(\theta - \theta_0) + \frac{m^2 p_0^2}{24 T_0^2} E \cdot \frac{\sum a_i^3}{\sum a_i} - T_0 \right] = \frac{m^2 p_0^2}{24} E \frac{\sum a_i^3}{\sum a_i}$

b). Cas des portées dénivellées:

Par analogie au cas d'une portée simple on peut résumer l'équation de changement d'état à:

$$\frac{\sum a_i^3 \cos \psi}{\sum a_i} \left[\frac{m^2 p_0^2}{24 T^2} - \frac{m_0^2 p_0^2}{24 T_0^2} \right] = \alpha (\theta - \theta_0) + \frac{(T - T_0)}{E} \cdot \frac{\sum a_i (1 + h^2/a_i)}{\sum a_i}$$

On arrive à l'équation finale en posant $a_{im}^i = \frac{\sum a_i^3 \cos \psi}{\sum a_i}$
et $\mu_i = \frac{\sum a_i \left(1 + h^2/a_i\right)}{\sum a_i}$

d'où : $\mu_i T^3 + T^2 \left[dE(\theta - \theta_0) + \frac{m_i^2 h^2}{24 T_0} E a_{im}^i - \mu_i T_0 \right] = \frac{m_i^2 h^2}{24} E a_{im}^i$

Remarque :

Dans toutes ces formules exprimant la tension totale dans un état quelconque au départ de l'état initial, il est nécessaire de noter qu'elles peuvent se mettre sous la forme $T^2(T + A) = B$. Cette dernière expression se prête assez facilement à la résolution par itération pour trouver la valeur de T .

La répartition.

1. La répartition et ses problèmes:

Pour pouvoir faire la répartition des pylônes le long de la ligne, il faut d'abord disposer du profil topographique de la ligne. Ces profils doivent comporter les renseignements suivants:

- Echelles: 1: 2000 pour les longueurs.
1: 500 pour les hauteurs.

- Détails de planimétrie: ils seront portés au moins sur 50 m de part et d'autre de l'axe de la ligne. La planimétrie doit aussi indiquer les ouvrages traversés et les renommer avec leur P.H et P.K. (entreprises, voies ferrées, route nationale, bâtiments à usage divers et...).

- Détails d'altimétrie: l'altimétrie doit indiquer de manière précise la hauteur de tous les ouvrages croisés (lignes HT, MT, BT, lignes PTT etc...).

Le profil topographique est le résultat d'une procédure assez longue qui est la suivante:

a). Etude topographique:

Pendant que se déroule l'enquête sur le tracé de la ligne dont l'aboutissement demande plusieurs mois, l'étude topographique commence dès qu'est obtenue l'arrêté de péénétration dans les propriétés, délivré par l'administration. Il est préférable de faire faire cette étude par un géomètre connaissant les problèmes liés à la construction d'une ligne électrique aérienne.

b). Balisage sommaire:

Un premier balisage est effectué par le géomètre de manière à matérialiser sur le terrain le tracé de principe de la ligne figurant sur la carte qui lui a été remise.

Le balisage sommaire permet de s'assurer que ce tracé satisfait à certaines exigences à savoir:

- une distance minimale de 150 m par rapport aux agglomérations et de 40 m par rapport aux habitations isolées.

c). Balisage définitif:

Une fois le balisage sommaire accepté (après avoir subi ou non des modifications proposées par le géomètre), on passe au balisage définitif de la ligne. Il s'agira alors de la matérialisation effective du tracé sur le terrain et non d'une ébauche. On doit à ce moment la respecter certaines règles très importantes concernant:

- les traversées.

- Le parallélisme avec les lignes téléphoniques.
- Le parallélisme avec des canalisations.
- Les propriétés closes...
- L'emplacement des pylônes d'angle.
- Les traversées des vallées et cours d'eau.

2. Choix du paramètre de répartition:

Dès que l'on dispose du profil topographique contenant tous les renseignements que l'on veut déterminer, on procède à la répartition des pylônes le long du tracé de la ligne.

Le choix du paramètre de répartition se fait à partir des différentes hypothèses d'état dont on a déjà fait mention.

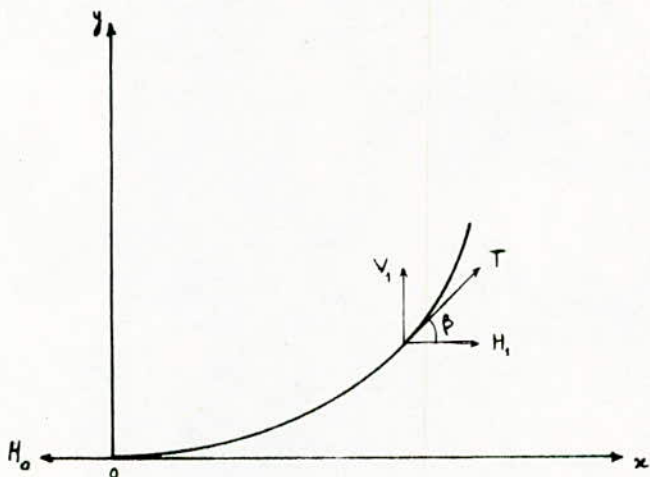
a). Définition mathématique du paramètre de répartition:

Soit ρ_c le poids propre unitaire du conducteur (Kg/m).

s_c la section du conducteur (mm^2).

w_0 le poids spécifique unitaire (Kg/m.mm^2).

t_0 la tension unitaire horizontale dans le conducteur (Kg/mm^2) et l la longueur en (m).



$$H_1 = H_0 - s_0 t_0$$

$$V_1 = \rho_c l$$

$$\tan \beta = \frac{l}{s_0 t_0} = \frac{V_1}{H_1} = \frac{\rho_c l}{s_0 t_0}$$

$$\text{ou } \rho_c = w_0 s_0$$

$$\text{donc on arrive à } \frac{1}{\rho} = \frac{\rho_c}{s_0 t_0} = \frac{w_0 s_0}{s_0 t_0} \quad \text{d'où} \quad \rho = \frac{t_0}{w_0}$$

On voit immédiatement que ρ est fonction de la tension car w_0 étant constant.

b). Etude des courbes des variations des portées limites en fonction du paramètre de répartition.

Ces variations se font pour des tractions ne dépassant pas les tractions maximales.

Le paramètre de répartition représente le conducteur à un état considéré initial ($\theta = 50^\circ\text{C}$, sans vent ni givre), quand les flèches ont les grandes valeurs avec des gardes au sol les plus petites. (ces dernières sont imposées par le cahier des charges à 7 m).

En effet il s'agit de trouver les portées maximales pour lesquelles on atteint les tensions

maximales admissibles le paramètre de répartition étant variable.

Nous faisons donc ce calcul pour le conducteur choisi c'est à dire 411 mm^2 . Alors nous devons faire l'hypothèse d'état et nous obtiendrons un ensemble de courbes que l'on appelle : courbes d'utilisation du conducteur.

D'après les équations de changement d'état données dans le chapitre précédent on peut exprimer la tension totale en fonction de la tension unitaire horizontale t ainsi l'équation de changement d'état devient :

$$t^3 + t^2 \left[\alpha E (\Theta - \Theta_0) + \frac{\alpha^2 m_0^2 w_0^2 E}{24 t_0^2} - t_0 \right] = \frac{\alpha^2 m_0^2 w_0^2 E}{24} \quad (1)$$

avec t la tension horizontale unitaire à l'état final

t_0 " " " " " initial

En développant donc l'expression (1) et en séparant les termes de α^2 on obtient :

$$\alpha^2 w_0^2 E (t^2 m_0^2 - t_0^2 m_0^2) = 24 t_0^2 t^2 [t_0 - \alpha E (\Theta - \Theta_0) - t]$$

$$\text{d'autre part comme : } \rho = \frac{t_0}{w_0} \quad \text{d'où} \quad t_0 = \rho w_0$$

$$\text{d'où} \quad \alpha^2 w_0^2 E (t^2 m_0^2 - \rho^2 w_0^2 m^2) = 24 \rho^2 w_0^2 t^2 [\rho w_0 - \alpha E (\Theta - \Theta_0) - t]$$

$$\text{d'où la valeur de : } \alpha^2 = \frac{24 \rho^2 t^2 [\rho w_0 - \alpha E (\Theta - \Theta_0) - t]}{E (t^2 m_0^2 - \rho^2 w_0^2 m^2)}$$

d'où :

$$\alpha = \rho t \sqrt{\frac{24}{E}} \cdot \sqrt{\frac{\rho w_0 - \alpha E (\Theta - \Theta_0) - t}{m_0^2 t^2 - \rho^2 w_0^2 m^2}} \quad (2)$$

puissons alors

$$A = \rho t \sqrt{\frac{24}{E}}$$

$$B = \rho w_0 - \alpha E (\Theta - \Theta_0) - t$$

$$C = m_0^2 t^2 - \rho^2 w_0^2 m^2$$

On peut cependant écrire que

$$\alpha = A \sqrt{\frac{B}{C}}$$

De là on peut alors α en fonction du paramètre aux différentes hypothèses :

- hypothèse EDS 20% : avec coefficient de sécurité 3.

l'état initial sera défini par $\Theta_0 = 50^\circ$.

$$m_0 = 1$$

$$t_0 = \rho w_0$$

l'état final par : $\Theta = 30^\circ$

$$m = 1$$

$$t_{\max} = \frac{16500 \times 0,6}{411} = 8,03 \text{ kg/mm}^2$$

comme on a exprimé :

$$t = 0,95 t_{\max} = 7,63 \text{ kg/mm}^2$$

Remarque:

On a pris $t = 0,95 t_{\max}$ pour tenir compte du fait que la tension unitaire horizontale est inférieure à la tension aux points d'appui.

On a alors pour $\alpha=0 \quad B=0$

$$\text{d'où } \rho w_0 - \alpha E(\theta - \theta_0) t = 0 \quad \text{alors } \rho_0 = \frac{\alpha E (\theta - \theta_0)}{w_0}$$

$$\text{Le calcul donne } \rho_0 = 1294 \text{ m}$$

De la même façon on dira que $\alpha \rightarrow +\infty$ quand $C \rightarrow 0$

$$\text{d'où } t^e - \rho^2 w_0^2 = 0 \quad \text{alors } \rho_\infty = \frac{t}{w_0}$$

$$\text{Ce qui nous donne } \rho_\infty = 1967 \text{ m}$$

Maintenant on peut trouver α pour les différentes valeurs de ρ tel que $1294 \text{ m} \leq \rho \leq 1967 \text{ m}$.

Nous résumons donc ces valeurs en un tableau donnant α en fonction de ρ .

ρ (m)	1300	1400	1500	1600	1700	1800	1900
α (m)	53,3	91	139,4	180,6	249,3	362,1	646

- L'hypothèse normale d'été: coefficient de sécurité 3.

L'état initial sera défini par: $\theta_0 = 50^\circ$

$$m = 1$$

$$t_0 = \rho w_0$$

L'état final sera: $\theta = 30^\circ$

$$m = \frac{\sqrt{t_0^e + t_e}}{t_0} = 1,29$$

$$t_{\max} = \frac{16500}{3 \times 411} = 13,38 \text{ kg/mm}^2$$

$$t = 0,95 t_{\max} = 12,79 \text{ kg/mm}^2$$

Pour $\alpha = 0 \quad B = 0$

d'où par un calcul analogue au cas précédent on en déduit que $\rho_0 = 2523 \text{ m}$

De même $\alpha \rightarrow +\infty$ quand $C \rightarrow 0$ d'où $\rho_\infty = 2545 \text{ m}$

D'où le tableau donnant α en fonction de ρ tel que $2523 \text{ m} \leq \rho \leq 2545 \text{ m}$.

ρ (m)	2523	2530	2540	2545
α (m)	0	204,4	560,6	—

- L'hypothèse normale d'hiver: coefficient de sécurité 3.

L'état initial défini par: $\theta = 50^\circ$

$$m = 1$$

$$t_0 = \rho w_0$$

L'état final sera défini par: $\theta = -5^\circ$

$$m = \frac{\sqrt{P_v^2 + P_c^2}}{P_c} = 1,05$$

$$t_{max} = \frac{16500}{3 \cdot 411} = 13,38 \text{ Kg/mm}^2$$

$$t = 12,79 \text{ Kg/mm}^2$$

Pour $a=0$ $B=0$ d'où $p_0 = 1206 \text{ m}$

Pour $a \rightarrow \infty$ $C \rightarrow \infty$ d'où $p_{\infty} = 3137 \text{ m}$

Tableau donnant a en fonction de p tel que $1206 \text{ m} \leq p \leq 3137 \text{ m}$

$p(\text{m})$	1206	1300	1400	1500	1600	1700	1800	1900	2000	2100	2200	2300	2400	2500
$a(\text{m})$	0	46,1	78,8	98,1	123,7	150,7	179,2	210,6	245	283,7	326	374,8	431,5	498,8

- Hypothèse exceptionnelle d'hiver: coefficient de sécurité 1,75.

L'état initial est défini par: $\theta_0 = 50^\circ$

$$m_0 = 1$$

$$t_0 = p w_0$$

L'état final est défini par: $\theta = -5^\circ$

charge de 2 kg de gire.

$$m = \frac{\sqrt{(P_c + P_g)^2 + P_v^2}}{P_c} = 2,56$$

$$t_{max} = \frac{16500}{1,75 \cdot 411} = 22,94 \text{ Kg/mm}^2$$

$$t = 21,79 \text{ Kg/mm}^2$$

Pour $a=0$ $B=0$ d'où $p_0 = 3546 \text{ m}$

Pour $a \rightarrow \infty$ $C \rightarrow 0$ d'où $p_{\infty} = 2192 \text{ m}$

D'où le tableau donnant a en fonction de p tel que $3546 \text{ m} \geq p \geq 2192 \text{ m}$

$p(\text{m})$	2192	2200	2300	2400	2500	2600	
$a(\text{m})$	∞	326,3	858,2				

- Hypothèse exceptionnelle d'hiver: coefficient de sécurité 1,75.

L'état initial est défini par: $\theta_0 = 50^\circ$

$$m_0 = 1$$

$$t_0 = p w_0$$

L'état final par: $\theta = -5^\circ$

charge de 4 kg de gire

$$m = \frac{\sqrt{(P_c + P_g)^2 + P_v^2}}{P_c} = 3,72$$

$$t = 12,79 \text{ Kg/mm}^2$$

Pour $a=0$ $B=0$ d'où $\rho_0 = 3546 \text{ m}$

Pour $a \rightarrow +\infty$ $C \rightarrow 0$ d'où $\rho_0 = 1511 \text{ m}$

Le tableau suivant résume les valeurs de a tel que $1511 \text{ m} \leq \rho \leq 3546 \text{ m}$.

$\rho (\text{m})$	1511	1550	1600	1700	1800	1900	2000	2100	2200	2300	2400
$a (\text{m})$	∞	1029	682,9	475,9	390	339	304,2	277,6	256	237,3	221

Ainsi tous les tableaux que nous avons dressé ci-dessus donnant a en fonction de ρ , vont nous permettre de tracer toutes les courbes d'utilisation du conducteur Al-acier 40 mm^2 .

A partir de ces courbes et sachant qu'il faut tenir compte de l'hypothèse EDS 20% et d'une surcharge de gire de 2 Kg pour l'hypothèse exceptionnelle d'hiver, le paramètre que nous devons choisir doit se trouver à gauche de la courbe EDS 20% et à gauche de la courbe correspondant à l'hypothèse exceptionnelle d'hiver. D'autre part, en considérant que, les pylônes les moins sollicités (pylônes du type A) supportent une portée maximale de 540 m et qu'ils sont utilisés à 80% ou 85%, de leurs possibilités, la portée maximale que l'on peut choisir sera telle que $438 \text{ m} \leq a \leq 459 \text{ m}$.

En prenant la valeur $a = 459 \text{ m}$ l'hypothèse la plus stricte EDS 20% nous permet, d'après la courbe correspondante, de prendre $\rho = 1940 \text{ m}$. Ne disposant pas au maximum que du tableau $\rho = 1800 \text{ m}$ on a alors adopté comme paramètre de répartition: $\rho = 1800 \text{ m}$.

3^e. Types de pylônes utilisés:

Le long de la ligne BOUIRA - M'SILA nous avons fait la répartition avec le paramètre $\rho = 1800 \text{ m}$ et avons utilisé les pylônes de trois types différents que nous énumérons dans le tableau ci-dessous.

Dans ce tableau on désignera par: A les pylônes d'alignement.

B les pylônes d'angles faibles $\leq 20^\circ$

C les pylônes d'ouvrage et angles $> 20^\circ$

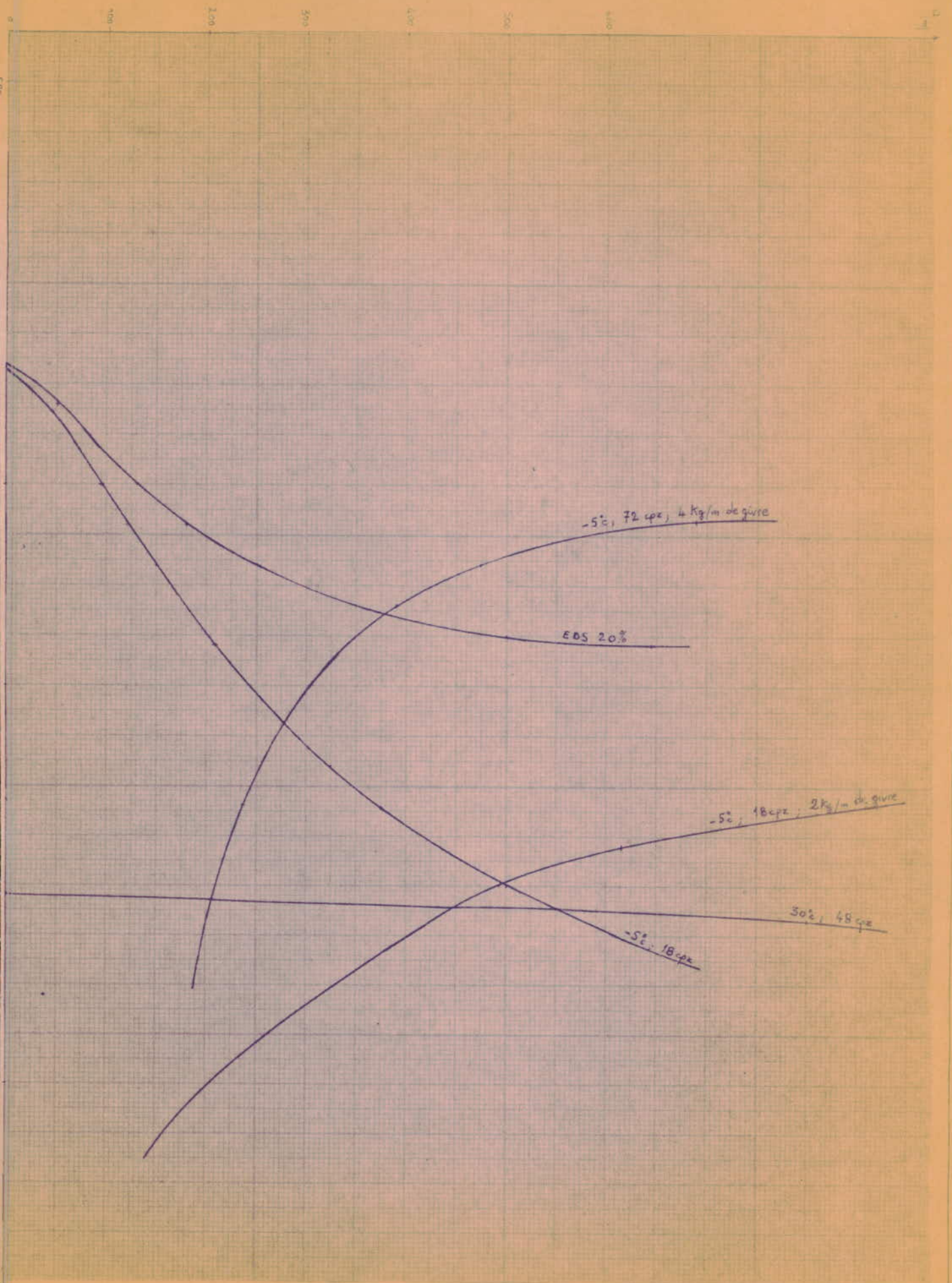
Chaque de ces trois types a une longueur standard x_0 , une longueur raccourcie notée XR_y et une longueur surélevée notée par XS_y , avec X désignant le type (A, B ou C) et y désignant la longueur en mètre qu'on a ajouté ou retranché au type x_0 ($y = 4, 8$ ou 12)

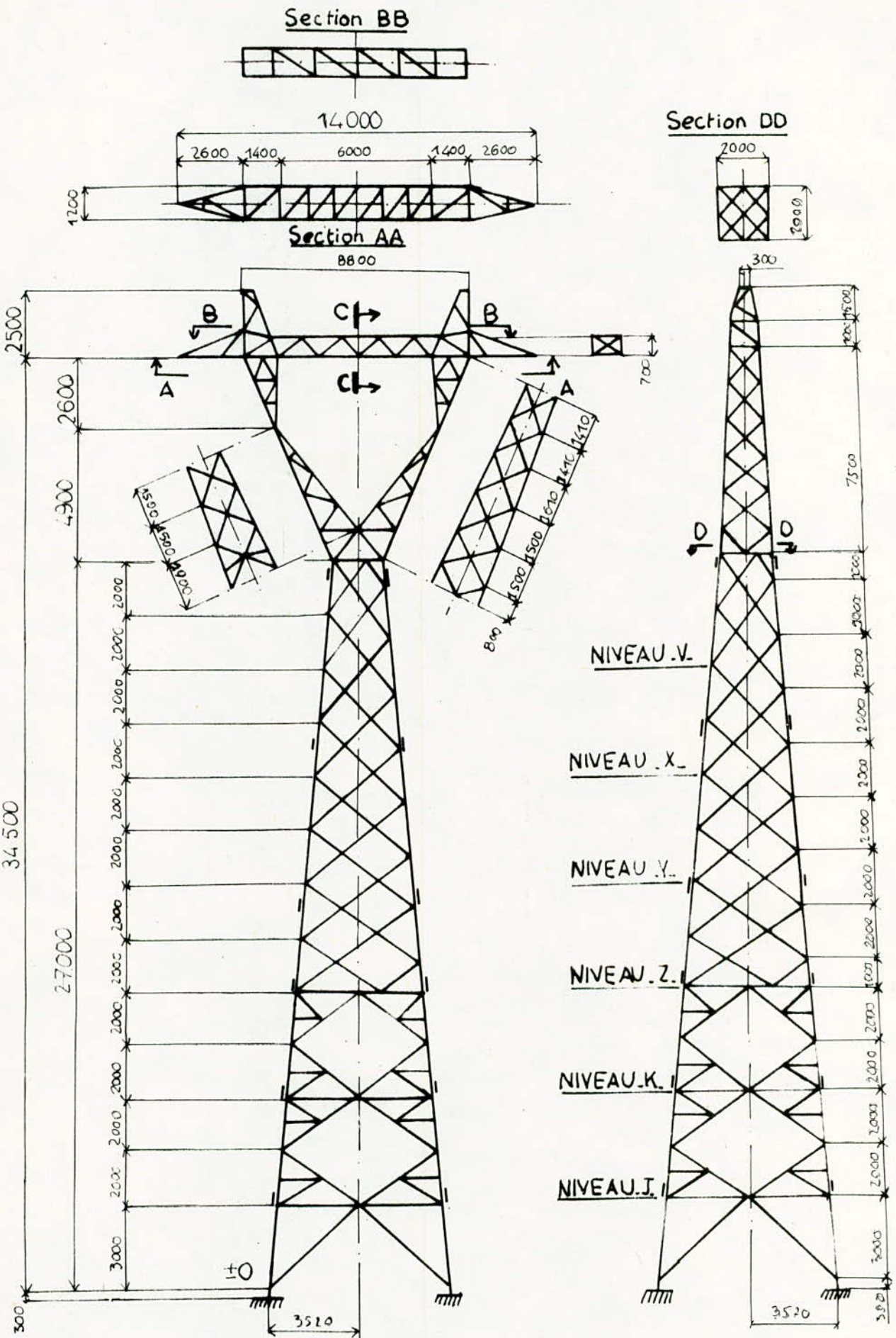
Par exemple: A₀, B₀, C₀

AR4, BS4, CR4

Remarque:

Nous avons quelquefois utilisé des pylônes du type B en ouvrage pour cela nous les avons surélevé de la hauteur des chaînes d'isolateurs car la hauteur donnée dans le tableau est comptée sans chaînes. A chaque fois que l'on atteint trente (30) portées dans un caisson, on a placé un pylon d'arrêt type C.





Pylône d'alignement type A 220 Kv (Silhouette)

TYPES								
A			B			C		
Niveaux	Hauteur sous chaîne (m)	Poids (kg)	Niveaux	Hauteur sous chaîne (m)	Poids (kg)	Niveaux	Hauteur sous chaîne (m)	Poids (kg)
AR8	12,50	3069	BR8	9,96	4314	CR8	12,20	7800
AR4	16,50	3467	BR4	13,96	5001	CR4	16,20	9031
A _o	20,50	3998	B _o	17,96	5848	C _o	20,20	10518
AS4	24,50	4544	BS4	21,96	6537	CS4	24,20	12056
AS8	28,50	5357	BS8	25,96	7817	CS8	28,20	13989
AS12	32,50	6410	BS12	29,96	9117	CS12	32,20	16287
$e = 7 \text{ m}$			$e = 7,25 \text{ m}$			$e = 7,80 \text{ m}$		

4^e. Conclusion :

Sachant qu'un caisson est limité par deux pylônes d'arriêts (pylonne du type C généralement ou du type B en ancrage rarement). Nous avons donc compté lors de la répartition 28 caissons de pose. Le relief étant accidenté dans le caisson n° 24 nous avons pris un paramètre $p = 15,70 \text{ m}$ pour la répartition.

N° Caisson	1	2	3	4	5	6	7	8	9	10	11	12	13	14
Longueur (m)	471,6	1278,6	5989	2576,7	3032,7	4061	7512	8632	808	1162	5491	6042	1416	559
N° Caisson	15	16	17	18	19	20	21	22	23	24	25	26	27	28
Longueur (m)	307	1666	844	6167	8150	3632	3057	916	2833	2814,5	2744,5	4255	6342	7229

Le nombre de pylônes utilisés est de 236. (un peu de tous les types).

En ce qui concerne l'exécution pratique, nous avons effectué une répartition en partant de BOUIRA vers M'SILA puis une autre de M'SILA vers BOUIRA. La répartition finale que nous avons retenue fut un compromis entre ces deux essais. D'où émane un nombre minimum de pylônes avec autant que possible les hauteurs standards, meilleurs emplacements de ces derniers et des charges réparties uniformément.

Notons cependant, que même à ce stade, notre répartition n'est pas figée. Il existe toujours des possibilités d'amélioration d'autant plus que lors de la vérification de la tenue mécanique, on peut être amené à faire des modifications en cas de défauts.

Détermination des tensions aux différentes hypothèses.

Dans ce chapitre on doit faire un calcul des différentes tensions pour chacune des hypothèses envisagées selon le paramètre de répartition choisi. On se doit pour conséquent, de respecter les valeurs des tensions maximales imposées par le cahier des charges et cela dans chaque canton.

1^e. Portée moyenne mécanique:

Dans un conducteur tendu entre deux pylônes d'arrêt, suspendu sur plusieurs pylônes par l'intermédiaire des chaînes de suspension comme on l'a vu précédemment, on considère que les tensions horizontales unitaires égales dans toutes les portées au moment de la pose. En cas de changement d'état les nouvelles tensions de maintien sont toujours égales entre elles de telle sorte que les éventuelles différences sont compensées par l'extension des chaînes. Comme la longueur de chaque canton ne change pas on considère un canton composé du même nombre de portées (qui étaient inégales lors du changement d'état) égales et uniformément dénivellées. Cette nouvelle portée est alors appelée portée moyenne mécanique. Pour la dénivellation on fait introduire un coefficient de dénivellation moyenne.

D'où comme on l'a montré précédemment la portée moyenne sera :

$$a_m^2 = \frac{\sum_{i=1}^n a_i^3 \cos^2 \gamma_i}{\sum_{i=1}^n a_i} \quad (1)$$

et le coefficient de dénivellation moyenne sera :

$$x_m = \frac{\sum_{i=1}^n a_i \left(1 + \frac{h_i^2}{2a_i} \right)}{\sum_{i=1}^n a_i} \quad (2)$$

Remarque :

On considère qu'un terrain est fortement dénivelé si le rapport $\frac{h_i}{a_i} > 0,25$, de moyenne dénivellation si $0,05 < \frac{h_i}{a_i} \leq 0,25$ et enfin sans dénivellation si $\frac{h_i}{a_i} \leq 0,05$.

Dans notre répartition, tous les cantons ou presque sont de moyenne dénivellation par conséquent

CALCUL DES PORTEES MOYENNE MECANIQUES

PORTEE a [m]	DENIV. h [m]	$\cos\psi$	a^3 $(\times 10^{-4})$	$a^3 \cos\psi$	PYLONE no.	PORTEE a [m]	DENIV. h [m]	$\cos\psi$	a^3 $(\times 10^{-4})$	$a^3 \cos\psi$
471,6	8,5	0,999	104,887	104,782	5	460	27	0,998	97,336	97,141
6					6	442	7	0,999	86,350	86,264
canton n° 1					7	452	7,5	0,999	92,345	92,253
$a_m^2 = \frac{\sum a_i^3 \cos\psi}{\sum a_i} = 22,240 (\times 10^{-4})$					8	459	7	0,999	96,702	96,606
$a_m = 471,6$ [m]					9	484	8	0,999	113,380	113,266
457	6	0,999	95,443	95,348	10	457	2,5	0,999	95,444	95,348
446	8	0,999	88,716	88,628	11	446	14,5	0,999	88,716	88,628
375,6	10,5	0,999	52,988	52,935	12	361	5,5	0,999	47,046	46,999
canton n° 2					13	535	17	0,999	153,130	152,977
$a_m^2 = \frac{\sum a_i^3 \cos\psi}{\sum a_i} = 18,556 (\times 10^{-4})$					14	290	9	0,999	24,383	24,365
$a_m = 430,75$ [m]					15	448	4	0,999	89,915	89,825
16					16	419	0,5	0,999	73,560	73,486
17					17	362	7,5	0,999	47,438	47,390
18					18	374	6,5	0,999	52,314	52,261
19					canton n° 3					
$a_m^2 = \frac{\sum a_i^3 \cos\psi}{\sum a_i} = 18,336 (\times 10^{-4})$					$a_m = 439,7$ [m]					

CALCUL DES PORTEES MOYENNE MECANIQUES

NE PORTEE	DENIV.			a^3	$a^3 \cos \psi$
	a [m]	h [m]	$\cos \psi$	$[x 10^{-3}]$	
473	37,5	0,997	105,824	105,506	
378	1	0,999	54,010	53,956	
476	18,5	0,999	107,850	107,742	
483	22,5	0,999	112,678	112,566	
365	3	0,999	48,627	48,578	
401,7	36	0,996	64,819	64,560	

canton n° 4

$$a_m^2 = \frac{\sum a_i^3 \cos 4}{\sum a_i} = 19,138 (x 10^{-4})$$

491	18	0,999	118,371	118,252
456	13	0,999	94,819	94,724
498	11,5	0,999	123,506	123,382
440	3,5	0,999	85,184	85,099
394	18	0,999	61,163	61,102
344	19,5	0,999	40,707	40,626
409,7	2,5	0,999	68,770	68,701

canton n° 5

$$a_m^2 = \frac{\sum a_i^3 \cos 4}{\sum a_i} = 19,538 (x 10^{-4})$$

$$a_m = 442 [m]$$

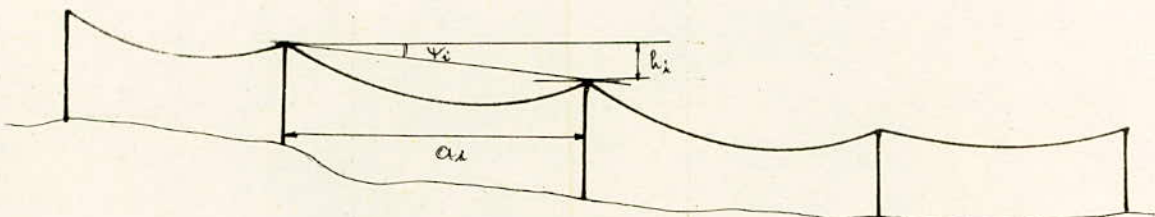
PYLOGNE	PORTEE	DENIV.		a^3	$a^3 \cos \psi$
no.		a [m]	h [m]	$\cos \psi$	$[x 10^{-3}]$
32	340	12,5	0,999	39,304	39,264
33	465	9,5	0,999	100,545	100,444
34	378	16,5	0,999	54,010	53,956
35	385	16,5	0,999	57,067	57,009
36	434	1,5	0,999	81,746	81,665
37	581	11,5	0,999	196,123	195,927
38	434	15,5	0,999	81,746	81,665
39	459	4,5	0,999	96,702	96,606
40	585	3,5	0,999	200,202	200,001
41					

canton n° 6

$$a_m^2 = \frac{\sum a_i^3 \cos 4}{\sum a_i} = 22,345 (x 10^{-4})$$

$$a_m = 472,7$$

dans tous nos calculs nous utilisons la formule (1) pour la détermination de la portée moyenne mécanique. Voici maintenant la figure ci dessous explicitant les termes de nos formules.



a_m : la portée moyenne mécanique. (en m).

k_m : le coefficient de dénivellation moyenne.

a_i : une des portées du caisson.

h_i : la dénivellation de cette portée.

Ψ_i : l'angle formé par la ligne reliant les points d'appui et l'horizontale.

$$\Psi_i = \arctg \frac{h_i}{a_i}$$

2° Tensions unitaires dans les conducteurs.

Après l'exécution de la répartition et ayant calculé les portées moyennes mécaniques de chaque caisson on doit vérifier en détail les tensions unitaires effectives pour chaque hypothèse. Celles-ci doivent être inférieures aux tensions maximales admises par le cahier des charges. Nous ferons une vérification analytique en utilisant les équations de changement d'état.

Le coefficient de dénivellation ne dépassant pas 0,25 on utilisera la formule de changement d'état suivante :

$$t^3 + t^2 \left[\alpha E (\theta - \theta_0) + \frac{\alpha_m^2 w_0^2 m_0^2}{24 t_0^2} E - t_0 \right] = \frac{\alpha_m^2 w_0^2 m_0^2}{24} E$$

Nous avons gardé les mêmes notations que précédemment.

L'état initial sera défini par $\theta_0 = +50^\circ$

$$m_0 = 1$$

$$t_0 = \rho w_0 \quad (w_0: \text{le poids spécifique})$$

L'état final sera défini par t, θ, m . (t sera la tension unitaire cherchée pour chaque hypothèse).

Pour concourir davantage cette écriture nous poserons :

$$C = \frac{100^2 w_0^2 E}{24}$$

$$J_1 = \frac{C}{t_0^2}, \quad J_2 = \alpha E (\theta - \theta_0) \quad \text{et} \quad J_3 = C m^2$$

Par ailleurs l'équation de changement d'état peut se mettre sous la forme :

$$t^2(t+A) = B.$$

Avec ces nouvelles écritures l'équation s'écrit : $t^2(t + \alpha_m^2 J_1 \cdot 10^{-4} + J_2 - t_0) = \alpha_m^2 J_3 \cdot 10^{-4}$. Il vient alors que :

$$A = \alpha_m^2 J_1 \cdot 10^{-4} + J_2 - t_0$$

$$\text{et } B = \alpha_m^2 J_3 \cdot 10^{-4}$$

Rappelons les divers états臻aux pour les différentes hypothèses considérées avec les tensions unitaires maximales admissibles.

- Hypothèse EDS 20% : coefficient de sécurité 3.

$$\theta = 30^\circ$$

$$m = 1 \quad (\text{sous vent})$$

$$T_{\max} = \frac{16500 \times 80}{100} = 3300 \text{ Kg} = \frac{\text{charge de rupture} \times 80}{100}$$

$$t_{\max} = \frac{T_{\max}}{S_c} = \frac{3300}{411} = 8,03 \text{ Kg/mm}^2$$

Dans cette hypothèse la tension unitaire trouvée ne doit pas dépasser $8,03 \text{ Kg/mm}^2$.

- Hypothèse normale d'été : coefficient de sécurité 3.

$$\theta = 30^\circ \quad (\text{sous grise})$$

$$m = 1,29 \quad (\text{vent 48 cpz})$$

$$t_{\max} = \frac{16500}{3 \times 411} = 13,38 \text{ Kg/mm}^2$$

Dans cette hypothèse la tension unitaire trouvée ne doit pas dépasser $13,38 \text{ Kg/mm}^2$.

- Hypothèse normale d'hiver : coefficient de sécurité 3

$$\theta = -5^\circ \quad (\text{sous grise})$$

$$m = 1,05 \quad (\text{vent 18 cpz})$$

$$t_{\max} = \frac{16500}{3 \times 411} = 13,38 \text{ Kg/mm}^2$$

Dans cette hypothèse la tension unitaire trouvée ne doit pas également dépasser $13,38 \text{ Kg/mm}^2$.

- Hypothèse exceptionnelle d'hiver : coefficient de sécurité 1,75

$$\theta = -5^\circ \quad (\text{avec 2 Kg de grise})$$

$$m = 2,56 \quad (\text{vent 72 cpz})$$

$$t_{\max} = \frac{16500}{1,75 \times 411} = 22,94 \text{ Kg/mm}^2$$

Dans cette hypothèse la tension calculée ne doit pas dépasser $22,94 \text{ Kg/mm}^2$.

Nous avons, à la fin de ce chapitre, résumé toutes les valeurs trouvées aux différentes hypothèses envisagées dans un tableau pour chaque caisson.

Cette vérification faite, nous passons au calcul des tensions de pose.

3^e. Tensions de pose :

Les tensions dites de pose sont les tensions à assurer dans les conducteurs à une température donnée, sans vent, pour obtenir les tensions calculées aux différentes hypothèses d'état.

En pratique, il est très difficile d'assurer ces tensions de pose, par contre, il sera plus facile de mesurer les flèches correspondantes dans chaque caisson. Ainsi on calculera caisson par caisson, les flèches correspondantes à différentes températures. Nous avons vu dans un caisson formé de plusieurs portées que les tensions unitaires horizontales s'unifient grâce aux inclinaisons des chaînes de suspension. Donc il suffit d'assurer la flèche voulue dans une seule portée afin d'avoir dans toutes les portées la tension calculée. Si on les portées choisies sont appelées portées témoins.

En général on choisit comme portées témoins : les plus grandes portées et les portées des traversées. On considère pour la pose des conducteurs des températures variables de 10°C ou de 5°C à partir de la température maximale (+50°C) jusqu'à la température minimale sans vent.

Connaissant l'état initial $\theta_0 = +50^\circ$

$$m_0 = 1 \pm m$$

$$t_0 = p w_0$$

La seule variable sera donc la température de l'état cherché appelée température de réglage. Pour chaque caisson et température on aura une tension unitaire t_0 et pour la portée moyenne mécanique on aura une flèche :

$$f_{m0} = \frac{a_m^2 w_0}{8 t_0} \quad (1)$$

A partir de cette valeur on calcule les flèches pour les portées témoins à chaque température d'où :

$$f_{a_i0} = f_{m0} \frac{a_i^2}{a_m^2 \cos \psi_i} \quad (2)$$

où a_i est la portée témoin. En portant la valeur f_{m0} dans l'expression (2) on obtient la flèche des portées témoins :

$$f_{a_i0} = \frac{a_i^2 w_0}{8 t_0 \cos \psi_i} \quad (3)$$

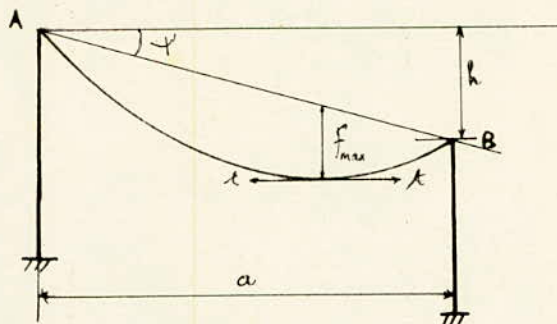
Nous avons, à la fin de ce chapitre, résumé dans un tableau toutes les flèches à assurer aux différentes températures dans chaque caisson considéré.

4^e. Tensions unitaires dans les conducteurs aux points d'appui :

Tant qu'il s'agissait de portées inférieures à 500 m et dans un terrain où la dénivellation était nulle ou presque, la tension unitaire dans le conducteur aux points d'attache les plus hauts

était considérée comme sensiblement égale à la tension unitaire horizontale dans le conducteur.

Cette approximation n'est plus justifiable pour les grandes portées (supérieures à 500 m) et pour des dénivellations notables. On doit, par conséquent, calculer les tensions aux points d'appui aux différentes hypothèses, dans chaque canton, à chaque fois qu'on relève dans celui-ci de grandes portées et d'appreciables dénivellations.



Les tensions aux points d'appui A et B sont :

$$t_A = \frac{t}{\cos \psi} + w_0 \left(f_{\max} + \frac{h}{2} \right)$$

$$t_B = \frac{t}{\cos \psi} + w_0 \left(f_{\max} - \frac{h}{2} \right)$$

avec f_{\max} : la flèche maximale.

w_0 : le poids spécifique

h , la dénivellation

t : la tension unitaire horizontale dans le conducteur.

Nous avons, dans ces trois cas, vérifié que toutes les tensions (que ce soient les tensions horizontales dans le conducteur, tensions de pose ou tensions aux points d'appui) aux différentes hypothèses dans chaque canton, ne dépassent pas les tensions maximales admissibles.

Tous les résultats sont présentés sous forme de tableaux titrés.

Ces différentes tensions présentent un intérêt particulier pour la sécurité et la fiabilité de la ligne.

IGNE BOUIRA-M'SILA

Canton

1

Câble 411 mm² - Alu Acier

Equation de changement d'état

$$t'^3 + t'^2 \left[\frac{\alpha^2 \omega^2 E}{24 f^2} \times m^2 + \alpha E (\theta' - \theta) - t \right] = \frac{\alpha^2 \omega^2 E}{24} \times m'^2$$

$$t'^2 (t + \underbrace{\alpha^2 J_1 + J_2 - t}_{A}) = \underbrace{\alpha^2 J_3}_{B}$$

diamètre p 1800 $\omega = 3,88 \times 10^{-3}$ $t = \omega p = 6,984$ $f^2 = 48,78$

$$\frac{C_1}{t^2} = 1,07 \quad C_1 = \frac{100^2 \omega^2 E}{24} = 52,06 \quad \times E = 0,146$$

POTHESE	+30° vent 48 cpz	+30° E.D.S.	-5° vent 18 cpz	-5° vent 72 cpz 2 kg/g
---------	------------------	-------------	-----------------	------------------------

α		472		
$\alpha^2 10^4$		22,27		
m'	1,287	1	1,045	2,563
m'^2	1,656	1	1,092	6,569
J_3	86,21	52,06	56,85	341,98
$\alpha^2 J_1$	24,29	24,29	24,29	24,29
J_2	-2,92	-2,92	-8,03	-8,03
$-t$	-6,984	-6,984	-6,984	-6,984
A	14,39	14,39	9,28	9,28
$\alpha^2 J_3$	1919,9	1159,38	1266	7615,9
t	9,05	7,31	8,45	17,02
resultat max	13,38	8,03	13,38	22,94

Câble 411 mm² Alu Alu

Equation de changement d'état

$$t'^3 + t'^2 \left[\frac{\alpha^2 \omega^2 E}{24 f^2} \times m^2 + \alpha E (\theta' - \theta) - t \right] = \frac{\alpha^2 \omega^2 E}{24} \times m'^2$$

$$\frac{t'^2 (t + \underbrace{\alpha^2 T_1 + T_2 - t}_{A})}{\underbrace{1}_{B}} = \frac{\alpha^2 T_3}{1}$$

rayon de g. 1500 $\omega = 3,88 \times 10^{-3}$ $t = \omega p = 5,82$ $t' = 33,87$

$$= \frac{C_1}{t^2} = 1,537 \quad C_1 = \frac{100^2 \omega^2 E}{24} = 52,06 \quad \alpha E = 0,146$$

POTHESE	+30° vent 48 cpz	+30° E.D.S.	-5° vent 18 cpz	-5° vent 72 cpz 2 kg/g
α		4 5 1,5		
$\alpha^2 10^{-4}$		20,39		
m	1,287	1	1,045	2,563
m'^2	1,656	1	1,092	6,569
T_3	86,21	52,06	56,85	341,98
αT_1	31,34	31,34	31,34	31,34
T_2	-2,92	-2,92	-8,03	-8,03
$-t$	-5,82	-5,82	-5,82	-5,82
A	22,6	22,6	17,49	17,49
$\alpha^2 T_3$	1757,82	1061,5	1159,17	6972,97
t	7,641	6,08	6,90	14,73
soit max	13,38	8,03	13,38	22,94

TENSIONS DE POSEPILE 411 mm² Alu Acier

ANTON 1

Portée moyenne $a_m = 472 \text{ m}$ paramètre $p = 1800 \text{ m}$

$$w = \frac{3,88 \times 10^{-3}}{\text{kg/mm}^2}$$

$$\alpha = 17,6 \cdot 10^{-6} /^\circ\text{C}$$

$$E = 8300 \text{ kg/mm}^2$$

$$t = w p = 6,984 \text{ kg/mm}^2$$

$$f' + f^2 \left[\frac{\alpha^2 w^2 E}{24 t^4} m + \alpha E (\theta' - \theta) - r \right] = \frac{\alpha^2 w E}{24} m^2$$

$$\frac{f'}{A} \left(1 + \frac{\alpha^2 J_1 + J_2 - r}{m} \right) = \frac{\alpha^2 J_3}{B}$$

Coefficient de surcharge $m = m' = 1,0$

$$\alpha E = 0,146$$

$$\theta = 0 \text{ à } 50^\circ\text{C} \quad \theta = 50^\circ\text{C} \quad J_2 = \alpha E (\theta' - \theta) \quad J_3 = C_1 m^2 = 52,06$$

$$C_1 = \frac{100^2 \alpha^2 E}{24} = 52,06 \quad J_1 = \frac{C_1}{t^4} = 1,07$$

G	+50°	+40°	+30°	+20°	+10°	0°	-5°
$\alpha J_1 \cdot 10^{-4}$			23,829				
J ₂	0	-1,46	-2,92	-4,38	-5,84	-7,30	-8,03
t				-6,984			
A	16,851	15,391	13,931	12,471	11,011	9,551	8,815
$\alpha J_3 \cdot 10^{-4}$			1159,38				
t	6,98	7,17	7,38	7,6	7,84	8,10	8,24
T	2867,14	2946,46	3031,54	3123,6	3223,1	3330,74	3447,47
max (m)							
portée (m)							
Denv (m)							
471,6 8,5	15,45	15,03	14,61	14,18	13,74	13,30	

LIGNE BOUIRA-MSILA

TENSIONS DE POSETABLE 411 mm² Alu Acier

ANTON 2 4

$$\omega = 3,88 \times 10^{-3} \text{ kg/mm}^2$$

$$\alpha = 17,6 \times 10^{-6} /^\circ\text{C}$$

Portée moyenne $a_m = 451,5 \text{ m}$

$$E = 8300 \text{ kg/mm}^2$$

paramètre

$$p = 1500 \text{ m}$$

$$t = \omega p = 5,82 \text{ kg/mm}^2$$

$$I + i \left[\frac{\alpha^2 \omega^2 E}{24 t^3} m + \alpha E (\theta - \theta_0) \right] = \frac{\alpha^2 \omega^2 E}{24} m^2$$

$$\frac{i^2 (1 + \alpha^2 j_1 + j_2 - 1)}{A} \quad \frac{\alpha^2 j_2}{B}$$

Coefficient de surcharge $m = m' = 1,0$

$$\alpha E = 0,146$$

 $\theta = 50^\circ\text{C}$ $\theta = 50^\circ\text{C}$

$$j_2 = \alpha E (\theta - \theta_0)$$

$$j_2 = C_1 m^2 = 52,06$$

$$C_1 = \frac{100^2 \omega^2 E}{24} = 52,06$$

$$j_1 = \frac{C_1}{t} = 1,537$$

G	+50°	+45°	+30°	+20°	+10°	0°	-5°
$\alpha j_1 \cdot 10^{-4}$							
	31,34						
α	0	-1,46	-2,92	-4,38	-5,87	-7,30	-8,03
	-5,82						
A	25,52	24,06	22,60	21,14	19,65	18,22	17,49
$\alpha j_2 \cdot 10^{-4}$							
	1061,50						
t	5,82	5,95	6,08	6,23	6,38	6,55	6,82
T	2392,02	2444,63	2500,52	2563,82	2623,41	2690,82	2801,79
max (m)							
répartie (m)							
9 600 9	29,97	29,33	28,67	28,01	27,33	26,64	

Centres aux points d'appui

E D S 20%

Tensions aux points d'appui

30°; 48°C PZ

Canton	pylô	Partie	Déni	$\cos \Psi$	$t = \frac{t'}{m'w_0}$	t'	w_0 ($\times 10^{-3}$)	$\frac{t'}{\cos \Psi}$	$\frac{a^2}{8\rho \cos \Psi}$	$\left(\frac{a^2}{8\rho \cos \Psi} \pm \frac{h}{2} \right) m' w_0$		$\frac{t'}{\cos \Psi} + m' w_0 \left(\frac{t}{2} \pm \frac{h}{2} \right)$	
										$+ \frac{h}{2}$	$- \frac{h}{2}$	$+ \frac{h}{2}$	$- \frac{h}{2}$
1	1												
	2	471,6	8,5	0,999	1812,3	9,05	3,88	9,06	15,35	0,1	0,05	9,16	9,11
2	4												
	5	375,6	10,5	0,999	1832,4	9,15	3,88	9,16	9,63	0,07	0,02	9,23	9,18
3	5												
	6	460	27	0,998	1832,4	9,15	3,88	9,17	14,46	0,14	= 0	9,31	9,17
	13												
	14	535	17	0,999	1832,4	9,15	3,88	9,16	19,54	0,14	0,06	9,30	9,22
4	19												
	20	473	37,5	0,997	1832,4	9,15	3,88	9,18	15,31	0,17	- 0,02	9,35	9,16
	24												
	25	401,7	36	0,996	1832,4	9,15	3,88	9,19	11,05	0,15	- 0,03	9,34	9,16
5	25												
	26	491	18	0,999	1832,4	9,15	3,88	9,16	16,46	0,13	0,04	9,29	9,12
	30												
	31	344	19,5	0,998	1832,4	9,15	3,88	9,17	8,09	0,09	= 0	9,26	9,17
6	35												
	36	385	16,5	0,999	1828,4	9,13	3,88	9,14	10,14	0,09	0,01	9,23	9,15
	37												
	38	581	11,5	0,999	1828,4	9,13	3,88	9,14	23,10	0,14	0,09	9,28	9,23
7	46												
	47	414	19,5	0,999	1832,4	9,15	3,88	9,16	11,7	0,11	0,01	9,27	9,17

Centraux aux points d'appui

-5° ; 18 CPZ;

Canton	Pylô	Partie	Déni	w ₀ 4	$p = \frac{t'}{m'w_0}$	t'	w ₀ (x10 ⁻³)	$\frac{t'}{w_0 4}$	$\frac{a^2}{8p w_0 4}$	$\left(\frac{a^2}{8p w_0 4} \pm \frac{h}{2} \right) m'w_0$		$\frac{t'}{w_0 4} + m'w_0 \left(f \pm \frac{h}{2} \right)$	
										$\pm \frac{h}{2}$	$-\frac{h}{2}$	$+\frac{h}{2}$	$-\frac{h}{2}$
1	1												
	2	471,6	8,5	0,999	2084	8,45	3,88	8,46	13,35	0,07	0,04	8,53	8,50
2	4												
	5	375,6	10,5	0,999	2168	8,79	3,88	8,80	8,1	0,05	0,01	8,85	8,81
3	5												
	6	460	27	0,998	2153	8,73	3,88	8,75	12,31	0,10	≈ 0	8,85	8,75
	13												
	14	535	17	0,999	2153	8,73	3,88	8,74	16,63	0,10	0,03	8,84	8,77
4	19												
	20	473	37,5	0,997	2170	8,8	3,88	8,83	12,93	0,13	-0,02	8,96	8,81
	24												
	25	401,7	36	0,996	2170	8,8	3,88	8,83	9,33	0,11	-0,03	8,94	8,80
5	25												
	26	491	18	0,999	2150,6	8,72	3,88	8,73	14,03	0,09	0,02	8,82	8,75
	30												
	31	344	19,5	0,998	2150,6	8,72	3,88	8,74	6,89	0,07	-0,01	8,81	8,73
6	35												
	36	385	16,5	0,999	2106	8,54	3,88	8,55	8,81	0,07	≈ 0	8,62	8,55
	37												
	38	581	11,5	0,999	2106	8,54	3,88	8,55	20,05	0,10	0,06	8,65	8,61
7	46												
	47	414	19,5	0,999	2165	8,78	3,88	8,79	9,90	0,08	≈ 0	8,87	8,79

Tensions aux points d'appui

-5° ; 72 CPZ ; 2 kgg

canton	Fy10	Partie	Déni	cos ψ	$\rho = \frac{t'}{m'w_0}$	t'	w ₀ (10 ⁻³)	$\frac{t'}{\cos \psi}$	$\frac{a^2}{8\rho \cos \psi}$	$\left(\frac{a^2}{8\rho \cos \psi} \pm \frac{h}{2} \right) m' w_0$		$\frac{t'}{\cos \psi} + m' w_0 \left(f \pm \frac{h}{2} \right)$	
										$\frac{h}{2}$	$-\frac{h}{2}$	$\frac{h}{2}$	$-\frac{h}{2}$
1	1												
	2	471,6	8,5	0,999	1711,5	17,02	3,88	17,03	16,26	0,21	0,12	17,24	17,15
2	4												
	5	375,6	10,5	0,999	1722,6	17,13	3,88	17,15	10,25	0,15	0,05	17,30	17,20
3	5												
	6	460	27	0,998	1714,5	17,05	3,88	17,08	15,46	0,29	0,02	17,37	17,10
	13												
	14	535	17	0,999	1714,5	17,05	3,88	17,07	20,89	0,29	0,12	17,36	17,19
4	19												
	20	473	37,5	0,997	1714,5	17,05	3,88	17,07	16,36	0,35	-0,02	17,42	17,05
	24												
	25	401,7	36	0,996	1714,5	17,05	3,88	17,07	11,81	0,30	-0,06	17,37	17,01
5	25												
	26	491	18	0,999	1715,5	17,06	3,88	17,08	17,58	0,26	0,09	17,34	17,17
	30												
	31	344	19,5	0,998	1715,5	17,06	3,88	17,08	8,64	0,18	-0,01	17,26	17,07
6	35												
	36	385	16,5	0,999	1722,6	17,13	3,88	17,15	10,77	0,19	0,03	17,34	17,18
	37												
	38	581	11,5	0,999	1722,6	17,13	3,88	17,15	24,52	0,30	0,19	17,45	17,34
7	46												
	47	414	19,5	0,999	1713,5	17,04	3,88	17,06	12,45	0,22	0,03	17,28	17,09

Vérification de la tenue des pylônes

1. Définitions :

Les pylônes sont des constructions métalliques spécifiques aux lignes aériennes de moyenne et haute tension. Les derniers ont été calculés en admettant certains efforts permanents : charges normales, et, d'autres accidentels (dûs soit à la rupture de certains conducteurs, soit au dépot de givre).

a). Charges normales :

On appelle charges normales, les charges qui apparaissent dans le fonctionnement normal et permanent d'une ligne (pour lesquelles on admet un coefficient de sécurité 3 dans les barres).

On distingue parmi celles-ci :

- Les charges horizontales transversales : dues à la pression du vent sur les conducteurs, les câbles de garde et sur le pylône même, (à la traction des conducteurs et câbles de garde pour les pylônes d'angle).

- Les charges horizontales longitudinales : dues à la traction dans les conducteurs et câbles de garde pour les pylônes d'arêt.

- Les charges verticales : dues au poids des conducteurs, câbles de garde, l'équipement et du pylône même.

b). Charges accidentelles :

On appelle charges accidentelles, les charges qui apparaissent accidentellement dans le fonctionnement d'une ligne (pour lesquelles on admet un coefficient de sécurité 1,75 dans les barres).

On distingue parmi celles-ci :

- Les charges horizontales transversales : dues à la pression du vent sur les conducteurs et câbles de garde sur ce qui sont surchargés de givre (et à la traction dans les conducteurs et câbles de garde surchargeés de givre pour les pylônes d'angle).

- Les charges horizontales longitudinales : dues à la traction dans les conducteurs et câbles de garde pour les pylônes d'arêt.

- Les charges verticales : dues au poids des conducteurs et des câbles de garde surchargeés de givre et du pylône même.

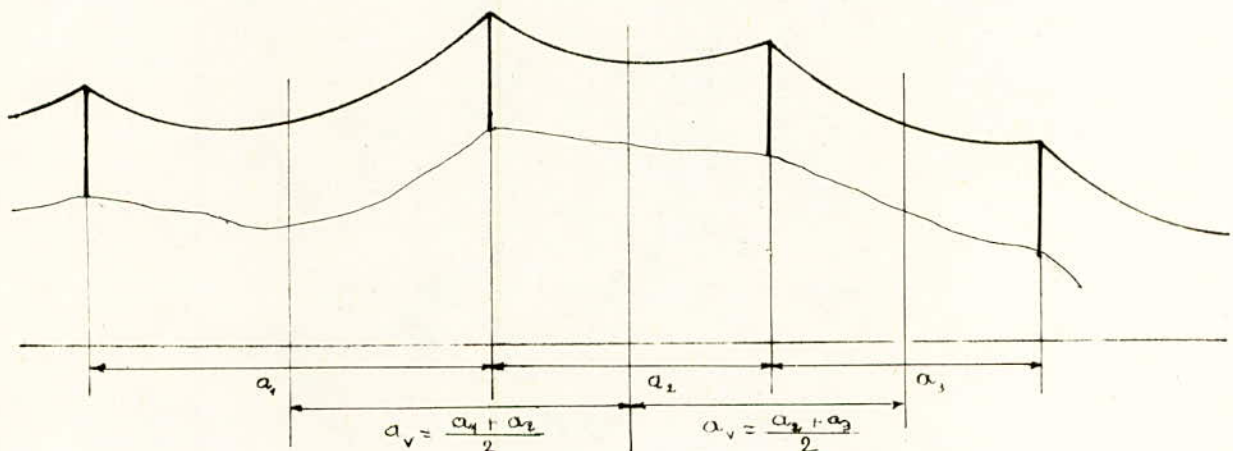
Une fois ces charges arrêtées, on doit les vérifier pour les conducteurs et câbles de garde.

2. Principe de la vérification:

Il s'agit de calculer les efforts effectifs agissant sur les pylônes utilisés lors de la répartition et de les comparer avec les efforts maximum que peuvent supporter ces derniers.
 (en général les contraintes maximales sont garanties par le constructeur pour chaque type)
 On dira que cette comparaison est positive si l'effort calculé est inférieur à l'effort garanti.
 La comparaison se fait pour les charges dues à la pression du vent sur les conducteurs, celles de garde avec éventuellement le givre et tractions dans ces derniers. Cette vérification portera alors sur le calcul des portées au vent ou portées moyennes ainsi que sur les portées fictives verticales. Tout ceci se fera dans le cas où apparaissent les efforts les plus importants, ce qui nous amène à considérer deux différentes hypothèses : la normale d'été et l'exceptionnelle d'hiver.

a). Portée au vent :

C'est la charge horizontale transversale due au vent sur les conducteurs et câbles de garde. Elle dépend du diamètre de ceux-ci et de la pression du vent ainsi que de la dimension des portées adjacentes au pylône à vérifier.



Soit, comme l'indique la figure ci-dessus: \$\alpha_i\$ et \$\alpha_{i+1}\$ ces deux portées adjacentes. La deuxième formule qu'on appelle couramment portée moyenne ou portée au vent sera :

$$\alpha_v = \frac{\alpha_i + \alpha_{i+1}}{2}$$

les charges dues au vent sur les conducteurs et câbles de garde seront de la forme :

$$F_v = 1,019 p_v d_c \alpha_v \cdot 10^{-3} \text{ (Kg)}$$

où :

\$p_v\$ la pression dynamique du vent (en cpx)

\$d_c\$ le diamètre du conducteur (mm)

\$\alpha_v\$ la portée au vent. (m)

Dans cette formule on prendra \$p_v = 48 \text{ cpx}\$ pour l'hypothèse normale d'été et \$p_v = 72 \text{ cpx}\$ pour

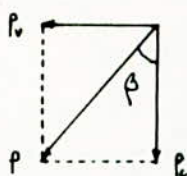
l'hypothèse exceptionnelle d'hiver. Une fois toutes ces valeurs fixées tout revient à vérifier la portée au vent uniquement car elle reste la seule variable.

b). Portée fixe verticale:

P_c' est la charge verticale due au poids propre du conducteur avec une éventuelle surcharge de gare. Dans ce cas on distingue la vérification des pylônes du type A ou B où les tensions dans les câbles sont les mêmes, de celle des pylônes du type C où les tensions dans les câbles diffèrent suivant qu'elles soient calculées à droite ou à gauche du pylône à vérifier.

Sous l'influence du vent et de son poids propre (avec gare s'il y a lieu) le conducteur devient d'un angle β par rapport au plan vertical. Cet angle sera calculé pour les deux hypothèses considérées :

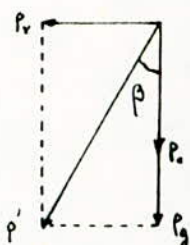
— Hypothèse normale d'été : $\theta = 30^\circ$, vent 48 cpz, coefficient de sécurité 3.



$$\text{Or si } \cos \beta = \frac{P_p}{P_c} = \frac{P_p}{\sqrt{P_p^2 + P_v^2}} = \frac{1}{m}$$

D'après ce qui a été fait précédemment : $m = 1,29$

— Hypothèse exceptionnelle d'hiver : $\theta = -5^\circ$, vent 72 cpz, 2 kg de gare, coefficient de sécurité 1,75.

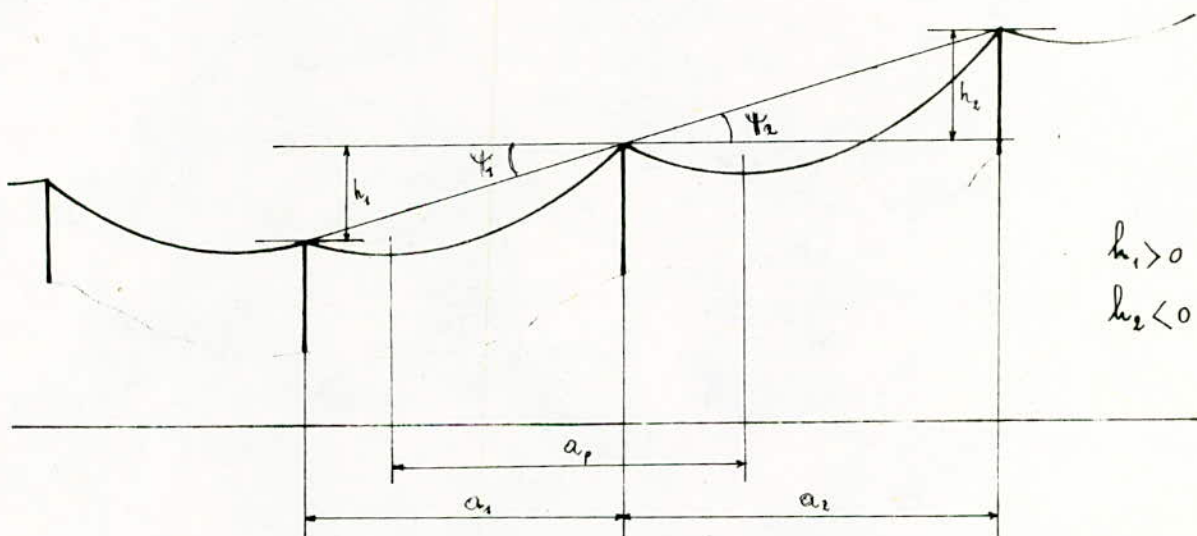


$$\text{Or si } \cos \beta = \frac{P_g}{P_c + P_g} = \frac{P_g}{\sqrt{P_g^2 + (P_c + P_g)^2}} = \frac{1 + P_g/P_c}{m'}$$

D'après les calculs faits auparavant : $m' = 2,56$

(m et m' étant les coefficient de surcharge).

Considérons maintenant les deux cas de vérification :



avec : a_1, a_2 les portées adjacentes au pylône à vérifier (m)

h_1, h_2 les dénivellations des portées adjacentes (en m).

a_p : une portée fictive verticale.

1^e cas: portée fictive verticale pour les pylônes de suspension:

- Pour l'hypothèse normale d'été on aura:

$$\text{La charge verticale dans le plan dérivé sera: } P = m p_c a_v + s_c t \left(\pm \frac{h_1}{a_1} \pm \frac{h_2}{a_2} \right) \quad (\text{en kg})$$

Sa composante verticale:

$$P_v = P_c = P \cos \rho = p_c a_v + \frac{s_c t}{m} \left(\pm \frac{h_1}{a_1} \pm \frac{h_2}{a_2} \right) \quad (\text{en kg})$$

D'où la portée fictive verticale par rapport au poids unitaire total: $a_p = \frac{P_v}{P}$. (en kg).

il vient alors:

$$a_p = \left[a_v + \frac{s_c t}{m p_c} \left(\pm \frac{h_1}{a_1} \pm \frac{h_2}{a_2} \right) \right] \cdot \frac{1}{m}$$

- Pour l'hypothèse exceptionnelle d'hiver on aura:

$$\text{Par un raisonnement analogue: } P' = p' a_v + s_c t \left(\pm \frac{h_1}{a_1} \pm \frac{h_2}{a_2} \right) \quad (\text{en kg})$$

Sa composante verticale:

$$P'_v = P'_c = P' \cos \beta = \left[p' a_v + s_c t \left(\pm \frac{h_1}{a_1} \pm \frac{h_2}{a_2} \right) \right] \cdot \cos \beta$$

$$\text{comme } a_p = \frac{P'_v}{P'} \quad (\text{en kg})$$

$$\text{il vient alors: } a_p = \left[a_v + \frac{s_c t}{m' p_c} \left(\pm \frac{h_1}{a_1} \pm \frac{h_2}{a_2} \right) \right] \cdot \frac{1 + \frac{P'_v}{P_c}}{m'}$$

2^e cas: portée fictive pour les pylônes d'ancrage:

- Pour l'hypothèse normale d'été:

Etant donné que les tensions ne sont pas égales (à droite et à gauche), on est amené à les prendre en considération. Soit t_d : la tension à droite et t_g : la tension à gauche.

Pour analogie au 1^e cas on aura:

$$a_p = \left[\left(\frac{a_1}{2} \pm \frac{s_c t_d \cdot h_1}{m p_c} \frac{h_1}{a_1} \right) + \left(\frac{a_2}{2} \pm \frac{s_c t_d \cdot h_2}{m p_c} \frac{h_2}{a_2} \right) \right] \cdot \frac{1}{m}$$

- Pour l'hypothèse exceptionnelle d'hiver on aura également:

par analogie avec le 1^e cas:

$$a_p = \left[\left(\frac{a_1}{2} \pm \frac{s_c t_g \cdot h_1}{m' p_c} \frac{h_1}{a_1} \right) + \left(\frac{a_2}{2} \pm \frac{s_c t_g \cdot h_2}{m' p_c} \frac{h_2}{a_2} \right) \right] \cdot \frac{1 + \frac{P'_v}{P_c}}{m'}$$

Dans toutes ces formules, t représente la tension unitaire horizontale à l'état considéré et s_c la section du conducteur.

Toutes les vérifications faites sont résumées sur un tableau titré dans ce qui suit.

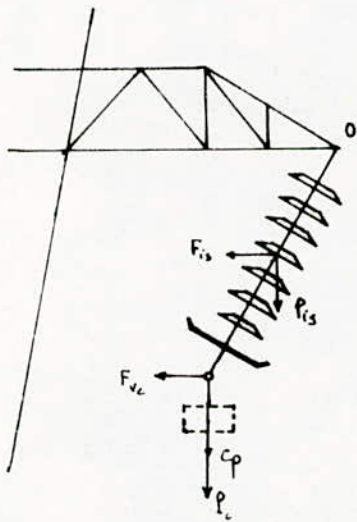
3^e. Calcul des contre-poids éventuels:

Ce calcul permet de compenser la charge verticale relativement faible des conducteurs par

un contre-poids pour maintenir l'inclinaison des chaînes dans les limites admises. Cette compensation se fait uniquement pour les pylônes de suspension situés en contrebas par rapport aux pylônes adjacents. L'inclinaison α est limitée à 40° par le cahier des charges. Cette faiblesse de charge verticale par conséquent une grande inclinaison par rapport à la verticale ($\alpha > 40^\circ$), peut entraîner de graves problèmes tels que vers le rebondissement des chaînes d'isolateurs.

On doit donc calculer l'angle d'inclinaison des chaînes à chaque fois qu'un cas douteux se présente. Si cet angle est inférieur à 40° ce sera bon sinon, c'est à dire, s'il est supérieur à 40° on doit faire un calcul de contre-poids pour le ramener à l'angle limite.

La figure ci-dessous illustre ce cas :



- P_c : poids de la chaîne d'isolation.
- F_{is} : charge due au vent sur l'isolateur.
- P_c : poids du conducteur.
- F_{vc} : charge due au vent sur le conducteur.
- C_p : contre-poids éventuel.
- l_{is} : la longueur de la chaîne d'isolation.
- d_m : distance minimale à la masse.
- ρ : inclinaison du conducteur sous le vent.
($\rho \geq \alpha$ en général).

L'inclinaison d'une chaîne d'isolateurs de suspension se détermine en faisant le calcul des moments de toutes les forces agissantes sur celle-ci par rapport au point O. Comme l'indique la figure ci-dessus.

$$P_c \cdot l \sin \alpha + P_{is} \cdot \frac{l}{2} \sin \alpha = F_{vc} \cdot l \cos \alpha + F_{is} \cdot \frac{l}{2} \cos \alpha$$

$$\text{d'où } \left(P_c + \frac{P_{is}}{2} \right) \tan \alpha = F_{vc} + \frac{F_{is}}{2}$$

$$\text{d'où } \tan \alpha = \frac{F_{vc} + F_{is}/2}{P_c + P_{is}/2}$$

et il vient que l'inclinaison sera :

$$\alpha = \arctan \frac{F_{vc} + F_{is}/2}{P_c + P_{is}/2}$$

$$\text{En exprimant : } F_{vc} = 1,019 \cdot \rho_v \cdot d_c \cdot a_v \cdot 10^{-3} \text{ Kg.} \\ = a_v \cdot V$$

$$F_{is} = 1,019 \rho_v d_{is} l_{is} 10^{-3} \text{ Kg.}$$

$$V_{is} = 1,019 \rho_v d_{is} l_{is} 10^{-3} \text{ Kg.}$$

$$P_c = P_v = p_c a_v + \frac{s.c.t}{m} \left(\pm \frac{h_1}{a_1} \pm \frac{h_2}{a_2} \right) \quad (\text{cf paragraphe 2}).$$

Posons $\pm \frac{h_1}{a_1} \pm \frac{h_2}{a_2} = \Sigma \pm \frac{h}{a}$. L'angle d'inclinaison devient dans ce cas :

$$\alpha = \arctg \frac{a_v V + V_{is}/2}{p_c a_v + \frac{s.c.t}{m} \cdot \Sigma \pm \frac{h}{a} + P_{is}/2}$$

Si cet angle est supérieur à 40° :

On doit ajouter un contre-poids C_p de manière à le ramener à 40° donc on aura :

$$\operatorname{tg} 40^\circ = \frac{a_v V + V_{is}/2}{p_c a_v + \frac{s.c.t}{m} \cdot \Sigma \pm \frac{h}{a} + \frac{P_{is}}{2} + C_p}$$

d'où

$$C_p = \frac{a_v V + V_{is}/2}{\operatorname{tg} 40^\circ} - \left[p_c a_v + \frac{s.c.t}{m} \left(\Sigma \pm \frac{h}{a} \right) + \frac{P_{is}}{2} \right]$$

Ensuite calculs faits on obtient $V_{is} = 22,8 \text{ kg}$
 $P_{is} = 68,8 \text{ Kg}$
 $y = 0,81 \text{ Kg}$

Ces calculs ont été faits pour une pression de vent, sur les conducteurs et la chaîne d'isolateurs, égale à 30 cpa. La tension dans les conducteurs a été calculée dans le cas le plus défavorable, soit à l'hypothèse -5°C , sans vent.

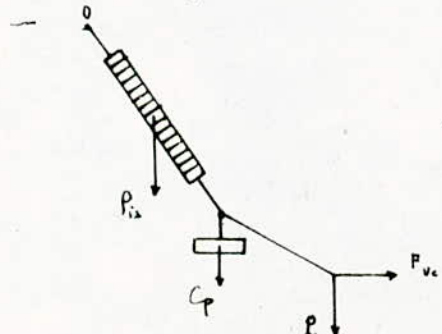
On trouvera un tableau résumant le calcul des contre-poids à la fin de ce qui suit.

4: vérification de la tenue mécanique des chaînes d'isolateurs.

Les chaînes d'isolateurs de propulsion ont une charge de rupture variable de 10t pour les simples à 20t pour les doubles (ce sont là des valeurs utilisées en Algérie par SONELGAS).

En pratique ces charges sont rarement atteintes. Les pylônes du type A (les plus défavorables) sont calculés pour supporter une portée au vent de 540 m et une portée horizontale de 600 m.

Nous allons faire le calcul dans deux hypothèses différentes et les plus défavorables pour cela nous négligerons l'effet du vent sur la chaîne d'isolateurs.



P_{is} : poids de la chaîne d'isolateur.

C_p : contre-poids.

P_c : charge due au conducteur.

F_v : charge du vent sur le conducteur.

- pour l'hypothèse normale d'été: $\theta = 30^\circ\text{c}$, vent 48 cpz , coefficient de sécurité 3.
La charge maximale admissible sera:

$$Z = \frac{12000}{3} = 4000 \text{ Kg.}$$

On a $p_c = 1,593 \text{ Kg/m}$

$$v = 1,019 \cdot p_v \cdot d_c \cdot 10^{-3} \text{ Kg/m} = 1,019 \cdot 48 \cdot 26,4 \cdot 10^{-3} \text{ Kg/m}$$

$$v = 1,292 \text{ Kg/m} \quad \text{pour l'hypothèse considérée.}$$

La charge effective maximale sera:

$$R = \sqrt{(a_v v)^2 + (a_p p_c)^2} + P_{is} + C_p$$

$$\text{d'où } R = \sqrt{(540 \cdot 1,292)^2 + (600 \cdot 1,593)^2} + 68,8 + 240 = 1492 \text{ Kg.}$$

Avec le plus lourd contre-poids que nous avons calculé nous voyons bien que la charge effective maximale R reste inférieure à la charge maximale admise Z .

- Pour l'hypothèse exceptionnelle d'hiver: $\theta = -5^\circ\text{c}$, vent 72 cpz , surcharge de glace 2 Kg , coefficient de sécurité 1,75.

On a alors $p_c = 1,593 \text{ Kg/m}$

$$p_g = 2 \text{ Kg/m.}$$

$$v = 1,019 \cdot 72 \cdot 26,4 \cdot 10^{-3} \text{ Kg/m}$$

$$v = 1,938 \text{ Kg/m.}$$

La charge admissible sera:

$$Z = \frac{12000}{1,75} = 6857 \text{ Kg.}$$

La charge effective maximale sera:

$$R = \sqrt{(540 \cdot 1,938)^2 + [600 \cdot (1,593+2)]^2} + P_{is} + C_p = 2705 \text{ Kg}$$

Dans cette hypothèse la charge maximale effective reste inférieure à la charge maximale admissible. D'une façon générale tous les isolateurs tiennent leur problème.

Nous mentionnons ci-dessous tous les tableaux utilisés pour les vérifications désignées ci-dessus.

Toutes ces vérifications s'imposent afin de garder une bonne marge de sécurité sur l'emploi des différents ouvrages utilisés dans les hypothèses les plus défavorables. Ce qui nous permet par la même occasion d'augmenter la fiabilité de la construction de la ligne.

Vérification de la tenue des pylônes

Pylône	Type	D'enveloppe		Portées		Portée vent		Portée fléchie verticale		Notes
		h_1	h_2	a_1	a_2	a_{av}	calcul	ETE	Excep Hiver	
29	AR4	3,5	-18	440	394	417	540	267,8	306,7	600
30	AR4	18	-19,5	394	344	369	"	273,5	309,6	"
31	AR4	19,5	-2,5	344	409,7	376,9	"	365,8	407	"
33	Ao	-12,5	9,5	340	465	402,5	"	292,5	331,4	"
34	Ao	-9,5	-16,5	465	378	421,5	"	242,8	280	"
35	Ao	16,5	16,5	378	385	381,5	"	426,5	472,2	"
36	Ao	-16,5	-15	385	434	409,5	"	219,1	254,2	" contre-poids ?
37	Ao	15	11,5	434	581	507,5	"	467,5	522,4	"
38	Ao	11,5	15,5	581	434	507,5	"	424,5	477	"
39	AS8	-15,5	-4,5	434	459	446,5	"	291	332,2	"
40	Ao	4,5	-3,5	459	585	522	"	428,6	482,1	"
42	Ao	-13	-11	339	375	357	"	178	208,7	" contre-poids ?
43	Ao	11	14,5	375	360	367,5	"	387,2	428,9	"
44	AS4	-14,5	-1,5	360	518	439	"	285	326	"
45	Ao	1,5	13,5	518	514	516	"	445,6	499,3	"
46	AS4	-13,5	-19,5	514	414	464	"	261,4	302,8	" contre-poids ?
47	AR4	19,5	-2	414	445	429,5	"	392,5	438,2	"
48	AS4	2	2,5	445	288	366,5	"	300,2	337,6	"
49	Ao	-2,5	3	288	461	374,5	"	292	329,6	"
50	Ao	-3	12	461	486	473,5	"	398,1	446,8	"
51	Ao	-12	-14	486	348	417	"	233,2	269	"
52	Ao	14	4,5	348	447	397,5	"	382	425,1	
53	AR8	-4,5	4	447	397	422		329,2	371,4	

Vérification de la hauteur des pylônes

pylône	Type	Dénivell		Portées		Portée vent		Tensions uniaxes horizontales		Portée fictive verticale				
		h_1	h_2	a_1	a_2	C_{lv}	calcul	t_6	t_6	t_0	Eté	Excep Hiver	calcul	
1	CS4	-	-8,5	-	471,6	235,8	600	-	-	9,05	17,02	158,3	180,4	800
2	CS4	8,5	6	471,6	457	464,3	"	9,05	17,02	9,15	17,13	406,6	455,7	"
5	BR4	10,5	27	375,6	460	417,8	"	9,15	17,02	9,15	17,05	450,3	498,5	"
19	Co	6,5	37,5	374	473	423,5	"	9,15	17,05	9,15	17,05	469,2	518,4	"
25	CS8	36	18	401,7	491	466,5	"	9,15	17,05	9,165	17,06	529,5	583,1	"
32	CR4	2,5	12,5	409,7	340	375	"	9,44	17,06	9,125	17,13	553,8	394,7	"
41	BR4	3,5	13	585	339	462	"	9,185	17,13	9,15	17,06	424	480	"
59	BR4	26,5	14	400	431,5	415,8	"	9,15	17,06	9,15	17,06	466	514,6	"
79	Bo	13,5	27,5	359	454	406,5	"	9,15	17,05	9,16	17,06	458,2	504,6	"
81	Co	-11,5	-10	354	451	402,5	"	9,16	17,06	9,17	17,06	235,3	273,5	"
84	Co	-4	-3	420	378	399	"	9,17	17,06	9,14	17,06	286,1	324	"
97	Co	-27	-16,5	370	391	380,5	"	9,14	17,06	9,13	17,06	139	168,7	"
111	Co	44,5	34,5	558	269	413,5	"	9,13	17,1	9,1	17,2	620,5	680,3	"
114	CS4	-2	-18	575	559	567	"	9,1	17,2	9,09	17,3	391	451,2	"
115	CS4	18	9	559	307	433	"	9,09	17,3	9,27	17,6	426,4	473	"
116	BR8	-9	10,5	307	474	390,5	"	9,27	17,6	9,15	17,05	293,8	333,9	"
120	CS4	-4	13,5	510	489	499,5	"	9,45	17,05	9,15	17,05	418	469,3	"
122	12Co	19	10,5	355	472	413,5	"	9,45	17,05	9,13	17,1	431,4	478,3	"
136	Co	-9,5	8	298	343	322,5	"	9,13	17,1	9,15	17,06	245,5	270,4	"
155	BR4	-3,5	-2,5	326	400	363	"	9,15	17,02	9,13	17,1	259	293,8	"
163	BR4	29	13	497	450	473,5	"	9,13	17,1	9,14	17,06	494,4	548,7	"
170	Co	7,5	37,5	358	654	506	"	9,14	17,06	9,08	17,3	504,3	564,7	"
172	CR4	16,5	9,5	262	299	280,5	"	9,08	17,3	9,14	17,05	354,3	391,3	"

Vérification de la tenue des pylônes.

pylône	Type	Dénivell		Portées		Portée vent		Tensions unitaires horizontales	Portée Fictive verticale		
		h_1	h_2	a_1	a_2	a_v	calcul		t_6	t_6	$E + \epsilon$
179	C _o	33,5	9	304	600	452	600	9,14	17,05	520,8	582,1
								7,66	14,7		800
186	C _o	-8,5	26,5	459,5	301	376,3	"	7,66	14,7	390,6	439
								9,29	16,81		"
194	C _o	-13,5	-0,5	310	406	358	"	9,29	16,84	214,3	247,7
								9,16	16,99		"
204	CS4	3	18,5	449	443	446	"	9,16	16,99	417,5	465
								9,15	17,03		"
219	BR4	2,5	26,5	382	494	438	"	9,15	17,03	428	476,2
								9,14	17,08		"
236	CRB	-4	-	626	-	313	"	9,14	17,08	235	265,8
								-	-		"

Tableau du Calcul des Contrepoids

$$\alpha = \operatorname{arctg} \frac{a_m v + V_{is}/2}{a_m p_c + \frac{st}{m} \left(\Sigma \pm \frac{h}{\alpha} \right) + P_g/2}$$

$$C_p = \frac{a_m v + V_{is}/2}{\tan 40^\circ} - a_m p_c - \frac{st}{m} \left(\Sigma \pm \frac{h}{\alpha} \right) - P_g/2$$

N° du Pylône	$T = \frac{st}{m}$ (kg)	a_m (m)	p_c (kg/m)	$\Sigma \pm \frac{h}{\alpha}$	$P_g/2$ (kg)	$V_{is}/2$ (kg)	v (kg/m)	α (°)	C_p (kg)
20	3477,06	425,5	1,593	- 0,077	34,4	11,4	0,81	38,7	Pas de C_p
24	3477,06	383,4	"	- 0,081	"	"	"	41,5	22,80
36	3386,10	409,5	"	- 0,077	"	"	"	39,1	Pas de C_p
42	3488,63	357	"	- 0,068	"	"	"	39,6	Pas de C_p
46	3488,63	464	"	- 0,076	"	"	"	37,5	Pas de C_p
62	3472,9	472	"	- 0,092	"	"	"	40,1	5,10
64	3472,9	444	1,593	- 0,106	34,4	11,4	0,81	44,8	71,30
102	3423,6	368	"	- 0,125	"	"	"	51,8	178,80
109	3423,6	386	"	- 0,133	"	"	"	54,6	195
117	3473,13	421,5	"	- 0,150	"	"	"	63	238,87
146	3505,8	407,5	"	- 0,120	"	"	"	52,4	182,30
183	2724,9	432,5	"	- 0,160	"	"	"	51,5	177,30
208	3501,72	351,5	1,593	- 0,080	34,4	11,4	0,81	43,3	68,20

Calcul des traversées

1^e. Généralités :

Une traversée est un croisement des voies principales de communications (routes nationales, routes de wilaya et voies ferrées) avec les lignes aériennes (H.T., M.T., B.T., et lignes de P.T.T.) d'une part et de celles-ci entre elles d'autre part.

Pour le croisement des lignes aériennes entre elles il faut d'abord retenir le principe que toute ligne ayant une haute tension nominale passera par-dessus toutes autres dont la tension nominale sera plus basse. Par ailleurs, il n'existe pas de règles quant au croisement des lignes de même tension entre elles. Dans ce cas on retient toujours celui qui se fait avec les moindres difficultés.

Pour le croisement des voies de communications on essaie d'atténuer un angle de croisement très proche de l'angle droit. D'une façon générale, le croisement se fait sous un angle supérieur à 30° . Et, pour plus de sécurité, on exige une hauteur accrue des conducteurs par rapport au sol ainsi qu'une certaine distance entre la voie et le pylône de traversée.

Par conséquent, afin d'éviter tous problème s'y rapportant on se doit de respecter d'une façon générale, certaines distances de croisement. A cet effet un calcul de traversée s'impose.

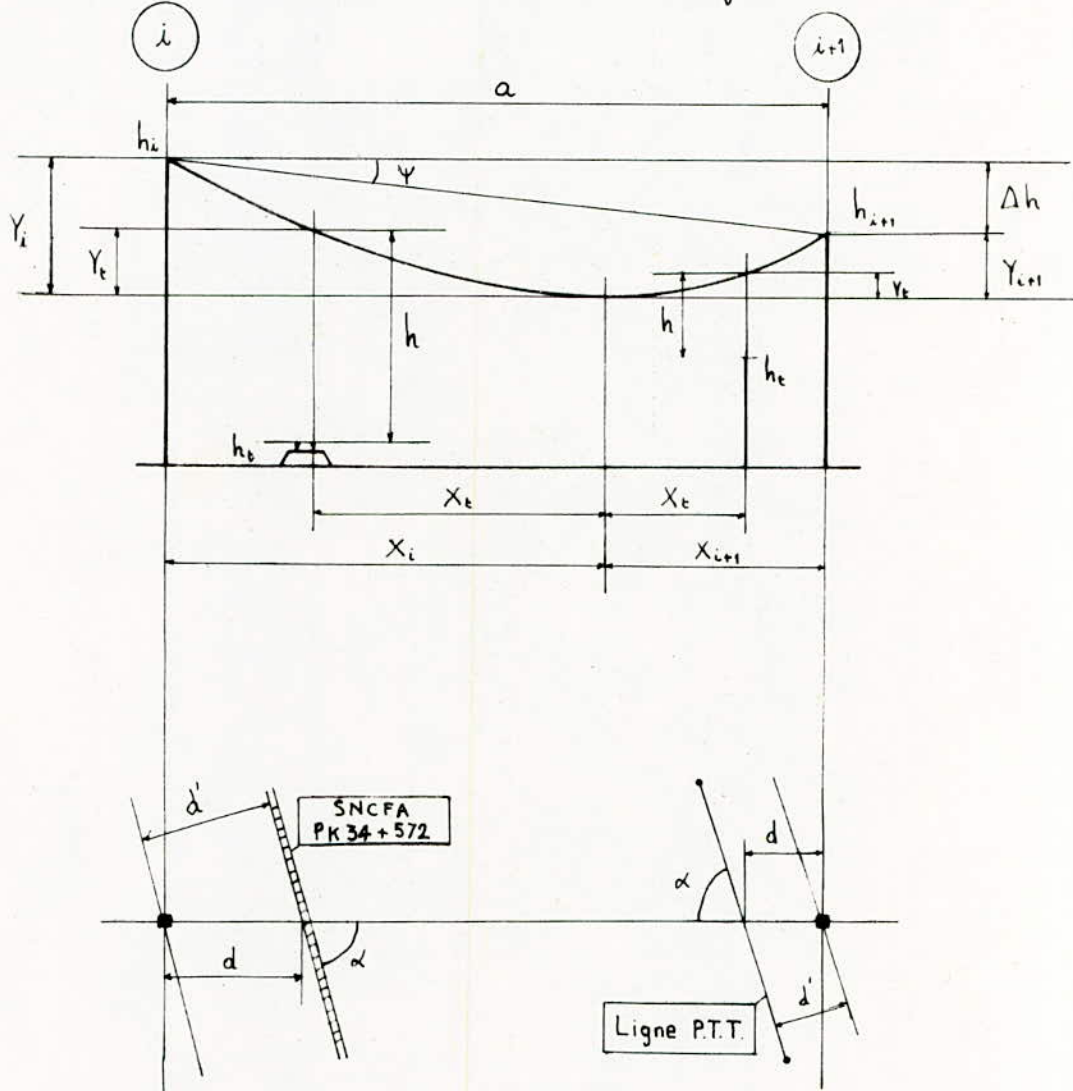
2^e. Méthode de Calcul :

Il s'agit dans ce calcul, de vérifier les distances horizontales et verticales, d'une part entre le pylône le plus proche et l'ouvrage traversé; d'autre part entre ce dernier et le point le plus bas du conducteur.

Notons que les ouvrages dont on doit tenir compte sont :

- Chemins de fer (SNCFA).
- Routes nationales (RN)
- Routes de wilaya (R.W.)
- Lignes de distribution d'énergie (M.T. et B.T.).
- Lignes P.T.T.

Considérons le schéma suivant résumant tous les cas déjà énoncés :



Dans ce schéma on trouve :

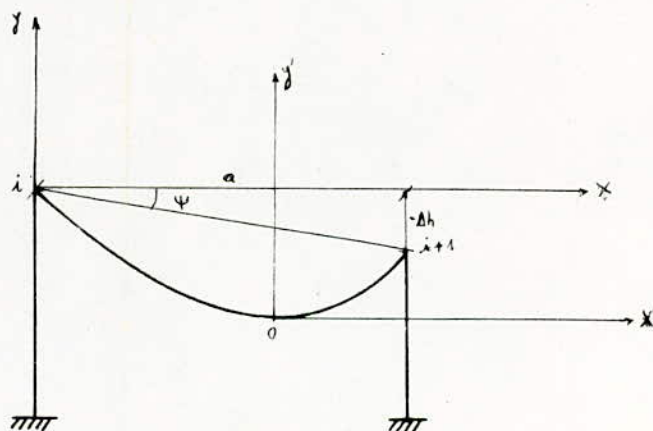
h_i et h_{i+1} représente la côte du terrain le plus haut sous la chaîne d'isolateurs.

a : la portée

$\Delta h = h_i - h_{i+1}$ représente la dénivellation.

ψ : l'angle de dénivellation.

On a vu précédemment que la chaînette est décrite par l'équation $y = p \sinh \frac{x}{p}$ et que l'on peut l'approximer dans le cas d'une dénivellation, avec un changement d'axes approprié, à la fonction $y = \frac{x^2}{2p \cos \psi}$.



Faisons un changement d'axes comme l'indique la figure ci-dessus.

Soit (x_i, y_i) les coordonnées de la nouvelle origine i par rapport à l'ancienne 0 .

Soit (x, y) les coordonnées d'un pt M dans le nouveau repère (i, x, y) .

Enfin Soit (x', y') les coordonnées dans l'ancien repère $(0, x', y')$.

De là on peut donc écrire comme l'indique la figure ci-dessus :

$$x = x' + x_i \quad (1)$$

$$y = y' + y_i \quad (2)$$

Or d'après l'équation de la courbe $y_i = \frac{x_i^2}{2\rho \cos \Psi}$ et $y' = \frac{x'^2}{2\rho \cos \Psi} = \frac{(x - x_i)^2}{2\rho \cos \Psi}$ d'après (1)

$$\text{d'où l'expression (2) devient : } y = \frac{(x - x_i)^2}{2\rho \cos \Psi} - \frac{x_i^2}{2\rho \cos \Psi}$$

$$\text{En effectuant le calcul on obtient : } y = \frac{x^2}{2\rho \cos \Psi} - \frac{2xx_i}{2\rho \cos \Psi} \quad (3)$$

D'autre part comme la courbe passe par le pt $(i+1)$, les coordonnées de celui-ci dans le nouveau repère vérifient donc l'expression (3).

Le point $(i+1)$ a pour coordonnées $(a, -\Delta h)$. (on aura pris $+\Delta h$ si l'origine n'est pas au pt i). On a alors :

$$-\Delta h = \frac{a^2}{2\rho \cos \Psi} - \frac{2ax_i}{2\rho \cos \Psi}$$

$$\text{d'où } x_i = \frac{a}{2} + \frac{\rho \Delta h \cos \Psi}{a}$$

On fait exactement le même raisonnement et en prenant comme origine le point $(i+1)$ au lieu du point i . On aura alors :

$$+\Delta h = \frac{a^2}{2\rho \cos \Psi} - \frac{2ax_{i+1}}{2\rho \cos \Psi}$$

$$\text{d'où } x_{i+1} = \frac{a}{2} - \frac{\rho \Delta h \cos \Psi}{a}$$

Les formules de calcul seront donc :

$$x_{i, i+1} = \frac{a}{2} \pm \frac{\rho \Delta h \cos \Psi}{a}$$

$$y_{i, i+1} = -\frac{x_{i, i+1}^2}{2\rho \cos \Psi}$$

$$x_t = x_{i, i+1} - d$$

$$y_t = \frac{x_t^2}{2\rho \cos \Psi}$$

$$h = y_{i, i+1} - h_t - (y_{i+1} - y_t)$$

Avec x_i ou x_{i+1} , l'abscisse du point le plus bas du conducteur par rapport au pylône i ou $(i+1)$. On prendra la distance x_i ou x_{i+1} suivant que l'ouvrage à traverser se trouvera du côté du pylône i ou $(i+1)$. Dans leurs formules respectives on prendra le signe (+) pour x_i et le signe (-) pour x_{i+1} .

De même y_i ou y_{i+1} , l'ordonnée du point le plus bas du conducteur par rapport au pylône (ou origine) i ou $(i+1)$. Là aussi on prendra la valeur de y_i ou y_{i+1} suivant que l'ouvrage à traverser se trouvera du côté du pylône i ou $(i+1)$.

d : représente la distance horizontale depuis l'ouvrage à traverser jusqu'au pylône le plus proche et d' : la distance mesurée perpendiculairement à celui-ci à l'axe de l'ouvrage à traverser.

x_t : représente la distance du point le plus bas du conducteur à l'ouvrage traversé. On prendra également $x_t = x_i - d$ ou $x_t = x_{i+1} - d$ suivant que l'ouvrage à traverser se trouvera du côté du pylône i ou $(i+1)$.

Enfin on arrive à la hauteur h qu'il faut respecter, hauteur entre l'ouvrage à traverser et le conducteur.

Nous arrivons aux conditions qu'il faut satisfaire pour une bonne traversée :

- Pour les lignes aériennes : il faut que $h \geq D$

avec : $D = 1 + \frac{ed}{a} (0,5\sqrt{f} - 1) + t_3$ [en m]

où f : est la flèche à 50°

d : la distance du pylône le plus proche à l'endroit de croisement.

a : la portée

t_3 est une distance donnée par le tableau ci-dessous.

- Pour les routes nationales et SNCF : il faut que $h \geq 10 \text{ m}$
 $d' \geq H$

avec H la hauteur du pylône le plus proche à l'ouvrage à traverser.

Tableau donnant la valeur de t_3 (en m).

$U_1 \backslash U_2$	ligne de 1 ^{er} et 2 nd catég. et ligne P.T.T.	63	90	150	225	400	750
63	0,5	0,6					
90	0,7	0,9	0,9				
150	1,1	1,3	1,4	1,3			
225	1,7	1,9	2,0	2,1	2,1		
400	3	3,2	3,3	3,5	3,7	3,8	
750	5,5	5,7	5,7	5,9	6,7	6,7	6,8

Après tous les calculs, on doit vérifier systématiquement tous les cas de traversie.
On doit veiller à ce que les conditions de croisement soient satisfaites; dans le cas contraire la répartition devrait être revue. On doit alors changer de place au pylône le plus proche ou quelquefois sur une certaine distance de part et d'autre de l'ouvrage à traverser afin d'obtenir la hauteur minimale désirée.

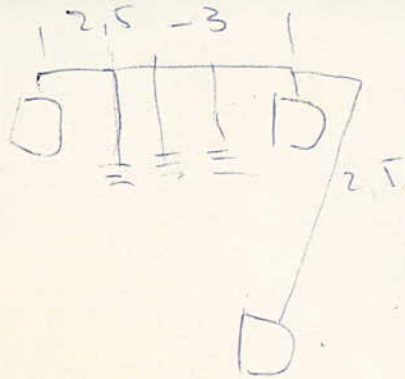
Nous avons donné, à la page suivante, un tableau résumant tous les cas rencontrés le long de la répartition.

Le calcul des traverses doit être exécuté avec le plus grand soin afin d'augmenter la sécurité et la fiabilité des lignes aériennes.

Fiche Des Traversées:

Lignes Sncfa
 $h \geq D$
 $h \geq 10m$

Nature des Ouvrages Traversés	Entre Pylônes i et $i+1$	Type de i et $i+1$	f_{soi}	a_i	h_i	h_{in}	Δh	$\cos \psi$	X_i	X_{in}	Y_i	Y_{in}	d	X_t	Y_t	h_t	d'	h	D
Voie SNCFA PK 131 + 107,30	1 - 2	CS4 - CS4	15,4	471,6	570,07	578,6	8,5	0,999	268,2	203,4	20	11,5	58,5	144,9	5,84	553,4	35	19,54	10
Ligne P.T.T. 6 fils.	1 - 2	CS4 - CS4	15,4	471,6	570,07	578,6	8,5	"	268,2	203,4	20	11,5	46,6	156,8	6,8	557,7	32	16,20	2,89
Ligne Moyenne tension 60KV	14 - 15	AS4 - A.	5,8	290	536,5	527,5	9	"	200,8	89,2	11,2	2,2	74,8	126	4,4	524,74	30	4,96	3,89
Ligne P.T.T. 6 fils.	22 - 23	A. - A.	16,2	483	489	467	22,5	"	325,3	157,7	29,4	6,9	32,5	292,8	23,8	462,54	31	20,86	2,84
Voie SNCFA PK 139 + 809,75	22 - 23	A. - A.	16,2	483	489	466,5	22,5	"	325,3	157,7	29,4	6,9	52,5	272,8	20,7	456,94	53	23,36	10
Ligne P.T.T. 6 fils	23 - 24	A. - A.	9,3	366	456,75	459,5	3	"	197,7	168,26	10,97	0,05	178	-3,74	0,03	460,12	148	19,36	1,8
Ligne Moyenne tension 30 KV	23 - 24	A. - A.	9,3	366	456,75	459,5	3	"	197,7	168,26	10,97	0,05	162	6,26	0,01	444,12	134	15,34	1,89
Route Nationale n° 5	23 - 24	A. - A.	9,3	366	456,75	459,5	3	0,999	197,7	168,26	10,97	0,05	168	0,26	≈ 0	453,83	138	23,6	1,86
Ligne P.T.T. 4 fils.	109 - 110	ARB - ARB	13,1	435	528,5	525	3,5	1	221,6	215,4	13,6	12,65	169,5	52,1	0,75	505,80	168	11,85	3,33
Route nationale n° 5	114 - 115	CS4 - CS4	21,7	559	487,55	504,92	18	0,999	337,4	221,6	31,65	13,65	240	-18,4	0,09	449,93	> 200	41,4	10
Voie SNCFA PK 188 + 405,96	114 - 115	CS4 - CS4	21,7	559	487,55	504,92	18	"	337,4	221,6	31,65	13,65	264	73,4	1,5	446,85	> 200	10,35	10
Ligne P.T.T. 6 fils	114 - 115	CS4 - CS4	21,7	559	487,55	504,92	18	"	337,4	221,6	31,65	13,65	272	65,4	1,19	452,39	> 200	4,5	3,99
Ligne Moyenne tension 30 KV	115 - 116	CS4 - BRB	6,5	307	504,92	494,61	9	"	206,2	100,8	11,8	2,83	134	-53,2	0,31	480,87	48,9	11,22	2,94
Route Nationale n° 5 PK 185 + 577,35	116 - 117	BRB - AS4	15,6	474	494,61	485,5	10,5	"	276,8	197,2	21,5	0,05	105	171,8	8,21	455,09	52	26,43	10
Ligne P.T.T. 4 fils	135 - 136	A. - C.	6,16	298	557,5	567,78	9,5	"	206,3	91,67	11,8	2,34	90	1,67	≈ 0	562,02	50	3,42	2,85
Voie SNCFA PK 197 + 568,9	135 - 136	A. - C.	6,16	298	557,5	567,78	9,5	0,999	206,3	91,67	11,8	2,34	63	28,67	0,23	550,61	35	15,06	10
Ligne Moyenne tension 30 KV	137 - 138	A. - A.	12,2	419	559,63	560,93	1,5	1	215,9	203,05	12,95	11,45	66	137,05	5,2	545,21	58	6,67	2,93
Route Nationale n° 5 PK 194 + 732,50	138 - 139	A. - ASB	13,3	437	560,93	557,43	3,5	1	232,9	204,1	15,07	0,06	158	74,9	1,56	556,44	60	10,68	10
Ligne P.T.T. 2 fils.	140 - 141	A. - A.	17,5	502	549	581,5	25,5	0,999	342,3	159,7	52,6	0,04	118	41,7	0,48	544,69	86	37,25	5,21
Ligne P.T.T. 2 fils.	141 - 142	A. - AS4	8,7	353	581,5	581	2	1	186,7	166,3	9,68	7,68	82	94,3	1,97	568,10	46	7,19	2,92
Ligne P.T.T. 2 fils.	144 - 145	AS4 - A.	17,4	501	635,5	664,5	31	0,998	361,65	159,35	36,4	5,4	60	79,35	1,75	647,93	27	12,92	2,96
Ligne Moyenne tension 30 KV	193 - 194	A. - C.	6,7	310	880,5	866,33	13,5	0,999	233,3	76,7	15,1	1,64	113	120,3	4,02	862,83	90	6,53	10
Ligne P.T.T. 2 fils.	193 - 194	A. - C.	6,7	310	880,5	866,33	13,5	"	233,3	76,7	15,1	1,64	62	14,7	0,06	851,08	52	15,73	2,82
Ligne P.T.T. 2 fils.	224 - 225	AS4 - A.	7,7	332	703,5	692,73	11	"	225,6	106,4	14,15	3,15	63	156,6	6,82	688,11	32	8,06	2,86
Route Nationale n° 5 PK 185 + 783,70	116 - 117	BRB - AS4	15,6	474	494,61	485,5	10,5	0,999	276,8	197,2	21,5	0,05	34	163,2	7,41	457,16	30	35,7	10



Le câble de garde.

1: Utilité et emplacement du câble de garde.

Nous avons équipé la ligne de BOUIRA-M'SILA d'un câble de garde de $116,2 \text{ mm}^2$ de section. Les câbles de garde sont placés immédiatement à la sortie du poste et menés en général sur une distance de 2,5 à 3 km après chaque poste. De même ils sont également mis à la terre à chaque pylône. En ce qui nous concerne, nous avons mis les câbles de garde sur une longueur de 7,9 km après le poste de BOUIRA (ceci pour des raisons économiques, pour l'arrêter sur une longueur de 3 km, il aurait fallu placer un pylône C; nous avons alors préféré l'amenier sur un pylône déjà existant). Par ailleurs les pylônes utilisés par la SONELGАЗ sont dimensionnés de façon à pouvoir supporter deux câbles de garde. Son rôle essentiel est d'assurer la protection de la ligne en cas de perturbations d'origine atmosphérique.

2: Choix du paramètre de répartition du câble de garde.

La flèche que prend un conducteur suspendu par ses deux extrémités est inversement proportionnelle à la section de celui-ci. Afin d'éviter les amoncages intempestifs, on choisit un paramètre, pour la répartition du câble de garde, plus grand que celui des conducteurs de phase. Le câble de garde ayant une section inférieure à celle du conducteur de phase pour consigner on s'arrange de manière à ce qu'il y ait une différence de 10% entre la flèche du câble de garde et celle du conducteur de phase:

$$\text{donc } f_{cg} = 0,9 f_{cp}$$

$$\text{ou comme } f_{cp} = \frac{a^2}{8\rho_{ph}} \quad \text{et} \quad f_{cg} = \frac{a^2}{8\rho_{cg}}$$

$$\text{d'où } \frac{a^2}{8\rho_{cg}} = 0,9 \frac{a^2}{8\rho_{ph}}$$

$$\text{donc } \frac{1}{\rho_{cg}} = 0,9 \cdot \frac{1}{\rho_{ph}}$$

$$\text{d'où } \rho_{cg} = \frac{\rho_{ph}}{0,9}$$

$$\text{comme } \rho_{ph} = 1800 \text{ m} \quad \text{donc } \rho_{cg} = 2000 \text{ m}$$

Le conducteur de phase est moins tendu que le câble de garde.

3^e. Caractéristiques du câble de garde utilisé:

Section : $116,2 \text{ mm}^2$.

Composition : 18 bimes d'Alu de 2mm de ϕ .
19 bimes d'acier de 2mm de ϕ .

Section d'Alu : $56,2 \text{ mm}^2$.

Section d'acier : $59,7 \text{ mm}^2$.

Diamètre extérieur : 14 mm .

Poids linéaire : $0,634 \text{ Kg/m}$.

Poids spécifique : $5,46 \cdot 10^{-3} \text{ Kg/m} \cdot \text{mm}^2$.

Charge de rupture minimale : 7300 Kg .

Module de Young : 12200 Kg/mm^2 .

Coefficient d'élasticité : $14 \times 10^{-6} \text{ }^{\circ}\text{C}^{-1}$.

Résistance électrique à 20°C : $0,512 \Omega/\text{km}$.

4^e. Vérification des tensions dans le câble de garde:

Nous avons mené le câble de garde sur trois cantons (^e 1, 2 et 3). La longueur totale porte sur 7,9 Km. Nous allons donc, comme dans le cas du conducteur de phase, envisager toutes les hypothèses, calculer les tensions maximales admissibles dans le conducteur et les différents coefficients de surcharges, puis procéder à la vérification canton par canton.

- Hypothèse normale d'été : coefficient de sécurité 3.

$$\theta = 30^{\circ} \quad (\text{sous givre}).$$

$$m = 1,47 \quad (\text{vent } 48 \text{ cpz}).$$

$$t_{\max} = \frac{7300}{3 \cdot 116,2} = 20,94 \text{ Kg/mm}^2$$

- Hypothèse EDS 20% : coefficient de sécurité 3

$$\theta = 30^{\circ} \quad (\text{sous givre}).$$

$$m = 1 \quad (\text{sous vent}).$$

$$t_{\max} = \frac{7300 \cdot 0,8}{116,2} = 12,56 \text{ Kg/mm}^2$$

- Hypothèse normale d'hiver : coefficient de sécurité 3

$$\theta = -5^{\circ}\text{C} \quad (\text{sous givre})$$

$$m = 1,08 \quad (\text{vent } 18 \text{ cpz})$$

$$t_{\max} = \frac{7300}{3 \cdot 116,2} = 20,94 \text{ Kg/mm}^2$$

Qui ne doit pas dépasser cette valeur.

- Hypothèse exceptionnelle d'hiver: coefficient de sécurité 1,75

$$\theta = -5^\circ\text{c} \quad (\text{avec } 1,2 \text{ Kg/m de givre})$$
$$n = 3,32$$
$$t_{\max} = \frac{7300}{1,75 \times 196,2} = 35,89 \text{ Kg/mm}^2.$$

Le principe de calcul pour la vérification est le même que dans le cas du conducteur de phare. Les tensions calculées ne doivent pas dépasser les tensions maximales admises. Les résultats de cette vérification sont consignés dans un tableau à la fin de ce chapitre.

Cable de terre $116,2 \text{ mm}^2$ Alu Alur

Equation de changement d'état

$$t'^3 + t'^2 \left[\frac{\alpha^2 \omega^2 E}{24 f^2} \times m^2 + \alpha E (\theta' - \theta) - t \right] = \frac{\alpha^2 \omega^2 E}{24} \times m'^2$$

$$t'^2 (t' + \underbrace{\alpha^2 J_1 + J_2 - t}_{A}) = \underbrace{\alpha^2 J_3}_{B}$$

diamètre 2000. $\omega = 5,46 \times 10^{-3}$ $t = \omega p = 10,92$ $t' = 119,25$ $\frac{C_1}{f} = 1,27$ $C_1 = \frac{100 \alpha^2 E}{24} = 151,54$ $\alpha E = 0,171$

POTHESE	+30° vent 48 cpz	+30° E.D.S.	-5° vent 18 cpz	-5° vent 72 cpz 1,2 kg/g
α		472		
$\alpha^2 10^{-4}$		32,27		
m	1,472	1	1,079	3,316
m^2	2,17	1	1,16	10,99
J_3	328,84	151,54	175,78	1665,42
$\alpha^2 J_1$	28,28	28,28	28,28	28,28
J_2	-3,42	-3,42	-9,405	-9,405
$-t$	-10,92	-10,92	-10,92	-10,92
A	13,94	13,94	7,96	7,96
$\alpha^2 J_3$	7323,27	3374,79	3914,62	37088,9
t'	15,72	11,52	13,51	30,89
s. vent max.	20,94	12,56	20,94	35,89

Câble de terre $116,2 \text{ mm}^2$ Aluader

Equation de changement d'état

$$t'^3 + t'^2 \left[\frac{\alpha^2 \omega^2 E}{24 t^2} \times m^2 + \alpha E (\theta' - \theta) - t \right] = \frac{\alpha^2 \omega^2 E}{24} \times m'^2$$

$$t'^2 \left(t' + \underbrace{\frac{\alpha^2 J_1 + J_2 - t}{A}}_{\text{A}} \right) = \underbrace{\alpha^2 J_3}_{\text{B}}$$

$$\text{diamètre } \varphi: 2000 \quad \omega = 5,46 \times 10^{-3} \quad t = \omega \varphi = 10,92 \quad t' = 119,25$$

$$\frac{J_1}{t^2} = 1,27 \quad C_1 = \frac{100^2 \omega^2 E}{24} = 151,54 \quad \alpha E = 0,171$$

POTHESE	+30° vent 48 cpz	+30° E.D.S.	-5° vent 18 cpz	-5° vent 72 cpz 1,2 kg/g
$\alpha^2 \cdot 10^{-4}$		430,75		
m'	1,472	1	1,079	3,316
m''	2,17	1	1,16	10,99
J_3	328,84	151,54	175,78	1665,42
$\alpha^2 J_1$	23,56	23,56	23,56	23,56
J_x	-3,42	-3,42	-9,405	-9,405
$-t$	-10,92	-10,92	-10,92	-10,92
A	9,22	9,22	3,235	3,235
$\alpha^2 J_3$	6099,98	2811,07	3260,72	30893,54
t'	15,66	11,62	13,82	30,33
vent max.	20,94	12,56	20,94	35,89

4^eme PARTIE

Reflexions Sur Les Lignes
Aériennes HT

Dans tout ce qui précède, nous nous étions uniquement occupés des aspects théoriques du calcul de la ligne haute tension.

La partie électrique nous avait permis de prévoir la puissance à transmettre par la ligne et donc le choix de la section du conducteur à utiliser. Quant au calcul mécanique, il permettrait de vérifier la sûreté de tous les éléments de la ligne (conducteurs de phases, câbles de garde, pylônes, isolateurs ... etc...).

Il est cependant évident que ces préoccupations ne constituent qu'une première phase du travail à effectuer.

La deuxième phase, non moins importante, consiste en l'exécution pratique de la ligne. Cette exécution se fait sur la base de documents techniques à fournir au chantier, résumant tous les résultats issus du calcul.

Ces documents techniques sont constitués des pièces suivantes :

- Mémoire descriptif
- Carte et tracé
- Profil en long
- Profil des traversées
- Calcul des traversées
- Carnet de piquetage.
- Calcul des câbles
- Silhouette des pylônes
- Dessins des massifs

L'exécution en elle-même est conditionnée par une bonne organisation du chantier (approvisionnements en temps voulu, contrôle de qualité des matériaux utilisés, sécurité du travail etc....)

Ceci nous permet de conclure que la phase des travaux est aussi importante, sinon plus importante que la phase du calcul. Elle nécessite des hommes possédant une longue expérience des chantiers de ligne et connaissant parfaitement les problèmes qui y sont liés.

ANNEXES

Extraits du cahier des charges

Chapitre 1 : Indications générales et désignations des ouvrages.

Article 1 : Objet de l'entreprise:

Ce présent cahier des charges a pour objet la construction des lignes aériennes à 225 KV, 150 KV, 90 KV, 63 KV en Algérie.

Article 2 : Caractéristiques générales des lignes:

Les caractéristiques générales des lignes sont les suivantes:

- Tension de service entre phases 225 KV, 150 KV, 90 KV, 63 KV.
- Choix des conducteurs : déterminé par l'étude.
- Supports métalliques ou exceptionnellement en béton; ces supports seront des types suivants:
 - * Type A pour alignements.
 - * Type B pour angles inférieurs ou égaux à 20°.
 - * Type C pour arrêt permanent ou accidentel (R) et angles supérieurs à 20°.
 - * Types spéciaux pouvant être nécessaires.

d'intervalle entre deux supports du type C ne devra pas comprendre plus de 30 portées.

- Nombre d'isolateurs
- Isolateurs de suspension en verre trempé CTV 254 ou équivalents. Norme de 10 tours sauf dérogations spéciales.

(R): L'arrêt accidentel est celui que réalise une chaîne spécial de suspension lorsque le conducteur se rompt.

Le nombre d'isolateurs sera conforme au tableau ci-après:

tension	alignement	arrêt
63 KV	4	5
90 KV	6	7
150 KV	10	11
225 KV	16	16

L'armement sera en tasse, quinconce, drapeau ou double drapeau avec ou sans câble de terre.

Les câbles de terre seront placés à une distance verticale au-dessus des conducteurs suffisante pour que ceux-ci soient compris dans un dièdre ayant pour arête un des câbles de terre et pour angle au sommet 60° ou exceptionnellement par dérogation 90° . Celi étant déterminé dans une hypothèse sans vent ni givre sur les conducteurs.

- Distances minimales entre conducteurs de phase :

Les distances minimales entre conducteurs de phase sont déterminées dans le tableau ci-après :

Tensions (KV)	63	90	150	225
distances min (m)	3	4	5,50	7

Il sera en outre vérifié que l'écartement des conducteurs répond aux exigences de la formule suivante :

$$D \geq K \sqrt{f + l} + \frac{U}{150}$$

dans laquelle : D = distance entre phase exprimée en m.

K = coefficient variant avec la nature du câble utilisé ; on prend généralement : $K = 0,8$ pour les câbles Alu-acier.

$K = 0,9$ pour les câbles Almeillec.

f = flèche déterminée par l'hypothèse la plus défavorable en m.

l = la longueur de la chaîne d'isolateurs en m.

U = tension entre phase de la ligne en KV.

- Distances minimales entre conducteurs et la masse précisées dans le tableau ci-après :

Tensions (en KV)	63	90	150	225
dist. min. sans vent (m)	0,60	0,90	1,30	1,65
dist. min. avec vent, $p_v = 30 \text{ kp/m}^2$	0,50	0,70	1,00	1,30

Ces distances d'isolation sont mesurées au-dessus de 1000 m de 1,25 pour 100 m de dénivellement.

Chapitre 2: Provenance, qualité et essais des matériaux:

Article 6 : Conducteurs et câble de terre :

Les câbles fournis par EGA sont en principe en Alu-acier et ont les caractéristiques suivantes : les caractéristiques des câbles en Almeillec seront précisées suivant les cas :

Natures	Section (mm^2)	Charge de rupture (kg)	COMPOSITION	
			Nbre de Briques en Alu	Nbre de Briques en Acier
Câbles conducteurs	147,1	4820	30 × 2,25	7 × 2,25
	228	7360	30 × 2,8	7 × 2,8
	288	9220	30 × 3,15	7 × 3,15
	411	16500	32 × 3,6	19 × 2,4
	617	21800	42 × 2,61	19 × 2,65
Câbles de Garde.	68,6	3700	13 × 2	7 × 2,25
	94	7500	15 × 2,1	19 × 1,68

Article 8: Chaînes d'isolateurs et matériaux accessoires; constitution; prise en charge des isolateurs.
Les chaînes des conducteurs de phases seront des types suivants:

Type de support	CONSTITUTION des CHAÎNES	
	60 KV et 90 KV	150 KV et 225 KV
Support d'alignement ordinaire.	chaînes de suspension double cornes en haut et en bas	simples cornes en haut et roquettes en bas.
	chaînes munies de cornes doubles ou simples en haut et en bas.	chaînes munies de cornes en haut et de roquettes en bas.
Support d'angle et d'arrêt.	Les chaînes seront simples ou multiples suivant les efforts exercés et les isolateurs utilisés. Les chaînes seront en suspension pour les angles inférieurs à 40° et les arrêts accidentels et en arrêt pour les arrêts permanents et les angles supérieurs à 40°.	
Support pour transportation.	chaînes simples ou multiples suivant les efforts exercés et les isolateurs utilisés.	

Des bretelles anti-vibrations seront placées là où elles s'avèrent nécessaires.

1. Caractéristiques des chaînes d'isolateurs.

Les conducteurs seront supportés à l'aide de chaînes d'isolateurs formées d'éléments en verre trempé capot et tige ou équivalent dont le type sera précisé dans le devis particulier.

Dans les zones exposées à l'air marin, il sera fait emploi d'isolateurs spéciaux.

L'emploi des isolateurs sera déterminé en fonction de l'effort mécanique que peut supporter indéfiniment l'isolateur sous tension électrique sans se rompre et sans se déformer. Le coefficient de

sécurité par rapport à la charge de rupture mécanique minimum garanti sera de:

- 3 pour les isolateurs en alignement, en angle ou en arrêt sous les charges normales avec vent maximum.
- 1,75 pour les hypothèses accidentelles.

Chapitre 3: Calcul des ouvrages.

Article 13: Hypothèses:

Les ouvrages seront calculés conformément aux prescriptions de l'arrêté gubernatorial du 10 février 1952, paru au J.O.A. du 22 avril 1952, déterminant les conditions techniques auxquelles doivent satisfaire les distributions d'énergie électrique.

Les températures des trois hypothèses sont fixées à:

- été : température maximale : $+50^{\circ}\text{C}$.
- régime moyen : $+30^{\circ}\text{C}$ vent 48 cpz.
- hiver : température minimale : -5°C vent 18 cpz.
 -5°C vent 72 cpz, givre éventuel.

En outre, afin d'assurer une sécurité suffisante malgré les conditions climatiques variées des régions traversées, il est défini une zone givrée dont la surcharge varie de 2 à 6 kg/m.

Article 14: Portées:

Les portées normales seront définies par les abaques d'utilisation de supports. Toutefois il est envisagé d'utiliser des supports d'arrêt pour des portées exceptionnelles.

Article 15: Conducteurs et câbles de terre:

La hauteur des supports sera déterminée de telle sorte que le point le plus bas des conducteurs se trouve à une hauteur minimale de 7 m au-dessus du sol, et par une température de $+50^{\circ}\text{C}$ sans vent. En aucun point, les isolateurs ne devront se trouver à une hauteur inférieure à 10 m au-dessus du sol. Lorsque la ligne surplombe des tiges plantées d'arbres fruitiers, et dans le but de limiter les élagages, le point le plus bas des conducteurs devra être à une hauteur de 10 m au-dessus du sol au lieu de 7 m, prévu en terrain ordinaire, aux traversées de routes, la distance du sol au point le plus bas du conducteur devra être de 9 m.

Les calculs des conducteurs et des câbles de terre seront conduits de façon à respecter les coefficients de sécurité suivant dans la plus défavorable des hypothèses de l'arrêté ministériel.

- Cas normal : Hypothèses A et B de l'arrêté technique.
Coefficient 3 sur la rupture.

La flèche du câble de garde sera toujours inférieure de 10% à celle des conducteurs à 50°C sv.

- Cas exceptionnel du givre : le coefficient de sécurité sera de 1,75 sur la rupture. La surcharge du givre est appliquée à une température de -5°C et la pression du vent est de 72 cpa sur le conducteur nu.

- E.D.S. : Every Day Stress.

À la température moyenne de 30°C sous vent la tension du conducteur ne devra pas dépasser les 20% de sa charge de rupture.

Article 17: Coefficient de sécurité des supports.

La ligne sera établie à l'aide de 3 types de supports normaux et des supports spéciaux pouvant être nécessaires dans les cas particuliers. L'équipement en chaînes de ces supports est défini à l'article 8.

A. Conditions relatives aux supports d'alignement (type A) :

1. Hypothèse normale :

Dans l'hypothèse du vent maximum de l'arrêt ministériel et de la portée d'utilisation du support, les calculs devront faire ressortir un coefficient de sécurité de : $K = 3$ sur la charge de rupture de l'acier.

2. Hypothèse accidentelle :

Aux hypothèses précédentes qui sont celles du règlement on ajoutera "l'hypothèse accidentelle" la plus défavorable soit :

- de la rupture d'un conducteur : (celui qui produit le couple de torsion maximum).

Les supports seront vérifiés d'une part en supposant appliquée, en bout de bras et avant déformation, la traction déformant l'éclisse; d'autre part en supposant appliquée, en bout de bras mais après déformation complète, la traction correspondant à la tension maximum autorisée du conducteur.

- de la surcharge de givre appliquée avec un vent de 72 cpa sur les conducteurs nus.

Les calculs devront faire ressortir un coefficient de sécurité de : $K = 1,75$ sur la charge de rupture de l'acier.

B. Conditions relatives aux supports d'angle inférieur à 20° (type B) :

1. Hypothèse normale :

Dans l'hypothèse du vent maximum de l'arrêt ministériel de la portée d'utilisation du support et d'un angle de 20° les calculs devront faire ressortir un coefficient de sécurité de : $K = 3$ sur la charge de rupture de l'acier.

2. Hypothèse accidentelle :

Aux hypothèses précédentes on ajoutera "l'hypothèse accidentelle" la plus défavorable soit :

- de la rupture d'un conducteur tendu à la tension maximale autorisée.

- de la surcharge de givre appliquée avec vent de 72 cpa sur conducteurs nus.

Mais le coefficient de sécurité est réduit à : $K = 1,75$ sur la charge de rupture de l'acier.

C. Conditions relatives aux supports d'angle supérieur à 20° et d'arrêt (type C) :

1. Hypothèse normale :

Dans l'hypothèse du vent maximum de l'arrêté ministériel de la portée d'utilisation du support et d'un angle, de 40° les calculs devront faire ressortir un coefficient de sécurité de : $K = 3$ sur la charge de rupture de l'acier.

2. Hypothèse accidentelle :

Aux hypothèses précédentes on ajoutera "l'hypothèse accidentelle" la plus défavorable soit :

- de la rupture simultanée de tous les conducteurs (câbles de phase et de terre), d'un côté du support, ceux non coupés étant tendus à la tension maximale autorisée.

- de la surcharge de givre appliquée avec un vent de 72 cpz sur les conducteurs nus.

Alors le coefficient de sécurité est réduit à : $K = 2$ sur la charge de rupture de l'acier.

D. Supports de traversées de voies ferrées d'intérêt général :

Les supports des traversées de voies ferrées d'intérêt général et engageant le gabarit de la voie doivent être des supports d'arrêts.

E. Tableau récapitulatif des coefficient de sécurité :

Types de supports.	Cas normal vent maximum de l'arrêté technique.	Cas exceptionnel condition la plus défavorable entre :
Alignement.	$K = 3$ sur la charge de rupture	$K = 1,75$ sur la charge de rupture
Angles $\leq 20^\circ$.	$K = 3$ " " "	$K = 1,75$ " " "
Angles $\geq 20^\circ$	$K = 3$ sur la charge de rupture	$K = 2$ sur la charge de rupture
Arrêts.	$K = 3$ " " "	$K = 2$ " " "

Matiel et accessoires de la ligne.

Dans ce chapitre, on dirige le matiel autre que les isolateurs qui entre dans la construction des chaînes d'isolateurs, le matiel de suspension et d'ancrage du câble de terre, le matiel de jonction et divers autres éléments.

1^e. Chaîne de suspension simple :

On appelle chaîne de suspension simple un ensemble formé par plusieurs éléments d'isolateurs. Ceci n'est valable que pour les isolateurs copot-tige utilisés par SONEGAL, cependant il y a des isolateurs qui font exception; on cite les isolateurs à fil plein.

2^e. Chaîne de suspension double :

C'est un système constitué par deux chaînes élémentaires réunies par un palonnier à l'étier ou à la drapé tourillon fixé au bras de l'armement. On distingue plusieurs systèmes qui se diffèrent les uns des autres que par le mode de réalisation.

1^e mode de réalisation: les deux chaînes simples restent parallèles fixées rigoureusement au conducteur.

2^e mode de réalisation: les deux chaînes simples ne sont pas parallèles, on fixe les prises au câble avec un écartement qui correspond à une inclinaison de 10 à 15% par rapport à la verticale.

3^e mode de réalisation: les deux chaînes simples sont réunies à leur partie inférieure par un second palonnier et munies simplement d'une seule prise.

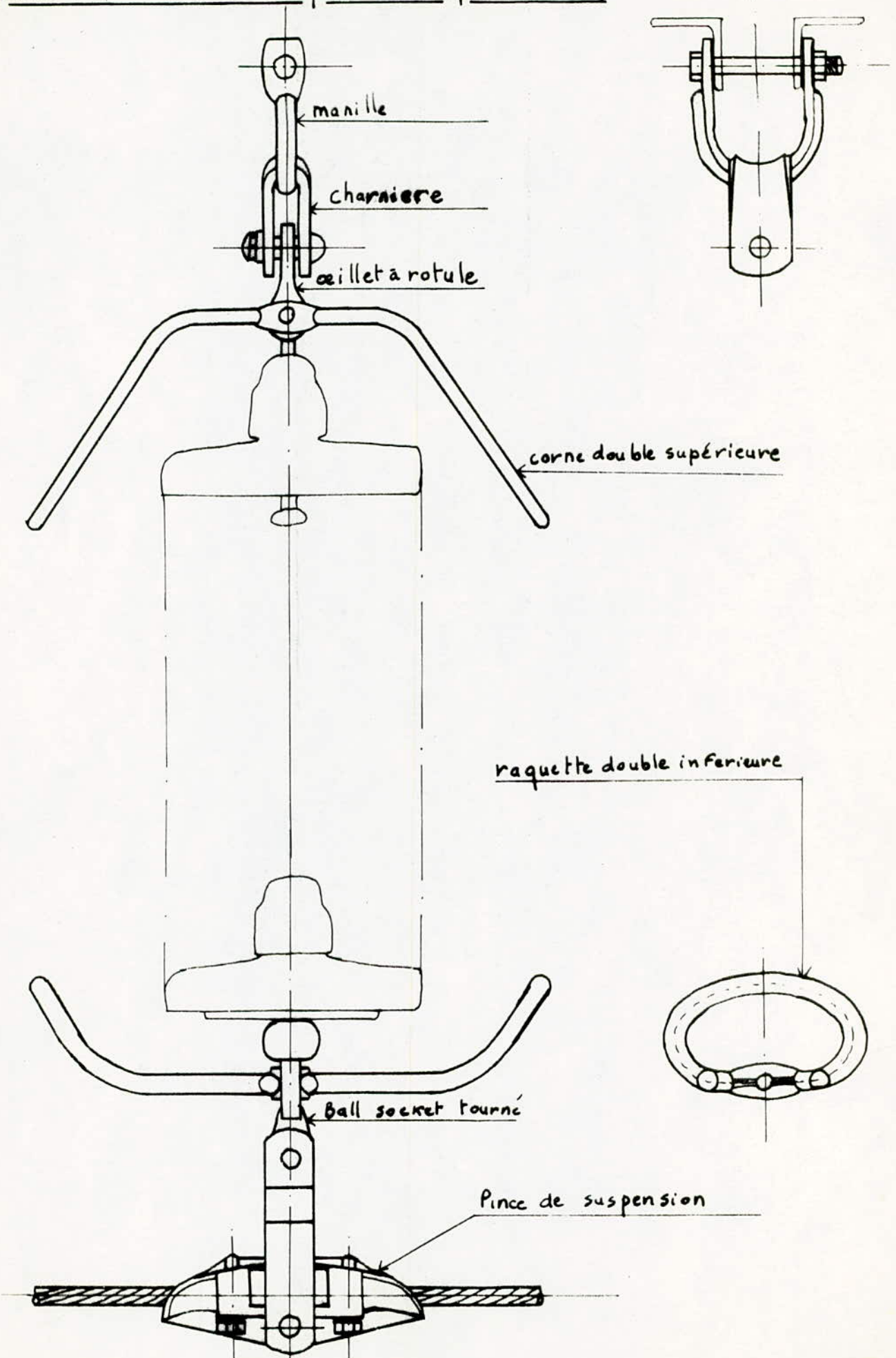
Il existe également une variété particulière qui rentre dans la catégorie des chaînes doubles: les chaînes en Vé, trouvant leur utilisation sur les lignes 400 KV et plus que nous n'envisageons pas.

3^e. Accessoires de suspension.

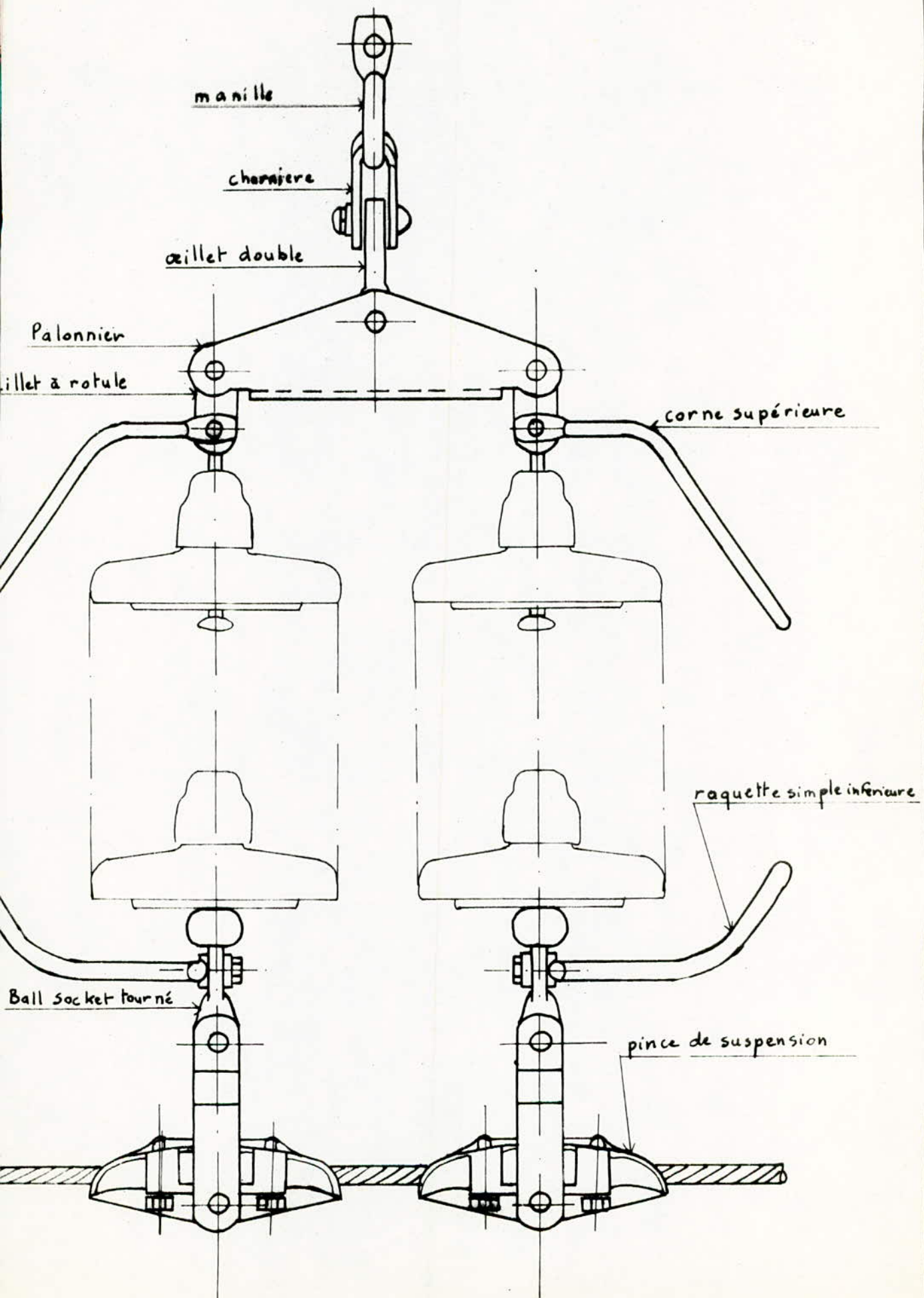
a). Ils constituent les organes de liaisons entre les isolateurs et la charpente du pylône.
Ils comprennent:

- L'étier de suspension qui peut être remplacé par une drapé tourillon.

équipement Pour Chaîne De Suspension Simple (220kv)



Equipement Pour chaîne De Suspension Double (220Kv)



Il doit comprendre au sens transversal de la ligne. Cette disposition permet à la chaîne d'isolateurs d'osciller autour d'un axe 'O' de l'étier et d'éviter, en cas de vent transversal, de buter toujours au même endroit.

La chape tourillon (ou palier tourillon) a été conçue pour éviter, avec sa double articulation, les flexions qui apparaissent dans l'étier en cas d'effet longitudinal.

- L'œillet de suspension : il réalise la liaison entre l'étier (ou chape tourillon) et le premier élément isolateur.

b). Pièce porte conducteur :

Comme son nom l'indique, cette pièce est destinée à tenir le câble et à le porter.

c). Armement de protection :

Qui associe toujours à la chaîne de suspension des armements de protection qui ont pour rôle :

- d'éloigner l'arc de la chaîne en cas de court-circuit.
- d'empêcher la fixation de l'arc sur le conducteur lui-même.
- d'assurer une répartition plus favorable de la tension entre les isolateurs et de s'opposer à la formation d'effluves sur la chaîne ou tout au moins d'en diminuer l'importance.

Pour les lignes 225 KV les chaînes sont équipées par des cornes à la partie supérieure et des raquettes à la partie inférieure.

4. Chaîne d'ancre simple :

C'est une chaîne d'isolateurs qu'on utilise couramment avec tous les conducteurs et les raccordements aux postes avec un paramètre réduit. Elle comprend :

- Une manille en acier forgé.
- Un tendeur d'ancre éventuel.
- Un œillet à tête avec carré ou un octogone pour la fixation de la corne supérieure.
- Un ball-soclet à œil avec fixation de la corne inférieure ou de la raquette.
- Un manchon d'ancre avec plage de déviation ou une pince d'ancre.

La conception d'une chaîne d'ancre simple n'appelle aucune remarque particulière.

5. Chaîne d'ancre double :

D'une façon générale la chaîne d'ancre double est utilisée en ligne dans les angles importants du tracé et aux renversements devant les postes. En ce qui concerne le matériel constitutif, il sera le même que celui des chaînes de suspension doubles avec cependant les particularités suivantes :

La liaison à la chaîne doit être de préférence effectuée par la chape tourillon. On intercale un tendeur d'ancrage (dont la course est de 25 à 30 cm environ) entre la manille et le palonnier d'ancrage. Les mêmes dispositions sont réalisées à l'extrémité côté ligne de la chaîne d'ancrage : le manchon d'ancrage est terminé par une chape dans laquelle s'engage l'œillet chautourné du palonnier.

6^e. Matériel de suspension et d'ancrage du câble de gondole :

a). Suspension du câble de gondole :

Elle comprend : — un étier de suspension.
— une manille.
— une pince de suspension.

On lui ajoute souvent une connexion souple destinée à réaliser directement à la terre, le câble de gondole en évitant les articulations de la chaîne et les mauvais contacts qui en résultent. Il est nécessaire d'ajouter à cela une bretelle anti-vibratoire.

b). Ancrage du câble de gondole :

Il peut être réalisé comme dans le cas de la suspension par :

- des étiers avec leurs branches dans le sens de la ligne.
- des chapes tourillons.

La chape du manchon d'ancrage est prolongée par un connecteur relié à une manille à l'étier d'ancrage ou à la chape tourillon.

7^e. Pièces diverses :

a). Bretelle de jonction :

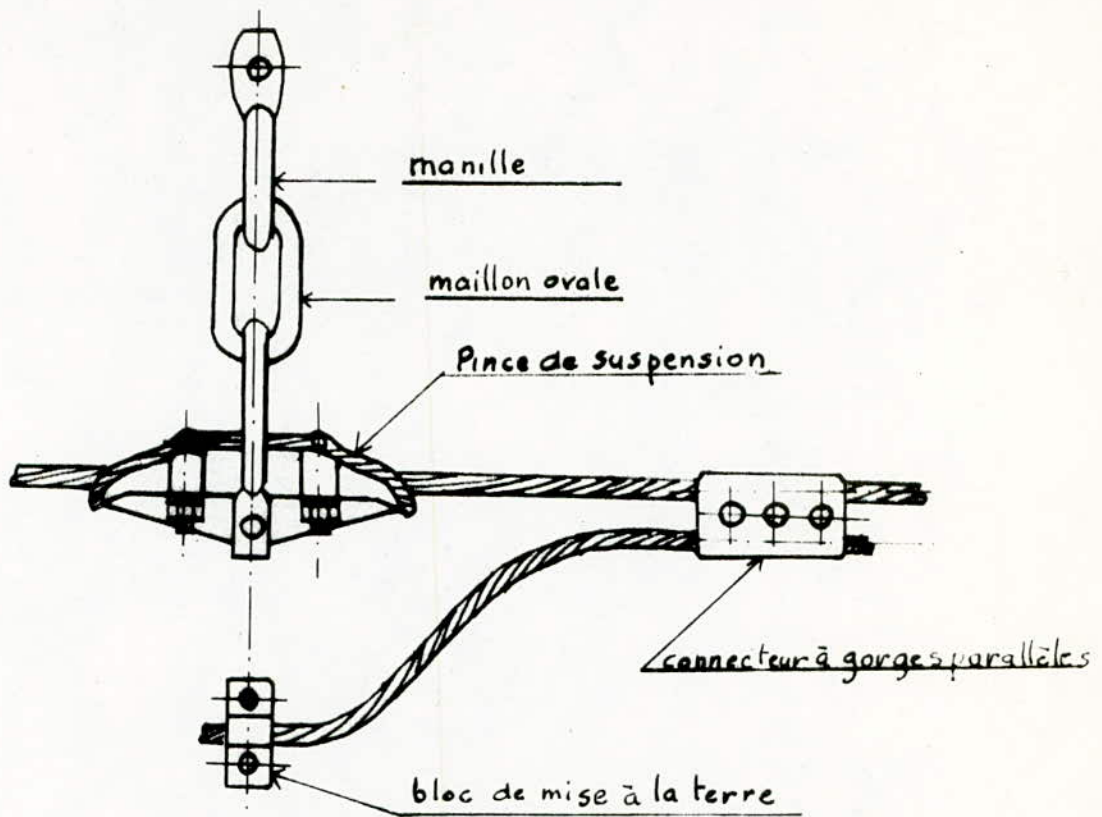
C'est un morceau de câble de même nature que le conducteur de la ligne, destiné à établir la continuité électrique au droit des ancrages. En général, les bretelles de jonction sont assez rigides pour ne pas nécessiter la pose de contrepoids.

b). Bretelle anti-vibratoire :

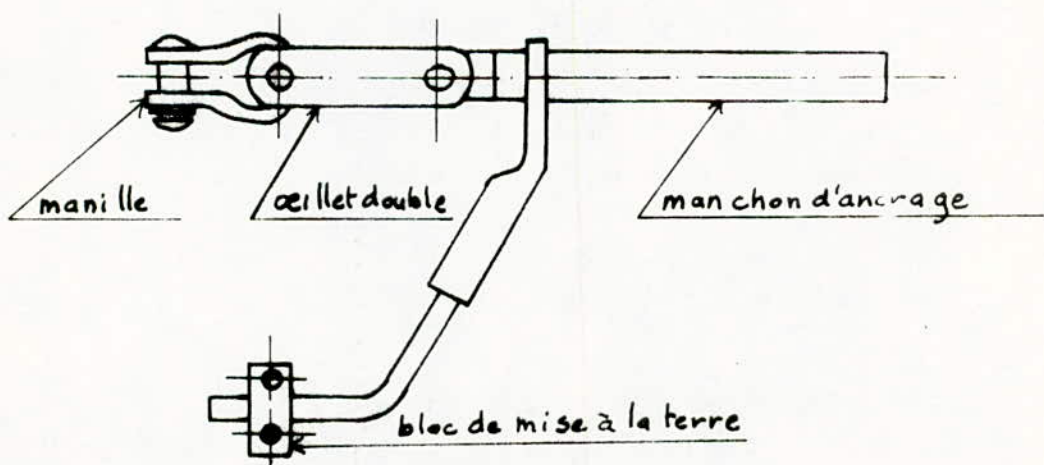
De la même façon, elle est constituée par un bout de conducteur de même type que celui de la ligne, fixé à deux extrémités par des pinces ou manchons avec deux blocs de serrages. C'est un dispositif qui sert à amortir les vibrations dont l'apparition peut avoir de graves conséquences sur la fiabilité des conducteurs. (fatigue au niveau des pinces et manchons d'ancrage, cassure des brins d'aluminium). On distingue deux types de bretelles anti-vibratoire :

- bretelle du type I : (très souvent utilisée dans le cas de suspension).
- bretelle du type II : (utilisées dès qu'il y a un problème de distance à la masse).

Équipement Pour Suspension Du Câble De Garde (220Kv)



Équipement Pour Ancrage Du Câble De Garde (220Kv)



La distance entre les deux points d'attache est égale à la demi-longueur d'onde de vibration que l'on appelle longueur de bretelle.

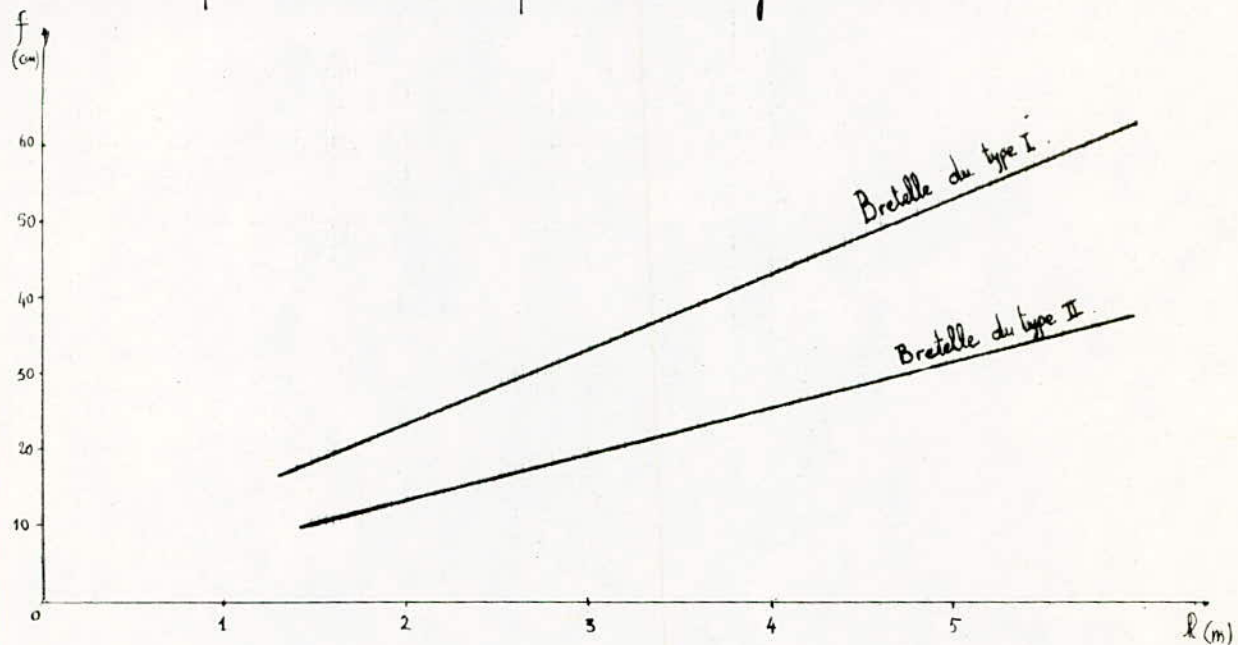
$$l = d_c \sqrt{gp}$$

avec : d_c le diamètre du conducteur.

g l'accélération de la pesanteur

p le paramètre de répartition à la température moyenne sans vent (EDS).

On donne les flèches des bretelles en fonction de la longueur de celles-ci :



c). Vés de suspension:

C'est une pièce en forme de V en rond d'acier de diamètre 20 à 30 mm articulée à sa partie supérieure qui oscille librement dans le sens de la ligne en maintenant les chaînes de suspension à une distance suffisante du bras d'armement en cas d'importantes oscillations.

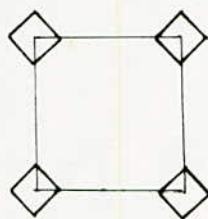
d). Contrepoids:

Ce sont des galettes de ferme ou de plomb qui sont suspendues par l'étier à la partie inférieure de la chaîne afin de limiter l'inclinaison des chaînes d'isolateurs de suspension, sous l'effet du vent, à un angle fixé par le cahier des charges (40°).

Note sur les fondations.

Les fondations des pylônes, au même titre que les autres éléments de la ligne, sont importantes. Des fondations bien exécutées et de bonne qualité assurent la sécurité et la fiabilité de la ligne.

Sur ce qui concerne les lignes THT, les fondations des pylônes sont disposées en quatre massifs indépendants. Ce sont donc des fondations tétrapodes.



Deux pieds sont soumis à la compression et deux autres à l'arrachement sous l'effet des forces transversales. Ces efforts s'inversent quand les forces s'inversent.

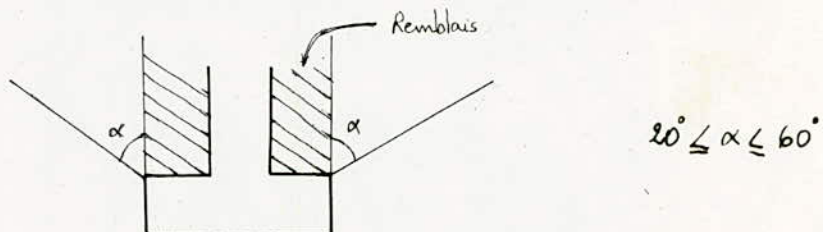
Pour la compression, il n'y a pas trop de problèmes et on peut toujours adopter le type de fondation le plus courant suivant la nature du sol. (roches, terre meuble, ferme, marais...).

Pour l'arrachement, le problème est beaucoup plus complexe et il n'est plus possible de négliger le milieu environnant à savoir :

- Mobilisation maximum de la résistance du sol au soulèvement.
- Connnaissance la plus approfondie possible de la nature du sol.

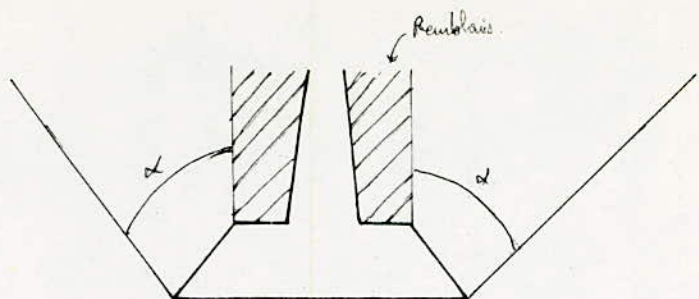
Le critère d'arrachement est de loin le plus défavorable.

Les terres intéressées par l'arrachement sont en général situées dans un cône dont les génératrices font un angle de 20° à 60° avec la verticale (d'où le nom de cône de soulèvement).



On s'apercut alors de la nécessité des fondations bétonnées à pleine fouille et du prolongement en sous œuvre de la dalle de fondation pour obtenir un redan (qui est un véritable enfoncement).

La tenue à l'arrachement est alors nettement améliorée.



Les types de fondations utilisés par SONELGAZ tiennent compte de la nature du sol (résistance à la compression en bar/cm²) et du type de pylône utilisé.

Bibliographie

- A. MAUDUIT : "Installations électriques à haute et basse tension".
Ch. AVRIL : "Constructions des lignes aériennes à haute tension".

